

Литература

К.П. Горбачев

**МЕТОД
КОНЕЧНЫХ
ЭЛЕМЕНТОВ
В РАСЧЕТАХ
ПРОЧНОСТИ**



ПЕТЕРБУРГ. „СУДОСТРОЕНИЕ“
1985

Решают ходъ тихъ наук С. В. Семеновъ

Горбачевъ К. П.
Г67 Метод конечныхъ элементовъ въ расчетахъ прочности. — Л.: Судостроение, 1985. — 156 с., ил.

Монография посвящена методамъ расчета элементовъ конструкций, подкрепленныхъ ребрами жесткости. Сформулированъ методъ конечныхъ элементовъ для расчета пластинъ и оболочекъ, подкрепленныхъ ребрами жесткости. Приведены также способы решения въ расчетахъ прочности и формулования съ оценками погрешности. Рассматриваются схемы разбиения фигуры, формирование матрицъ жесткости и примеры расчетовъ съ помощью интегрирующихъ методовъ. Дается рекомендация по практической реализации предлагаемого метода.

Книга рассчитана на научныхъ, инженерно-техническихъ работниковъ, инженеровъ и студентовъ, заинтересованныхъ вопросы теории расчета неоднородныхъ конструкций и разработки новыми методами.

362.030.000.0 - 024

Г — 10-85

965(01) — 85

39.43-41

ПРЕДИСЛОВИЕ

Метод конечныхъ элементовъ (МКЭ) представляетъ собой эффективный численный методъ решения задачъ структурной механики и механики сплошныхъ средъ. Ему посвящено большое количество работъ, въ которыхъ отражены различные теоретические и практические аспекты метода.

Наибольшее количество работъ относится къ вопросамъ расчета стержневыхъ конструкций, пластины и оболочекъ. Значительное место получили вопросы расчета подкрепленныхъ пластинъ и оболочекъ, для которыхъ элементы конструкций получили наибольшее распространение въ расчете подкрепленныхъ конструкций является важнымъ признакомъ направления развития метода конечныхъ элементовъ. То положение, что расчету подкрепленныхъ пластинъ уделяется малоѣ вниманія, связано съ необходимостью преодоленія ряда трудностей, которые даже для пластины и оболочекъ являются серьезными.

Основные трудности, стоящіе на пути решения задачъ методомъ конечныхъ элементовъ, связаны съ необходимостью выполнения определенныхъ требований соодинности. Однимъ изъ такихъ требований является необходимость соблюдения непрерывности основныхъ функций и ихъ производныхъ по границамъ смежныхъ элементовъ. При расчете пластинъ и оболочекъ трудности получения совместныхъ матрицъ жесткости элементовъ произвольной формы становятся настоящею очевидностью, что приводятъ къ тому, что инымъ вариационнымъ формулировкамъ, которымъ для некоторыхъ частныхъ задачъ даютъ возможность обойти ихъ, не решая общей задачи расчета конструкций, подкрепленныхъ ребрами жесткости.

Решение общего подхода, свободного отъ необходимости выполнения требований соодинности по границамъ смежныхъ элементовъ, становится болѣе очевиднымъ въ связи съ развитиемъ системъ автоматизированного проектирования конструкций, составляющими которыми являются расчеты при помощи концепции метода конечныхъ элементовъ.

Приведенные соображения предопредѣляютъ цель въ основное содержание настоящей работы. Ставя форма изложenia основныхъ идей МКЭ обусловлена многогранностью проблемъ по этимъ вопросамъ. Въ работахъ О. Земскова, В. А. Покснова, Л. А. Розина [12, 29, 31] и многихъ другихъ авторовъ съ большой полнотой отражены многие вопросы теории метода

конечных элементов, что побудило автора отказаться от изложения известного материала.

В настоящей работе излагается общая методика построения матриц жесткости на основе полисементной аппроксимации состоящих из конечного функционала, дающая возможность упростить машинный алгоритм формирования матрицы жесткости. Наряду с основами теории рассматривается вариант машинного реализации предложенного алгоритма.

При решении краевых задач механизмы формируемых сред наиболее широкое распространение получили вариационные методы, многие из которых подробно рассмотрены в работе [27]. При изложении предложенного материала рассуждения ограничены границами метода перемещений, т. е. сбрасывается принцип минимума потенциальной энергии.

Работа состоит из четырех глав.

Первая глава посвящена особенностям работы пластины и оболочки, подкрепленных ребрами жесткости. Рассмотрены вопросы выбора некоторой узловых неизвестных при общей постановке решения задач. Приведены некоторые расчетные схемы и принятые допущения.

Во второй главе изложена методика построения матриц жесткости пластины и полотна оболочек, подкрепленных ребрами жесткости. Особенностью методики является использование аппроксимации элементов функционала в виде сплошного, единичного понятия совместности захоть грани смежных элементов из рассматриваемого алгоритма. Предлагаемый метод построения матриц жесткости требует обязательного выполнения требования полноты аппроксимирующего полинома и условий совместности в узловых точках исследуемой области.

Третья глава посвящена изложение простейших схем аппроксимации при построении матриц жесткости. Рассмотрены линейные и квадратичные формы аппроксимации в пределах элементов произвольной треугольной и четырехугольных форм. Алгоритмы построения матриц жесткости отличаются минимумом машинных операций, отсутствием явных окружных вычислений и интегрирования функций. Даны результаты численных расчетов тестовых задач и реальных конструкций.

В четвертой главе изложена вариационно-разностная процедура в схеме метода конечных элементов. Приведены алгоритмы формирования матрицы жесткости с использованием вариационно-разностной процедуры. Обсуждаются вопросы сходимости решений некоторых задач при использовании вариационно-разностного подхода в методе конечных элементов.

При написании четвертой главы и ее были включены некоторые материалы из докторской работы И. И. Восковщика, выполненной под руководством автора.

Автор считает своим долгом отметить, что при написании этой книги большую помощь оказали обсуждение работы, проведенные на секции по численным методам расчета судовых конструкций НТО судостроительной промышленности им. академика А. Н. Крылова под руководством

заслуженного деятеля науки и техники РСФСР, докт. техн. наук, профессора В. А. Постнова.

Кроме того, большая помощь автору, выражавшаяся в поддержке и добрых советах, была оказана заслуженным деятелем науки и техники РСФСР, докт. техн. наук, профессором Н. В. Барабашовым, докт. техн. наук, профессором Н. Ф. Ершовым, канд. техн. наук В. Н. Кустовым. Всем им автор выражает искреннюю благодарность.

- x, y, z – компоненты полного перемещения точек срединной поверхности;
- x_p, y_p, z_p – компоненты полного перемещения центра тяжести поперечного сечения ребра;
- s_{ff} – компоненты полной деформации;
- d_{ff}^2 – компоненты тангенциальной деформации волокон срединной поверхности пластины или оболочки;
- d^2w
- $$\lambda_{ij} = \frac{d^2w}{ds_i ds_j}$$
- параметры, характеризующие изгиб и кручение срединной поверхности;
- B_{ij}, D_{ij} – тангенциальная и когнитная жесткости элемента;
 $i = j$;
- D_{ij}, D_{ij} – жесткости на один элемент;
 $i \neq j$;
- \mathcal{J} – полная энергия системы;
- V – потенциальная энергия деформации;
- U – потенциальная энергия внешних сил;
- A – работа внешних сил;
- \tilde{Q} – поперечная составляющая внешней нагрузки;
- J – момент энергии поперечного сечения ребра относительно центра тяжести сечения;
- F – площадь поперечного сечения ребра;
- η – остояние центра тяжести площади поперечного сечения ребра от концы поперечности элемента;
- k_1 – кривизна поперечности оболочки;
- $r_{\text{дв}}$ – элемент функционала;
- $r_{\text{дв}}$ – значение $r_{\text{дв}}$ в узловой точке r ;
- α_1 – значение узлового обобщенного перемещения;
- $[A]$ – матрица-строка;
- $\{\cdot\}$ – вектор-столбец;
- $[A]$ – диагональная матрица;
- $[I]$ – единичная диагональная матрица;
- $[k_{ff}]$ – матрица жесткости.

ИСХОДНЫЕ ПРЕДПОСЫЛКИ, ГИПОТЕЗЫ И ДОПУЩЕНИЯ. ВАРИАЦИОННАЯ ФОРМУЛИРОВКА ЗАДАЧИ

В строительной механике расчет конструкций производится на основе определенной физической модели, отражающей основные геометрические, жесткостные и механические характеристики конструкций. Модели должны учитывать как можно больше факторов, оказывающих влияние на работу реальной конструкции. Одной из особенностей подкрепленных конструкций является характер взаимодействия подкрепляющих ребер и обшивки. Особенно важен учет истинного взаимодействия этих элементов при расчете конструкций, подкрепленных балками поперечного сечения, произвольного направления, а также если балки расположены на различном расстоянии друг от друга.

Расчет пластин, подкрепленных ребрами жесткости, сводится в общем случае к трехмерной задаче теории упругости, при этом получение точного решения предъявляет высокие требования. В настоящее время разработано несколько расчетных схем для приближенного решения задач изгиба пластины, подкрепленных ребрами жесткости.

По первому варианту расчета пластины рассматриваются как системы передаваемых балок, роль пластин при этом состоит в передаче балкам внешней нагрузки, а также участия в изгибе ребер жесткости в качестве присоединенных плашек [16, 24, 34] и др.

Согласно второй расчетной схеме [13, 15, 19, 26, 31], получающей наибольшее распространение, пластины, подкрепленные ребрами жесткости, считаются стадкой и конструктивно аналогичной, имеющей различные жесткости в двух направлениях относительно деформаций изгиба и кручения.

Третий подход заключается в рассмотрении пластин с дискретно расположеннымися ребрами жесткости [8, 16, 21, 32]. В этом случае наиболее полно учитывается характер взаимодействия ребер и пластин по линии их контакта.

При решении конкретных задач, включительно вакансия для исследования прочности конструкций, применяются различные методы: аналитические, вариационные, численные, а также экспериментальные методы.

Аналитические методы решения краевых задач сводятся к интегрированию исходной разрешающей системы дифференциальных уравнений, которая составлена с учетом заданных граничных условий и начальных

нагрузок, действующих на исследуемую конструкцию. При этом изогибающие дифференциальные уравнения связаны со значительными трудностями вычислительного зерстера. Поэтому усилия многих исследователей были направлены на разработку приближенных методов решения. Широкое распространение получили вариационные методы. Результат решения задач при использовании данных методов во многом зависит от того, сколько и каким образом выбраны координатные функции. Для достаточно точного решения задачи необходимо использовать достаточно чисто координатные функции, в связи с чем резко возрастает трудоемкость всех вычислительных операций.

Основной недостаток решений, полученных вариационными методами, заключается в том, что координатные функции выбираются для всей области. Отсюда неизменно точно такими функциями область с опасностью склоняется к геометрическим, физическим и гравитационным условиям практики невозможно.

Более широкий круг задач строительной механики и теории упругости позволяет решать различные методы, из которых можно выделить две большие группы: разностные методы и метод конечных элементов.

§ 1. Метод конечных разностей и вариационно-разностный метод

Общие уравнения теории тонких пластин, подкрепленных ребрами жесткости, представляют собой, с математической точки зрения, систему дифференциальных уравнений второго порядка. Для численного решения такой задачи весьма подходящим окажется метод сеток или метод конечных разностей, который получил широкое развитие как наиболее подготовленный для реализации на ЭВМ. Методика расчета заключается в том, что приближенное решение краевой задачи основано на решении дифференциальных уравнений конечно-разностными методами. Метод конечных разностей (МКР) приводит к системе алгебраических уравнений, в которых известными величинами являются значения исковой функции в узлах сетки. Различные варианты построения разностных схем изложены в работе [9].

Достоинство МКР в его простоте. Метод имеет следующие недостатки: неудобство исследования пластины переменной толщины ввиду значительного усложнения дифференциальными уравнениями;

значительные трудности в составлении конечно-разностных уравнений, если сетка перегородки и ее направления не совпадают с направлениями координатных линий;

приближенный учет граничных условий.

Для удобного и точного учета граничных условий П. М. Варанском [6] были предложены коэффициенты вспомогательные, а также применена контурная рамка элементов с изменением шага сетки и увеличением числа узлов.

Известны различные рекомендации [2, 6, 27, 34] относительно того, в каких точках сеточной области следует удовлетворять дифференциальным уравнениям и каким образом аппроксимировать граничные условия. В ряде работ предлагается удовлетворять дифференциальные уравнения только во внутренних точках области с грубой или утонченной аппроксимацией граничных условий без использования контурных точек. В других работах дифференциальные уравнения заменяются конечно-разностными во всех точках области с внесением в решения контурных точек.

Разнообразные указанные выше вычислительные схемы связаны со сложностями, во-первых, сократить число неизвестных путем линеаризации контурных точек и, во-вторых, более точно удовлетворить граничные условия при использовании аппроксимации одного порядка как в поле, так и на границе. В первом случае часто используют более грубые разностные формулы для аппроксимации производных вблизи границы области по сравнению с формулами, которые применяют при решении дифференциальных уравнений конечно-разностными соотношениями внутри ее. Недостаток такого подхода при решении краевых задач методом сеток заключается в том, что первоначально поставленные задачи о снижении объема вычислений не появляются [18], так как для более точного решения задачи необходимо уменьшить шаг сетки и, следовательно, повышать порядок разрешающей системы уравнений. Во втором случае необходимо использовать в решении кинематические и статические граничные условия, что нарушает стойкость метода и делает его вычислениями от конкретных граничных условий.

Хотя метод сеток получал широкое распространение и с его помощью было решено большое число задач по расчету пластики в ребристых изделиях, в ряде случаев, когда область имеет условные зоны или смешанные граничные условия, МКР приводит к противоречиям, неизбежностям и к необходимости прибегать к искусственным и не всегда обоснованным приемам [6, 18]. Многие коэффициенты системы уравнений не всегда оказываются симметрическими, что усложняет задачу в вычислительном отношении.

Эти обстоятельства, а также желание автоматизировать вычислительный процесс побуждали разработать вариационный метод построения сеточных уравнений, который еще в 1928 г. был применен Курантом, Фридрихом и Леси [37] для получения конечно-разностных выражений гармонических и бегущих волновых уравнений. С развитием электронно-вычислительных машин интерес к этому методу заметно усилился.

Большой вклад в развитие вариационно-разностного метода (ВРМ) при решении задач изгиба пластины оболочек внесли Л. В. Вайнбергом и его учениками [8]. В вариационно-разностном методе разрешающие уравнения получают из условия стационарности квадратного энргетического функционала, в котором промежуточные предварительно замененные разностными соотношениями, интегрированием — суммирующим по области.

Применение принципа минимума полной потенциальной энергии позволяет провести процедуру приближенного решения краевой задачи, требуя от задаваемых перемещений той степени гладкости, которая отвечает дифференциальным уравнениям. Это объясняется тем, что в функционале полной потенциальной энергии системы или в вариационном уравнении Лагранжа входят производные от перемещений не выше этого порядка, в то время как в дифференциальных уравнениях входят производные более высокого порядка. Если еще учесть, что вариационно-разностный метод не требует явной формулировки геометрических граничных условий, то становится ясным, почему он нашел широкое применение при решении задач изгиба пластины и оболочек, подкрепленных ребрами жесткости.

Классическая схема ВРМ предлагает отредактировать производные путем разложения вспомогательной функции в ряд Тейлора. Первоначально при расчете пластинчатых конструкций в основном использовалась регулярная сетка. Так как с помощью такой сетки пятью достаточно точно описать разнообразные контурные условия, то ограничивалась круг задач, которые можно было решить этим методом.

В работах Н. П. Абботского [1, 2] и других последователей решено большое количество инженерных задач жестких пластин и оболочек, подкрепленных системой ребер, как выпуклых контуров, так и вынутых к нему, учтены дискретные расположения ребер, их сдвиг и эксцентричность. Границные условия при этом имели частный характер (например, контор пластины ограничивались прямолинейными отрезками), и использовалась только регулярная сетка.

В 1970 г. Д. Джексон при расчете оболочек со сложными граничными условиями для построения дискретных аналогов дифференциальных операторов предложил использовать нестепенную четырехугольную сетку и показал, что такой путь установления разностных операторов функционирует с хорошей сходимостью решения к точному конечному результату [39]. Тем не менее применительно к задачам расчета подкрепленных пластин и оболочек путь не получил дальнейшего развития.

Излагаемый в четвертой главе вариант вариационно-разностного метода строится в схеме метода конечных элементов, что дает возможность воспользоваться преимуществами более совершенной схемы машинной реализации численного решения. При этом основные положения метода конечных элементов в полной мере справедливы и для рассматриваемого варианта ВРМ.

2. Метод конечных элементов

В результате развития вычислительной техники конкуренцию разностным методам составляют в настоящее время метод конечных элементов (МКЭ). Он стал одним из самых распространенных методов решения задач механики

твердого тела, что объясняется его достоинствами вычислительного характера, а также возможностью дать конкретный и ясный физический смысл всем подлежащим определению известным (или некоторым из пятий комбинациям).

Начиная с работ Лева, в которых он обосновал основные идеи метода перемещений и пытаясь моделировать конструкции самолета как набора одномерных балок, методу конечных элементов уделяется все большее внимание. В работах [38, 40] встречается первые попытки свести представление решения континуальных систем к процедуре, аналогичной расчету стержневых систем в строительной механике.

В 60-х годах появляются работы [3, 36, 41] и др., которые можно считать основополагающими для метода конечных элементов. В эти же годы сформировался следующий алгоритм расчета с использованием МКЭ:

1. Изображение конструкции с помощью конечных элементов.
2. Выбор основных неизвестных.
3. Выбор координатных функций, аппроксимирующих перемещения в элементах.
4. Определение: узловых узловых, зависящих от всем факторам, вызывающим напряженно-деформированное состояние конечного элемента (построение матриц жесткости и матрицы податливости).
5. Построение основной системы разрешающих уравнений, при решении которой определяются заданные параметры краевой задачи.

Первые три пункта алгоритма являются основными, так как от правильного выбора геометрической формы используемых элементов, количества конечных элементов, а также видов координатных функций во многом зависит точность решения поставленной задачи в целом.

В публикациях, посвященных за указанными работами Д'Артигроса, Р. Клафа, Н. Тарнера, форма координатных функций задавалась исходя из конкретных условий поставленной задачи на основе предположений и допущений или иного исследования. После первых попыток выработать certainе требования к функциям перемещений конечного элемента исследователи стали более осмысленно подходить к выбору координатных функций. В работах [11, 17, 30 и др.] определены критерии для выбора систем координатных функций, обеспечивающих сходимость решения к точному результату.

При построении конечноЭлементных моделей используется все имеющиеся вариационные формулировки теории упругости. Наиболее распространенной является такая форма метода конечных элементов, в которой известными являются обобщенные узловые перемещения, а разрешающая система уравнений получается путем использования принципа возможных перемещений.

Если же алгоритм синтезировать условия с таким расчетом, чтобы они заставят использовать дифференциальные уравнения внутри каждого элемента, то путем применения принципа возможных изменений напряженного

составляя можно получать систему разрешающих уравнений относительно частей усилий, принятых за линии континуума.

Первый из этих подходов соответствует методу перемещений, а второй – методу сил. Возможен также подход, в котором известными являются одновременно и перемещения, и усилия. Независимая аппроксимация этих групп конечными позволяет снизить порядок полиномов, используемых при аппроксимации перемещений, так как отпадает необходимость в дифференцировании перемещений для вычисления усилий. Наиболее распространение имеет метод перемещений.

В настоящее время получены важные результаты в области теории и реализации НКЭ благодаря большой группе отечественных и зарубежных исследователей, внесших большой вклад в развитие и популяризацию метода конечных элементов: Н. А. Александрова, Д. В. Вайнберга, В. Г. Корниева, В. А. Постира, Л. А. Розы, И. И. Шапошникова, Д. Архарова, О. Зиновкина, Р. Клафа, Р. Молона, М. Тарира и многих других.

Наиболее подробно вопросы теории и практического использования НКЭ освещены в монографиях [12, 14, 29, 30] и многих других.

Различие метода конечных элементов связано с решением следующих вопросов: дискретизация области, выбор системы конечных элементов, анализ особенностей аппроксимации исследуемых функций и выбор вектора обобщенных узловых перемещений, уточнение условий совместности.

Ниже мы обсудим эти аспекты метода конечных элементов прежде всего с позиций расчета поликристаллических пластин и пологих оболочек.

§ 3. Схемы дискретизации области. Типы конечных элементов

При решении задач строительной механики методом конечных элементов возможны различные схемы дискретизации области в зависимости от принятых исходных предположений и допущений. Для, наиболее общие из них, рассмотрим на примере расчетной схемы полубального покрытия (рис. 1).

Прежде всего представим исследуемую область как совокупность конечных элементов необходимо связывать с принятой системой исходных допущений и предположек.

Рис. 1. Расчетная схема полубального покрытия.



Рис. 2. Схемы дискретизации ребер в поликристаллической оболочке.

Если задача решается в наиболее строгой постановке с предложенными минимальными допущениями, то вся конструкция может быть представлена совокупностью двухмерных элементов. В этом случае дискретизация ребра, рассматриваемого как часть всей конструкции, представляется системой из двухмерных элементов (рис. 2, а).

При решении многих практических задач можно, имея в виду принятые кинематические гипотезы, пойти на некоторые упрощения, представив ребра жесткости как систему одномерных элементов и сохраняв прежнее представление для наименования (рис. 2, б).

Первая схема – наиболее сложная, но и более громоздкая и сложная в реализации. В основном она применяется при определении направления состояния в решении плоской задачи теории упругости. Вторая схема более проста. В этом случае делается оторванное представление о характере изменения перемещений по высоте подкрепляющего ребра, что дает возможность соблюсти условия совместности перемещений точек ребра и подкрепленного элемента по линии контакта. Последняя схема и положена в основу методики расчета поликристаллических элементов конструкций, изложенной ниже.

В соответствии с принятым характером дискретизации воспроизводимой конструкции ребра жесткости, производство ориентированное в плоскости рассматриваемого покрытия, представляется суммой прямолинейных



Рис. 3. Композитные элементы, сформированные на базе треугольного элемента.

изменяется, связанных условиями совместности в смежных узлах. Момент инерции площади поперечного сечения ребра может быть переменным по длине, но в пределах конкретного элемента будет использоваться допущение о единичности площади и момента инерции поперечного сечения. Предполагается, что в пределах линейного элемента имеется два узла. Элементы с большими количеством узлов рассматриваться не будут, хотя практическая сложность при извлечении дополнительных узлов не возрастает.

Наглядная методика построения матрицы жесткости имеет возможность применять при построении расчетной схемы самые разнообразные виды плоских элементов (рис. 3). Наиболее простоты изложения отвечающие применению двух основных симметрий элементов: треугольными и четырехугольными. Стороны каждого элемента представляют собой прямые линии. Предполагается, что в пределах элемента толщина не изменяется. Это требование не обязательно, но оно значительно упрощает вычислительную работу. Выбор того или иного вида элемента решается для каждого конкретного случая отдельно. Возможность моделирования криволинейных границ постится уменьшением размеров элементов. Причем общесимметричные элементы могут быть использованы одновременно внутри области, если в этом возникает необходимость. Предполагается применение четырехугольного элемента, поскольку в этом случае при увеличении точности расчета уменьшаются затраты на подготовку исходной информации.

Процесс дискретизации является одним из первых и важных этапов в системе метода конечных элементов. При этом можно выделить два технологических этапа: разбиение тела на элементы и нумерация узлов элементов. Постенный этап связан с проблемой сокращения широких пакетов системы уравнений, поскольку она имеет на эффективность вычислений, необходимых для получения решения. Все рекомендации по выполнению

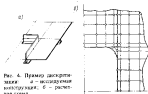


Рис. 4. Пример дискретизации: а – исследуемая конструкция; б – расчетная схема.

этого этапа, рассмотренные в приведенных источниках, остаются неизменными в нашем случае.

При разбиении любой двумерной области на элементы тело делится на треугольные и четырехугольные подобласти. Границы между подобластями должны проходить там, где изменяются геометрия, принадлежность материала или свойства материала. Особенностью дискретизации подкрепленных конструкций является соблюдение условия обязательного прохождения подкрепляющего ребра вдоль всей или любой кромки элемента. В рассмотренной ниже методике другого варианта подкрепления не предполагается, хотя в принципе он возможен. В этом случае необходимо предусмотреть наличие матрицы жесткости с иными параметрами подкрепления.

Применение наложенных идей дискретизации проиллюстрировано на рис. 4. Расстояние между узлами along криволинейной границы выбирается из условия максимального отклонения действительного напряженно-деформированного состояния.

§ 4. Особенности аппроксимации при расчете подкрепленных конструкций

Прежде чем говорить об особенностях математического моделирования напряжено-деформированного состояния подкрепленных конструкций, следует сказать, что в каждом конкретном случае при корректно проведенной аппроксимации мы должны получать результаты, приближающиеся к теоретическим, если они могут быть получены с наивысшей степенью точности. Это замечание сделано с той целью, чтобы не возникли впечатления у начинающих исследователей или читателей, которые используют готовые программы расчетов по методу конечных элементов, не являясь специалистами в области МКЭ. В частности, может создаться такая ситуация. Проводят некоторый физический эксперимент, проводят расчет его математической модели методом конечных элементов, и на основе тех же исходных предпосылок, допущений и гипотез получаютточное математическое решение. При этом одинаково строго учтены граничные условия. Но в силу реальных обстоятельств получают разброс в результатах, полученных при эксперименте и точном решении, а результаты расчета по методу конечных элементов согласуются с результатами эксперимента. Это совсем не будет означать, что метод конечных элементов дает решение более точное, чем аналитическое. Как раз наоборот. Но мы же приблизились к результатам аналитического решения, следовательно, мы либо не выбрали возможностей МКЭ, либо принятая форма аппроксимации не удовлетворяет необходимым требованиям. Вопрос же об обобщении или иссушевании результатов аналитического расчета и эксперимента прежде всего сводится к степени совершенности математической модели, которая

как основа в аналитическую формулу расчета, и в частности.

В связи с этим, прежде чем привести обоснование аппроксимации напряженно-деформированного состояния, на примере прямоугольной в плане полотнищ оболочки, покрытой линейной системой жесткости (рис. 5), рассмотрим основные зависимости, следующие из вариационного принципа минимума потенциальной энергии системы. Пусть оболочка подкреплена ребрами, которые делят ее на $(k+1)$ частей. Относительные ребор сплошем обозначим:

Нейтральными для ребер лежат на средней поверхности оболочки, $x = x_i$, $i = 1, 2, 3, \dots, k$.

Симметрии ребор с оболочкой уравняются условием симметрии деформаций:

Нагибания жесткостью ребер в плоскости, перпендикулярной к средней поверхности оболочки, можно пренебречь;

одна из главных осей инерции попарно симметрических ребор перпендикулярна к средней поверхности оболочки.

Учит жецентризмом ребор в данном случае не отразится на характере расположения, поэтому мы им пренебречем.

На каждый межреберный участок оболочки действует нормальная поверхности нагрузка $Q_j(x, y)$, а на каждое ребро — нормальная к его оси нагрузка $Q_j(x)$, $j = 1, 2, 3, \dots, k$. Рассматриваемую подкрепленную пологую оболочку можно представить как совокупность прямоугольных в плане, подкрепленных замковыми разъемами a и b . Тогда для вывода уравнений равновесия пологих элементов оболочки с ребрами жесткости и условий на ребра жесткости воспользуемся принципом минимума потенциальной энергии системы, который в применении к рассматриваемой задаче можно сформулировать так: действительные перемещения средней поверхности оболочки u , v и w и ребер жесткости u_p , v_p и w_p , соответствующие данным граничным условиям и загрузке и переходящие оболочку из состояния исходного положения в состояние упругого равновесия, отличаются от возможных тем, что они способят минимальное количество перенаправляемой энергии рассматриваемой упругой системы.



Рис. 5. Подкрепление пологого полигонометрической оболочки.

Так как оболочка с ребрами деформируется без изломов и разрывов, то ее перемещения при переходе от одного положения к другому должны удовлетворять условиям:

$$u_i(x_i, y) = u_{i+1}(x_i, y) = u_i(y);$$

$$v_i(x_i, y) = v_{i+1}(x_i, y) = v_i(y);$$

$$w_i(x_i, y) = w_{i+1}(x_i, y) = w_i(y);$$

$$\left\{ \frac{\partial w}{\partial x} \right\}_i = \left\{ \frac{\partial w}{\partial x} \right\}_{i+1},$$

$$i = 1, 2, 3, \dots, k.$$

Не останавливаясь в данном случае на промежуточных операциях, с которыми можно ознакомиться, например, в [23], из вариационного принципа получим систему дифференциальных уравнений равновесия полого элемента

$$\frac{\partial T_{11}}{\partial x} + \frac{\partial S_{11}}{\partial y} = 0;$$

$$\frac{\partial S_{11}}{\partial x} + \frac{\partial T_{21}}{\partial y} = 0;$$

$$\frac{\partial N_{11}}{\partial x} + \frac{\partial N_{21}}{\partial y} + \frac{T_{11}}{R_1} + \frac{T_{21}}{R_2} + Q_1 = 0$$

и четыре условия на каждом ребре или условия на линиях $x = x_i$:

$$T_{1,i} = T_{1,i+1} = 0;$$

$$S_1 = S_{i+1} - E F_{1,p} \left(\frac{\partial^2 v_i}{\partial y^2} - \frac{1}{R_1} \frac{\partial w_i}{\partial x} \right);$$

$$M_{1,i+1} = M_{1,i} + C_1 \frac{\partial^2 w_i}{\partial y^2};$$

$$R_{1,i+1} - R_{1,i} = - \frac{E F_{1,p}}{R_1} \left(\frac{\partial v_i}{\partial y} - \frac{1}{R_2} w_i \right) + E J_1 \frac{\partial^3 w_i}{\partial y^3} - Q_1;$$

Здесь приведены следующие обозначения:

$F_{1,2}$ — площадь поперечного сечения ребра; EI_1 — жесткость ребра на изгиб; C_1 — жесткость ребра на кручение; R_1 — радиус кривизны погонной оболочки; Γ — продольное усилие; S — сдвигущее усилие; M — изгибающий момент; H — крутящий момент; $R_{m,1,2}$ — реактивные усилия;

$$\left. \begin{aligned} M_1 &= -D(x_{11} + \nu x_{21}); \quad M_2 = -D(x_{12} + \nu x_{22}); \\ S &= 6h^{-2}D(1-\nu)x_{11}; \quad H = -D(1-\nu)x_{12}; \\ T_1 &= 12h^{-2}D(x_{11}^2 + \nu x_{21}^2); \quad T_2 = 12h^{-2}D(x_{12}^2 + \nu x_{22}^2); \\ D &= \frac{Eh^3}{12(1-\nu^2)}; \\ N_1 &= \frac{\partial H}{\partial y} + \frac{\partial M_1}{\partial x}; \quad N_2 = \frac{\partial H}{\partial x} + \frac{\partial M_2}{\partial y}. \end{aligned} \right\} \quad (4.4)$$

Поскольку соотношения (4.3) связывают между собой смешанные параметры двух смежных элементов, то, учитывая их, можно более разумно перейти к формированию вектора узловых неизвестных. Например, если топология смежных элементов ФЭМКВА и отсутствуют аппроксимации ребра жесткости, то третье уравнение из системы (4.3) превращает вид

$$M_{3,i} = M_{3,i+1},$$

или

$$\left(\frac{\partial^2 w}{\partial x^2} + \nu \frac{\partial^2 w}{\partial y^2} \right)_i = \left(\frac{\partial^2 w}{\partial x^2} + \nu \frac{\partial^2 w}{\partial y^2} \right)_{i+1}$$

Тогда как

$$\left(\frac{\partial^2 w}{\partial y^2} \right)_i = \left(\frac{\partial^2 w}{\partial y^2} \right)_{i+1},$$

исходя из у при $x=x_0$ является обобщенное сопряжение элементов, получим

$$\left(\frac{\partial^2 w}{\partial x^2} \right)_i = \left(\frac{\partial^2 w}{\partial x^2} \right)_{i+1}. \quad (4.5)$$

Следовательно, если рассматривается деформация пластин или пологих оболочек постоянной толщины, то в качестве узловых неизвестных можно использовать и значения частных производных $\frac{\partial^2 w}{\partial x^2}$, $\frac{\partial^2 w}{\partial y^2}$, $\frac{\partial^2 w}{\partial xy}$.

В случае действия различных сосредоточенных силовых факторов эта рекомендация будет экспериментальной.

Допустим теперь, что ребра жесткости отсутствуют, но смежные элементы имеют различные толщины. Тогда из (4.3) получим

$$D_i \left(\frac{\partial^2 w}{\partial x^2} + \nu \frac{\partial^2 w}{\partial y^2} \right)_i = D_{i+1} \left(\frac{\partial^2 w}{\partial x^2} + \nu \frac{\partial^2 w}{\partial y^2} \right)_{i+1},$$

следовательно, $\left(\frac{\partial^2 w}{\partial x^2} \right)_i = \left(\frac{\partial^2 w}{\partial x^2} \right)_{i+1}$.

Здесь уже наблюдаются разрывы непрерывности в значениях частных производных при переходе от одного элемента к другому.

Если элементы подкреплены ребрами жесткости, то условия сопряжения (4.3) накладывают еще более жесткие ограничения на характер вектора узловых неизвестных. В случае необходимости учета жесткости ребер на кручение, даже при использовании элементов с одинаковой толщиной, мы не должны применять в качестве неизвестных значения высших частных производных.

Аналогичные рассуждения можно привести относительно первых частных производных w и w_y . Основой для анализа уже будут первое и второе уравнения системы (4.3).

Иногда можно попутно принять в качестве узлового неизвестного параметра $\frac{\partial^2 w}{\partial dy^2}$. Обычно это делается в случае использования прямого

угольного элемента. Если же элемент имеет форму произвольную, то принятие в качестве узлового неизвестного криволинейной фиктивически требует равенства и других частных производных, что не должно быть в силу отмеченных выше условий. Например, допустим, что смежные стороны соседних элементов наклонены под углом α к оси x (рис. 6). Тогда можно записать

$$\left(\frac{\partial^2 w}{\partial x^2} \right)_i = \left(\frac{\partial^2 w}{\partial x^2} \right)_{i+1} \cos^2 \alpha + 2 \left(\frac{\partial^2 w}{\partial xy} \right)_{i+1} \sin \alpha \cos \alpha + \left(\frac{\partial^2 w}{\partial y^2} \right)_{i+1} \sin^2 \alpha;$$

$$\left(\frac{\partial^2 w}{\partial x^2} \right)_{II} = \left(\frac{\partial^2 w}{\partial y^2} \right)_{II} \cos^2 \alpha + 2 \left(\frac{\partial^2 w}{\partial x \partial y} \right)_{II} \sin \alpha \cos \alpha + \left(\frac{\partial^2 w}{\partial y^2} \right)_{II} \sin^2 \alpha.$$

Применив правила частных производных друг к другу, так как

$$\left(\frac{\partial^2 w}{\partial x^2} \right)_I = \left(\frac{\partial^2 w}{\partial x^2} \right)_{II},$$

получим

$$\left(\frac{\partial^2 w}{\partial x^2} \right)_{II} \cos^2 \alpha + \left(\frac{\partial^2 w}{\partial y^2} \right)_{II} \sin^2 \alpha = \left(\frac{\partial^2 w}{\partial x^2} \right)_{II} \cos^2 \alpha + \left(\frac{\partial^2 w}{\partial y^2} \right)_{II} \sin^2 \alpha.$$

$$\text{Откуда и следуют равенства: } \left(\frac{\partial^2 w}{\partial x^2} \right)_I = \left(\frac{\partial^2 w}{\partial x^2} \right)_{II}; \quad \left(\frac{\partial^2 w}{\partial y^2} \right)_I = \left(\frac{\partial^2 w}{\partial y^2} \right)_{II}.$$

Продовжим в общем случае условие, вытекающему из (4.3).

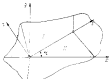
Так как метод конечных элементов является универсальным методом решения широкого круга задач, то целесообразно не ограничиваться частными задачами и при выборе вектора узловых неизвестных учить все ограничения, следующие из парциальных принципов механики деформируемого тела. Поэтому, учитывая порядок производных, входящих в исходные функционалы, в дальнейшем в качестве узловых неизвестных будем применять узловые значения исходных функций и их наивысшие производные.

Приложенные выше рассуждения являются основой для выбора разрешающего полинома некоторой функции в пределах рассматриваемого элемента. Одной из распространенных форм его записи является

$$w = \sum_{i=0}^N \sum_{j=0}^N a_{ij} x^i y^j, \quad i+j \leq N. \quad (4.6)$$

Здесь N порядок полинома. Постоянны a_{ij} определяются из условий совместной смеси элементов в узловых точках.

Рис. 4. Дискретизация области с помощью четырехугольных элементов.



Следует заметить, что выбор полинома и массовых коэффициентов — одно из сложных и ответственных операций.

Все преимущества МКЭ наращиваются при изучении подобранном полиноме, тем более что многие результаты решения практических задач, полученные с помощью метода конечных элементов, могут быть оценены качественно. Поэтому особую роль в этом методе приобретают вопросы сходимости решения к точному результату.

§ 5. Условия сходимости

Так как метод конечных элементов является методом приближенного решения уравнений математической физики, возникает вопрос о его сходимости к точному решению. Полагая, что сходимость МКЭ к точному решению эквивалентна сходимости метода Ранга, можно рассматривать ее в энергетическом смысле. Это значит, что для задач теории упругости при условии закрепления тела со жестким смычанием поправка к энергии деформации от разности точного u^* и приближенного u_h решений должна стремиться к нулю при неограниченном возрастании числа координатных функций

$$E(u^* - u_h) \rightarrow 0, \quad n \rightarrow \infty. \quad (5.1)$$

Для рассматриваемых задач доказана сходимость МКЭ в смысле (5.1), если выполняются следующие условия:

1. Координатные функции должны образовывать геометрически возможные перемещения в пределах всего тела.
2. Координатные функции должны быть линейно независимыми.
3. Координатные функции должны образовывать полную систему функций.

Кроме указанных требований часто предполагают и дополнительные [12, 29].

4. Функции перемещений должны быть такими, чтобы в случае, когда узловые перемещения соответствуют условиям постоянной деформации, это состояние действительно реализовалось бы в элементах.

5. Функции перемещений должны быть выбраны так, чтобы деформации на границах между элементами были склеиваемыми.

6. Функции перемещений должны быть выбраны таким образом, чтобы не возникла деформация элемента при узловых перемещениях, вызывающих его смещение как жесткого тела.

Шесть условий, приведенных выше, дают возможность обеспечить сходимость решения при их выполнении. При этом некоторые из них могут быть обобщены.

Условия 1 и 5 будут уточнены, сопоставлены для уравнений Эйлера-Берклия и дадено быть (и 1) непрерывных производных. Условия 6 можно

рассматривается как частный случай условия 4, поскольку жесткое перемещение является частным случаем равной нулю однородной деформации.

Элементы, координатные функции которых удовлетворяют условиям 1 и 3, называются совместными. Сложность удовлетворения всем условиям одновременно часто приводит к расчетной практике к использованию некомплексных элементов. Одним из таких элементов является бимодальный элемент [12, 29], содержащий 12 неизвестных параметров,

$$\left\{ \Psi \right\} = \left\{ \psi_1, \frac{\partial \psi_1}{\partial x}, \frac{\partial \psi_1}{\partial y}, \dots, \frac{\partial \psi_4}{\partial y} \right\}, \quad (5.2)$$

Выражение для интерполирующего полинома функции состоит из полного квадратичного полинома и шести дополнительных членов вида

$$\begin{aligned} w(x, y) = & a_1 + a_2x + a_3y + a_4x^2 + a_5xy + a_6y^2 + a_7x^3 + a_8x^2y + a_9xy^2 + \\ & + a_{10}y^3 + a_{11}x^2y + a_{12}xy^2. \end{aligned} \quad (5.3)$$

Зависимость (5.3) содержит все линейные члены, налигие которых важно для выполнения условия непротяженности, так как они могут описывать состояние постоянной плотности энергии для элемента.

Линейные члены необходимы и для удовлетворения статичных граничных условиям. Решение на основе полинома (5.3) для ряда задач сходит с краем при уменьшении размеров элементов. Сложность для этих задач слеует и из другой особенности полинома (5.3), которая заключается в том, что при двухкратном дифференцировании он приводит к плавному характеру изменения вторых производных по границам элемента. Следовательно, разрыв в значениях вторых производных по границе смежных элементов будет определяться разрывом этих производных в узловых точках, где собирается условие непрерывности первых производных. В силу этого при уменьшении сторон элементов разрывы непрерывности вторых производных в узловых точках будут стремиться к нулю или к неестественному разрыву, допускаемому физической сущностью задачи, а это в свою очередь приводит к аналогичной ситуации и по границам смежных элементов, что в итоге и определяет сложность решения при удовлетворении всех других критериев складности.

Нельзя выделить требования симметрии полинома, которые являются с целью обеспечения инвариантности матриц элементов, то даже формально совместные элементы могут приводить к расходящемуся решению. Для примера рассмотрим тот же конечный элемент, но полином, отражающий характер поверченного перемещения в его пределах, применив либо [10]

$$w(x, y) = X_1 Y_1 w_1 + X_1 Y_2 \left(\frac{\partial w}{\partial y} \right)_1 + X_2 Y_1 \left(\frac{\partial w}{\partial x} \right)_1 + X_2 Y_2 w_2 + X_3 Y_1 w_3 + X_3 Y_2 \left(\frac{\partial w}{\partial y} \right)_2 +$$

$$+ X_4 Y_1 \left(\frac{\partial w}{\partial x} \right)_2 + X_4 Y_2 w_4 + X_5 Y_1 w_5 + X_5 Y_2 \left(\frac{\partial w}{\partial y} \right)_3 + X_6 Y_1 \left(\frac{\partial w}{\partial x} \right)_3 +$$

$$+ X_7 Y_2 w_6 + X_7 Y_3 \left(\frac{\partial w}{\partial x} \right)_4 + X_8 Y_2 \left(\frac{\partial w}{\partial x} \right)_4; \quad (5.4)$$

$$X_1 = a^{-1}(2x^2 - 3ax^2 + a^2); \quad X_2 = a^{-1}(-2x^2 + 3ax^2);$$

$$X_3 = a^{-1}(x^2 - 3ax^2 + a^2x); \quad X_4 = a^{-1}(x^2 - ax^2).$$

Полиномы типа Y_i эквивалентны X_j с заменой a на b и x на y . Здесь a и b – размеры элемента.

Полином (5.4) удовлетворяет условиям 4, 5, 6 и условиям непрерывности перемещений и их первых производных по линии контакта КЭ. Определенным недостатком подобного числа степеней является отсутствие некоторого членов и отсутствие однородного решения дифференциального оператора для изгибаемой пластины. Другим недостатком полинома является его особенность, приводящая к несимметричному закону распределения деформаций в пределах элементов, фактически нарушющая элемент различной жесткостью в направлениях координатных осей. Отмеченные недостатки не обесценивают склонности решения (табл. 1).

Таким образом, выбор полиномов с возможной степенью непрерывности для элементов с узлами лишь в вершинах представляет собой сложную задачу. Еще более этот процесс усложняется для элементов произвольной формы.

§ 6. Гипотезы и допущения. Исходные зависимости

При рассмотрении объемной задачи теории упругости мы встречаемся с четырьмя группами основных уравнений: уравнениями бессвязного макрообраза рассматриваемого тела (условия статического равновесия); условиями связности; связью между компонентами деформации и перемещения, получаемой из рассмотрения тенса геометрической картины деформированного материала тела; законом Гука, определяющим зависимость между напряжениями и деформациями и упругим теле-

Таблица 1. Влияние пролета в центре квадратной оболочки и квадратной пластины, находящейся под действием равномерно распределенной нагрузки ($E = 3 \cdot 10^9$ МПа; $\nu = 0.35$; $G = 1$ МПа; $a = b = 200$ мм; $\delta = 10$ мм).

Вид решений	Влияние прогиба, см
Решение в рядах при количестве членов рядов:	
20	1,437
100	1,437
200	1,437
Решение по МКЭ с расчетной сеткой:	
4 × 4	1,285
12 × 12	1,131
20 × 20	1,181
Метод конечных разностей с расчетной сеткой:	
4 × 4	1,438

Поскольку полученные решения объемной задачи теории упругости наименее из ряда математических трудностей, классическая теория тонких пластин и теория оболочек основывается на известных гипотезах Кардюфа - Линда, которые формулируются следующим образом.

Предполагается, что прямогранные волокна пластины или пологой оболочки, параллельные к ее средней поверхности до деформации, остаются после деформации также прямогранными и параллельными к изогнутой средней поверхности; линии искривления, параллельные к средней поверхности, оставляют наклонность в процессе деформации; нормальные напряжения σ_z на плоскостях, параллельных средней поверхности, преобразуются мало по сравнению с продольными напряжениями.

В. В. Никоновским [23] было показано, что эти гипотезы приводят к линейным уравнениям к изгибу и краевому переносу R/R по сравнению с единичной. Такая природа явления вполне приемлема при расчете многих конструкций, встречающихся в различных областях техники, особенно металлических конструкций.

Пологость элемента позволяет использовать следующие зависимости для комплексного деформирования:

$$\left. \begin{aligned} e_1 &= \frac{\partial u}{\partial x} = k_1 w; \quad e_2 = \frac{\partial v}{\partial y} = k_1 w; \\ e_{12} &= \frac{\partial u}{\partial y} + \frac{\partial v}{\partial x} = 2k_1 w, \end{aligned} \right\} \quad (6.1)$$

где u , v , w — компоненты смещения точек оболочки; $k_1 = 1/R_1$; $k_1 = 1/R_{12}$; R_1 , R_{12} — радиусы кривизны средней поверхности.

Относительно ребер жесткости сплошные следующие предположения. Будем учитывать лишь жесткость ребер в плоскости, нормальной к средней поверхности оболочки. Изгибами жесткостей ребер в плоскости, касательной к средней поверхности оболочки, будем пренебрегать. Предполагая, что в процессе деформирования конструкции исключена возможность проскальзывания одного сопряженного элемента относительно другого, а также симметричность гипотезы плоских сечений для стержней, получим следующие формулы для комплексных перемещений тонких (рис. 7):

$$u = u_0 - \tau \frac{\partial w}{\partial x}; \quad v = v_0 - \tau \frac{\partial w}{\partial y}, \quad (6.2)$$

где u_0 , v_0 — компоненты смещения точек средней поверхности. Выражения для деформаций примут вид

$$\left. \begin{aligned} e_1 &= e_1^0 + e_{1w}; \quad e_2 = e_2^0 + e_{2w}; \\ e_{12} &= e_{12}^0 + e_{12w}, \end{aligned} \right\} \quad (6.3)$$

где

$$\left. \begin{aligned} e_1^0 &= \frac{\partial u_0}{\partial x} = k_1 w; \quad e_{1w} = -x \frac{\partial^2 w}{\partial x^2}, \\ e_2^0 &= \frac{\partial v_0}{\partial y} = k_1 w; \quad e_{2w} = -x \frac{\partial^2 w}{\partial y^2}, \\ e_{12}^0 &= \frac{\partial u_0}{\partial y} + \frac{\partial v_0}{\partial x} = 2k_1 w; \quad e_{12w} = -2x \frac{\partial^2 w}{\partial x \partial y}. \end{aligned} \right\} \quad (6.4)$$

При эксцентричном расположении ребер (рис. 8) перемещения точек ребра в это направление связаны с величинами параметрами установки неравнозначности деформаций:

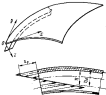


Рис. 1. К определению характера поперечных перемещений по нормали к контурной поверхности.

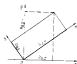


Рис. 2. К определению узловой совместности деформации ребра и плоского элемента.

$$\left. \begin{aligned} u_p^{(A)} &= u_0^{(A)} - \eta_0^{(A)} \frac{\partial w}{\partial n}; \\ v_p^{(A)} &= v_0^{(A)} - \eta_0^{(A)} \frac{\partial w}{\partial s}; \\ w_p^{(A)} &= w_0^{(A)}; \\ \frac{\partial w}{\partial n} &= \frac{\partial w_0}{\partial n}; \quad \frac{\partial w}{\partial s} = \frac{\partial w_0}{\partial x} \end{aligned} \right\} \quad (6.5)$$

и дополнительными условиями

$$\left. \begin{aligned} u_0^{(A)} &= u_0 \cos (\pi^A x) + v_0 \cos (\pi^A y); \\ v_0^{(A)} &= -u_0 \cos (\pi^A y) + v_0 \cos (\pi^A x). \end{aligned} \right\} \quad (6.6)$$

Здесь $\pi_0^{(A)}$ – эксцентриситет оси x ребра по отношению к срединной поверхности; $u_0^{(A)}, v_0^{(A)}, w_0^{(A)}$ – перемещения точек оси ребра в системе координат ABz ; $u_0^{(A)}, v_0^{(A)}, w_0^{(A)}$ – перемещения точек срединной поверхности оболочки в системе координат ABz .

Перемещения точек поперечного сечения ребра по высоте определяются зависимостью $w_p^{(B)} = w_0^{(B)} - \frac{\partial w}{\partial n}$, или, если известны эксцентриситеты центра тяжести ребра по отношению к нижней поверхности элемента – η , получим

$$w_p^{(B)} = w_0^{(B)} - \eta \frac{\partial w}{\partial n} = (z - \eta) \frac{\partial w}{\partial n}. \quad (6.7)$$

Относительная поперечная деформация волокон элемента ребра определяется зависимостью

$$e_p^{(B)} = e_0^{(B)} - \eta \frac{\partial^2 w}{\partial n^2} = (z - \eta) \frac{\partial^2 w}{\partial n^2}, \quad (6.8)$$

$$\text{при } e_0^{(B)} = \frac{\partial u_0^{(B)}}{\partial n} = k_p w; \quad k_p = \text{жесткость оси ребра жесткости}.$$

Зависимости между напряжениями и деформациями в условиях плоского изотропного состояния определяются обобщенным законом Гука в матричной форме имеют вид:

$$\{ \sigma \} = [E] \{ \epsilon \}, \quad (6.9)$$

где

$$[E] = \begin{bmatrix} \frac{E_1}{1 - \nu_{12}\nu_{21}} & \frac{\nu_{12}E_1}{1 - \nu_{12}\nu_{21}} & 0 \\ \frac{\nu_{12}E_1}{1 - \nu_{12}\nu_{21}} & \frac{E_2}{1 - \nu_{12}\nu_{21}} & 0 \\ 0 & 0 & G_{12} \end{bmatrix} \quad (6.10)$$

E_1, E_2, G_{12} – модули нормальной упругости в направлениях осей x, y и модуль сдвига соответственно; ν_{12}, ν_{21} – коэффициенты Пуассона; $\{ \epsilon \} = \{ \epsilon_{11}, \epsilon_{22}, \epsilon_{12} \}$ – вектор деформаций; $\{ \sigma \} = \{ \sigma_{11}, \sigma_{22}, \sigma_{12} \}$ – вектор напряжений.

Зависимость между напряжениями и деформациями для ребер определяется законом Гука для однородного состояния: $\sigma_{ij} = E_{ij} \epsilon_{ij}$, где E_{ij} – модуль нормальной упругости материала ребра; ϵ_{ij} – линейная относительная деформация волокна ребра.

3.7. Вариационная постановка задачи

Решение задач статической механики может быть проведено сначала из двух методов. С помощью первого решают дифференциальные уравнения с начальными граничными условиями. Второй метод заключается в минимизации интегральной величины, связанной с работой напряженной и внешней приложенной нагрузки. Для решения задач методом конечных элементов чаще используются последний подход. Если задача решается в перемещениях и на границе задана из значений, то нужно минимизировать потенциальную энергию системы. Если задача решается в напряжениях с заданными на границе усилиями, то нужно минимизировать дополнительную работу системы.

Наиболее распространенная формулировка метода конечных элементов, которая используется ниже, основана на понятии обобщенного функционала Лагранжа. Он представляет отыскание пола перемещений и тем самым связана с минимизацией потенциальной энергии системы при отыскании условных значений вектора перемещений $\{\varphi\}$. После того как перемещения будут определены, можно вычислить компоненты векторов деформаций и напряжений.

Из всех перемещений, удовлетворяющих кинематическим граничным условиям, стационарное (экстремальное) значение потенциальной энергии соединяет те перемещения, которые удовлетворяют уравнениям равновесия. Важные требования этой стороны состоят в том, что искомые перемещения должны удовлетворять заданным значениям на границе.

Потенциальная энергия упругой системы может быть разделена на две части, одна из которых соответствует энергии деформаций в телах, другая определяется потенциальной энергией массовых сил и приведенных поверхостных сил. В соответствии с этим запись получит потенциальную энергию в виде: $\mathcal{E} = V + U$, где V – энергия деформаций, а U – потенциальная энергия приложенных сил. Работа внешних сил, противоположная по знаку их потенциальной энергии: $A = -U$.

Из последних двух формул получим

$$\mathcal{E} = V - A. \quad (7.1)$$

После разбиения области на элементы равенство (7.1) записывается в виде суммы

$$\mathcal{E} = \sum_{i=1}^N (V_i - A_i) = \sum_{i=1}^N \mathcal{E}_i. \quad (7.2)$$

Если конечными в задаче являются элементы вектора $\{\varphi\}$, то минимизацию функционала по всем элементам исходного вектора, получаем

$$\frac{\partial}{\partial \{\varphi\}} = \left\{ \frac{\partial \mathcal{E}}{\partial q_1}, \frac{\partial \mathcal{E}}{\partial q_2}, \dots \right\} = 0 \quad (7.3)$$

Учитывая зависимость (7.2), преобразуем уравнение (7.3)

$$\frac{\partial \mathcal{E}}{\partial \{\varphi\}_i} = \sum_{j=1}^N \frac{\partial \mathcal{E}_j}{\partial \{\varphi\}_i} = \sum_{j=1}^N \frac{\partial \mathcal{E}_j}{\partial \{q\}_{ij}}, \quad (7.4)$$

где суммируются производные по всем конечным элементам.

Для линейных задач функционал \mathcal{E} является квадратичной функцией от исходной функции и ее производных, и, следовательно, j -й член правой части выражения (7.4) примет вид

$$\frac{\partial \mathcal{E}}{\partial \{q\}_{ij}} = [K]_{ij} \{\varphi\}_j - \{F\}_i = 0, \quad (7.5)$$

где $[K]_{ij}$ – матрица жесткости элемента. Коэффициенты этой матрицы определяются свойствами и геометрией среды; $\{F\}_i$ – вектор обобщенных сил. Он определяет влияние на i -й элемент.

Исследуя характер выражения для энергии упругой оболочки, используемого в технических расчетах. Из курса теории упругости известно, что для любого упругого тела потенциальная энергия деформации это определяется по следующей формуле:

$$V = \frac{1}{2} \int_V \{\varphi\}^T \{c\} dV, \quad (7.6)$$

где

$$\{c\} = \{c_{11} \ c_{12} \ c_{22} \ c_{31} \ c_{13} \ c_{23}\} -$$

– матрица-столбец коэффициентов подкрепленного элемента;

$$\{\varphi\} = \{v_{11} \ v_{12} \ v_{22} \ v_{11} \ v_{13} \ v_{23}\} -$$

– матрица-столбец направлений; V – объем, занимаемый телом.

Зависимость (7.6) позволяет в принципе исходить из деформаций проникновенных оболочек и пластины, подкрепленные ребрами жесткости.

Однако сложность задачи и, в первую очередь, ее пространственность делают необходимость реального исполнения всемма проблематичной. В то же время такая особенность пластины и оболочек, как малая толщина по сравнению с остальными размерами, малое соотношение высоты ребер к их длине и небольшие размеры свободных концов ребер дают возможность упрощения исходных зависимостей при достаточно точности окончательных результатов.

Учитывая принятые выше гипотезы, вектор деформаций и вектор напряжений представим в виде

$$\{\epsilon\} = \{e_{11} \ e_{21} \ e_{12}\}; \quad \{\sigma\} = \{\sigma_{11} \ \sigma_{21} \ \sigma_{12}\}. \quad (7.7)$$

Потенциальную энергию подкрепленного элемента можно записать как сумму потенциальной энергии деформации элемента пластины или оболочки и энергии деформации ребер жесткости

$$V = \frac{1}{2} \int \int \{\epsilon\}^T \{\epsilon\} dF + \frac{1}{2} \sum_{m=1}^M \int \int \sigma_p^{(m)} \epsilon_p^{(m)} dF dF, \quad (7.8)$$

где M – количество подкрепленных ребер; I – плата ребра; F – площадь поперечного сечения ребра.

Работа внешних сил определяется из выражения

$$A = \int \int (P_x u + P_y v + P_z w) dF, \quad (7.9)$$

где P_i – проекция внешних сил на координатные оси x , y и z ; Ω – область действия внешних сил.

После подстановки (6.9) и (7.8), приняв во внимание (6.8), приведем к окончательному выражению для потенциальной энергии рассматриваемого подкрепленного элемента

$$J = V_g(u, v, w) + V_n(w) + V_p(u, v, w), \quad (7.10)$$

где

$$\begin{aligned} V_g(u, v, w) &= \frac{1}{2} \int \int \left[D_{11} \left(\frac{\partial w}{\partial x} - k_1 w \right)^2 + D_{21} \left(\frac{\partial w}{\partial y} - k_2 w \right)^2 + \right. \\ &+ D_{12} \left(\frac{\partial w}{\partial y} + \frac{\partial v}{\partial x} - 2k_{12} w \right)^2 + 2\nu_{12} D_{11} \left(\frac{\partial u}{\partial x} - k_1 u \right) \left(\frac{\partial v}{\partial y} - \right. \\ &\quad \left. \left. - k_2 v \right) \right] dx dy; \end{aligned} \quad (7.11)$$

$$\begin{aligned} V_n(w) &= \frac{1}{2} \int \int \left[D_{11} \left(\frac{\partial^2 w}{\partial x^2} \right)^2 + 2\nu_{12} D_{11} \frac{\partial^2 w}{\partial x \partial y} - \frac{\partial^2 w}{\partial y^2} + 4D_{11} \times \right. \\ &\quad \left. \times \left(\frac{\partial^2 w}{\partial x \partial y} \right)^2 + D_{22} \left(\frac{\partial^2 w}{\partial y^2} \right)^2 \right] dx dy; \end{aligned} \quad (7.12)$$

$$\begin{aligned} V_p(u, v, w) &= \frac{1}{2} \sum_{m=1}^M \int \left[EF \left(\frac{\partial u}{\partial t} - k_p w \right)^2 - 2\nu_{12} EF \left(\frac{\partial v}{\partial t} - k_p w \right) \times \right. \\ &\quad \left. \times \frac{\partial^2 w}{\partial t^2} + EI_p \left(\frac{\partial^2 w}{\partial t^2} \right)^2 \right] dt; \end{aligned} \quad (7.13)$$

$$D_{11}^p = \frac{E_{11} k}{1 - \nu_{12} \nu_{21}}; \quad D_{11}^n = G_{11} k; \quad D_{22}^n = \frac{E_{12} k}{1 - \nu_{12} \nu_{21}},$$

$$D_{12} = \frac{E_{11} k^2}{12(1 - \nu_{12} \nu_{21})}; \quad D_{11} = \frac{G_{11} k^2}{12}; \quad D_{12} = \frac{E_{12} k^2}{12(1 - \nu_{12} \nu_{21})}, \quad (7.14)$$

k – толщина элемента.

Таким образом, составляющие потенциальной энергии выражены через перемещения точек сечения поверхности, что значительно облегчает процесс решения рассматриваемых задач.

В случае учета жесткости круглого ребра следует выражение (7.13) дополнить статическим

$$C_n \frac{\partial^2 w}{\partial \theta^2}, \quad (7.15)$$

где C_n – жесткость балки при кручении; θ – нормаль к плоскости наибольшей жесткости ребра.

Согласно предположению о том, что подкрепляющие ребра испытывают только осевое растяжение (сжатие) и изгиб в плоскости

максимальной жесткости, потенциальная энергия деформации ребра представлена в виде

$$V_p = \frac{1}{2} \int \left[EF \left(\frac{du}{dl} - k_p u \right)^2 + EI_F \left(\frac{d^2 w}{dl^2} \right)^2 - 2qEF \left(\frac{du}{dl} - k_p u \right) \times \right. \\ \left. \times \frac{d^2 w}{dl^2} \right] dl, \quad (7.16)$$

где $I_F = J_3 + q^2 F$ представляет собой момент инерции ребра относительно оси, лежащей на поверхности сопряжения ребра и оболочки (плоскости).

Глава вторая

ЭЛЕМЕНТЫ ФУНКЦИОНАЛА. ОСОБЕННОСТИ АППРОКСИМАЦИИ

Построение матриц жесткости полирэлических и поликвадратичных элементов, как уже говорилось выше, будет производиться на основе обобщенного функционала Лагранжа и однозначной процедуры (7.3). Сложность построения, а часто и громоздкость уточняемых алгоритмов заставляет обращаться к более грубым, с точки зрения быстроты сходимости решения к точному, но более простым и экономичным на практике вариантам. Особенностью рассматриваемого алгоритма является выражение грани сходимости элементов в узлах сходимости. Это является следствием того, что условия непрерывности функций необходимо удовлетворять лишь в узловых точках элементов.

§ 8. Дискретизация исходного функционала. Элементы функционала

Метод конечных элементов основан на идеи аппроксимации непрерывной функции дифференциальной моделью, которая строится на конечном числе подобластей. В качестве функции элемента чаще всего применяется полином. Порядок полинома зависит от числа используемых в каждом узле элемента коннектов. В общем случае эти функции должны удовлетворять условиям сходимости, о которых говорилось выше.

1. Функции u и их производные до $(n-1)$ -го порядка (где n — порядок старшей производной в функционале) должны быть непрерывны внутри каждого элемента и на границе между элементами. Непрерывность производных более высокого порядка, связанных с естественными граничными условиями, устанавливается в среднем путем включения соответствующих членов в вариационные формулировки.

2. При избирательном числе элементов производные, входящие в вариационную формулировку, должны стремиться к постоянным или, в частности, к нулевым значениям. Следовательно, необходимо включать в функцию u члены, которые могут обеспечить выполнение этих условий.

Таким образом, при использовании гармонического уравнения необходимо обеспечить непрерывность первого порядка, т. е. непрерывность самой функции, при применении бигармонического — непрерывность

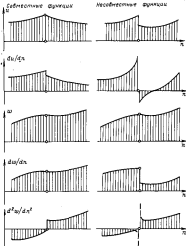


Рис. 9. Поведение функций в неизменной зоне.

второго порядка, когда внутри каждого элемента и между ними требуется обеспечить непрерывность функции и ее первых производных. Эти обобщенные требования вытекают из самой сути ограничений, накладываемых на величину энергии возникновения "прямого хода", заимствованного в схему метода конечных элементов (рис. 9).

Схема "прямого хода" предполагает следующие операции:

$$u_i(x, y) \rightarrow \left(\frac{du_i}{dx} \right) \rightarrow J_1 \left(u_i, \frac{du_i}{dx} \right) -$$

— при решении плоской задачи теории упругости;

$$w \rightarrow \left(\frac{dw}{dx} \right) \rightarrow \left(\frac{d^2w}{dx^2} \right) \rightarrow J_2 \left(w, \frac{dw}{dx}, \frac{d^2w}{dx^2} \right) -$$

— при решении задач изгиба и так далее. Здесь предполагается, что индекса i, j пробегают значения от 1 до 2.

Поскольку дифференцирование подразумевает лишь непрерывные функции, можно сказать, что требование соблюдения непрерывности высших производных функций есть порождение операций дифференцирования. Таким образом, можно сделать следующий вывод. Если не удастся сформировать полностью совместные условия, то при формировании матриц жесткости необходимо стараться избегать операций такого дифференцирования разрывных функций. Учитывая это, в дальнейшем мы не будем производить последовательного дифференцирования исходных функций при определении высших производных.

Прежде чем перейти к изложению особенностей аппроксимации, обратимся к некоторому исходному функционалу.

$$J = J \left(u_i, w, \frac{du_i}{dx}, \frac{d^2w}{dx^2}, Q \right), \quad i, j = 1, 2. \quad (8.1)$$

Пусть требуется найти функции двух независимых переменных $u_i(x, y), w(x, y)$, определенные в области \mathcal{S} с границей \mathcal{C} .

Интеграл (8.1) представим суммой интегралов, принадлежащих области $\mathcal{S} + \mathcal{C}$:

$$J = \sum_{j=1}^M J_{j,0}, \quad (8.2)$$

где первый преследует M разы суммы исходных функций, их производных, компонентов внешней нагрузки и моментов.

Введем понятие элементов функционала $J_{j,0}$, за которые примем функции и их производные, включая высшие, стоящие под знаком интеграла в выражении (8.1), а также все компоненты внешнего воздействия:

$$\left. \begin{array}{l} e_1 = u_1(x, y); \\ e_2 = u_2(x, y); \\ e_3 = w(x, y); \\ e_4 = \frac{\partial w}{\partial x}(x, y); \\ \dots \\ \dots \\ e_{M-2} = \frac{\partial^2 w}{\partial x^2}(x, y); \quad e_{M-1} = \frac{\partial^2 w}{\partial y^2}(x, y); \\ e_M = Q(x, y). \end{array} \right\} \quad (8.3)$$

Так как исходный функционал является квадратичным, то его можно представить в виде

$$J = \sum_{j=1}^M \sum_{i=1}^M J_{ij} (e_{ij} e_i e_j), \quad (8.4)$$

Таким образом мы пришли к поддеминимумному представлению исходного функционала. Как и любая область представляется совокупностью различных простых элементов области, так и функционал разен сумме своих составляющих, каждая из которых равна интегралу по области $S + C$ от произведения некоторого множества, постоянного в пределах элемента, на произведение двух соответствующих элементов исходного функционала. Для каждого элемента, характеризующего изменение некоторой функции или ее производных в пределах элемента, подбираются свои аппроксимирующие полиномы, удовлетворяющие условиям, которые рассмотрены выше.

§ 9. Особенности аппроксимации элементов исходного функционала

Излагаемая методика построения матриц жесткости элементов заключается в различной аппроксимации самой функции и ее производных, входящих в функционал. В большинстве случаев используются симметрические функции, чьего коэффициентов в которой на единицу больше размерности координатного пространства, т. е. для двумерного базисного треугольного элемента берется функция

$$w(x, y) = a_0 + a_1 x + a_2 y \quad (9.1)$$

и для линейного элемента —

$$\varphi(l) = \beta_0 + \beta_1 l. \quad (9.2)$$

Здесь под l следует понимать координатную ось, направленную вдоль оси элемента. Приведем на примере функционала

$$J = \frac{1}{2} \int_S \left[EI \left(\frac{\partial^2 w}{\partial x^2} \right)^2 + E \left(\frac{\partial w}{\partial x} \right)^2 - Qw \right] dx \quad (9.3)$$

оценки сложности решения на основе аппроксимации вида (9.1) по сравнению с решениями, основанными на более строгой аппроксимации для прогиба балки, определяемой выражением [29]

$$\begin{aligned} w(x) = & w_0 \left(1 - 3 \frac{x^2}{a^2} + 2 \frac{x^3}{a^3} \right) + \left(\frac{\partial w}{\partial x} \right)_0 \left(x - 2 \frac{x^2}{a} + \frac{x^3}{a^2} \right) + w_{k+1} \cdot \\ & \left(3 \frac{x^2}{a^2} - 2 \frac{x^3}{a^3} \right) + \left(\frac{\partial w}{\partial x} \right)_{k+1} \left(- \frac{x^2}{a} + \frac{x^3}{a^2} \right). \end{aligned} \quad (9.4)$$

Здесь $w_k = \left(\frac{\partial w}{\partial x} \right)_k$, $w_{k+1} = \left(\frac{\partial w}{\partial x} \right)_{k+1}$ — прогиб в узлы поворота классических к узловой панели в узловых точках.

Расчетная схема балки приведена на рис. 10. Для рассматриваемой задачи элементами функционала являются

$$\left. \begin{array}{l} e_1^0 = w(y); \quad e_1^1 = \frac{\partial w}{\partial x}(y); \\ e_2^0 = \frac{\partial^2 w}{\partial y^2}(x); \quad e_2^1 = Q(x); \\ e_3^0 = T(x). \end{array} \right\} \quad (9.5)$$

Прямой метод решения выражается последовательными операциями

$$w(x) = \left(\frac{\partial w}{\partial x} \right) + \left(\frac{\partial^2 w}{\partial y^2} \right).$$

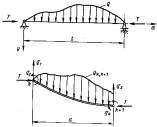


Рис. 10. Деформация балки и ее конечного элемента в результате которых получим

$$e_1^Q = w_k \left(-6 \frac{x}{a^2} + 6 \frac{x^2}{a^3} \right) + \left(\frac{\partial w}{\partial x} \right)_k \left(1 - 4 \frac{x}{a} + 3 \frac{x^2}{a^2} \right) + w_{k+1} \times$$

$$\left(6 \frac{1}{a} - 6 \frac{x^2}{a^2} \right) + \left(\frac{\partial w}{\partial x} \right)_{k+1} \left(-3 \frac{x}{a} + 3 \frac{x^2}{a^2} \right); \quad (9.6)$$

$$e_1^T = w_k \left(-6 \frac{1}{a^2} + 12 \frac{x}{a^3} \right) + \left(\frac{\partial w}{\partial x} \right)_k \left(-4 \frac{1}{a} + 6 \frac{x}{a^2} \right) + w_{k+1} \times$$

$$\left(6 \frac{1}{a^2} - 12 \frac{x}{a^3} \right) + \left(\frac{\partial w}{\partial x} \right)_{k+1} \left(-\frac{2}{a} + 6 \frac{x}{a^2} \right) + \left(\frac{\partial^2 w}{\partial x^2} \right)_k \left(1 - \frac{x}{a} \right) +$$

$$+ \left(\frac{\partial^2 w}{\partial x^2} \right)_{k+1} \frac{x}{a}. \quad (9.7)$$

Будем считать, что T и Q постоянны в пределах элемента, т. е. $e_1^Q \approx Q$, $e_1^T \approx T$. Индекс "нуж" указывает на вариант с повышенной точностью расчета, который, как известно, приводит к сокращающемуся точному решению

при стремлении радиусов зонковых к нулю. При этом функционал строится к своему минимальному значению \mathcal{E}_0 .

Основная погрешность, имеющую в решении, если для аппроксимации первого момента функторома прямым симплексом функцию (9.2),

$$e_1^T = w_k \left(1 - \frac{x}{a} \right) + w_{k+1} \frac{x}{a}. \quad (9.8)$$

Выражение для e_1^Q , e_1^T оставим прежним, т. е. определяемыми зависимостями (9.6), (9.7). Тогда разница между значением функционала \mathcal{E}_0 и значением функционала с использованием (9.8) можно представить в следующем виде:

$$\frac{Q}{12} \sum_{m=1}^M \left[\left(\frac{\partial w}{\partial x} \right)_m - \left(\frac{\partial w}{\partial x} \right)_{m+1} \right]^2, \quad (9.9)$$

где M — число конечных элементов.

Таким образом, можно записать

$$\mathcal{E}_0 - \mathcal{E}_0^T = \Delta (Q^2), \quad (9.10)$$

где \mathcal{E}_0^T — предельное значение функционала, когда применяется более грубая аппроксимация его элементов.

Затем представим, что

$$e_1^Q = e_1^T + \left[\left(\frac{\partial w}{\partial x} \right)_k + \left(\frac{\partial w}{\partial x} \right)_{k+1} + 2 \frac{w_k - w_{k+1}}{a} \right] \left(-3 \frac{x}{a} + 3 \frac{x^2}{a^2} \right), \quad (9.11)$$

здесь

$$e_1^T = \left(\frac{\partial w}{\partial x} \right)_k \left(1 - \frac{x}{a} \right) + \left(\frac{\partial w}{\partial x} \right)_{k+1} \frac{x}{a}. \quad (9.12)$$

Рассмотрим исходную функцию в окрестности некоторой точки в ряд Тейлора и ограничимся первыми членами разложения, полутив

$$w_{k+1} = w_k + \alpha \left(\frac{\partial w}{\partial x} \right)_k + \Delta(x^k). \quad (9.13)$$

Из (9.13) следует, что

$$\left(\frac{\partial w}{\partial x} \right)_k = \left(\frac{\partial w}{\partial x} \right)_{k+1} = \frac{w_{k+1} - w_k}{\alpha} = \Delta(x).$$

Тогда выражение (9.11) примет вид

$$e_1^k = e_1^k - \Delta(x) \left(-3 \frac{x}{\alpha} + 3 \frac{x^2}{\alpha^2} \right). \quad (9.14)$$

Оценим разность значений функционалов при аппроксимации (9.14) и $e_1 = e_1^k$, получим

$$\mathcal{J}_0 = \mathcal{J}_0^k + \Delta(x^k). \quad (9.15)$$

Таким образом, применяя симплексные функции для аппроксимации элементов функционала, мы будем приближаться к истинному решению с погрешностью $\Delta(x^k)$ по сравнению со случаем более совершенной аппроксимации. Аналогичная ситуация сохраняется и для более общего случая использования напряженно-деформированного состояния для двухмерных областей.

При построении матриц жесткости двухмерных элементов будем исходить из аппроксимирующего полинома (9.1) для базисного треугольного элемента (рис. 11).

Для данного элемента исходного функционала, применяв симплексную функцию, можно записать, что $e_m(x, y) = e_{m1} + e_{m2}x + e_{m3}y$. В узлах базисного треугольного элемента значение функционала e_m принимает значения:

$$\begin{aligned} e_m(x_1, y_1) &= e_{m1}; \quad e_m(x_2, y_2) = e_{m2}; \\ e_m(x_3, y_3) &= e_{m3}. \end{aligned} \quad (9.16)$$

Тогда, учитывая (9.16), можно записать, что

$$\begin{aligned} e_m(x, y) &= e_{m1} \beta_1(x, y) + e_{m2} \beta_2(x, y) + \\ &+ e_{m3} \beta_3(x, y). \end{aligned} \quad (9.17)$$

Рис. 11. Общий вид базисного треугольного элемента.

где $\beta_i(x, y)$ – обычные функции Эрмита;

$$\left. \begin{aligned} \beta_1(x, y) &= \frac{1}{2F} [D_{11}(x - x_1) - D_{11}(y - y_1)], \\ \beta_2(x, y) &= \frac{1}{2F} [D_{12}(x - x_2) - D_{12}(y - y_2)], \\ \beta_3(x, y) &= \frac{1}{2F} [D_{13}(x - x_3) - D_{13}(y - y_3)], \end{aligned} \right\} \quad (9.18)$$

$2F = x_{12}x_{13} - x_{11}x_{12}$ – укосина площади треугольника; $D_{ij} = x_j - x_i$; $y_j - y_i$; $x_j - x_i$ и т. д.

Следует отметить некоторые свойства базисного треугольного элемента и линейной интерполяции. Во-первых, используя треугольный элемент, можно сформировать элемент со сложной геометрией внешних границ (рис. 3). Во-вторых, так как исходные функции и их производные изменяются линейно вдоль границ элемента, то основное внимание концентрируется лишь на вопросе о корректности аппроксимирующих выражений для производных от исходных функций в узловых точках.

При этом, если эти выражения будут приближаться к точным значениям в узловых элементах, то в силу линейного закона аппроксимации не будут возникнуть те неопределённости, которые возникают при дифференцировании исходных функций.

Подставив выражения типа (9.17) в (7.31) – (7.33) и пронумеровав последние в пределах площади треугольного элемента, мы приDEM к обычному алгебраическому линейному выражению, содержащему известные значения функций и их производных в узловых точках элемента.

Учитывая, что первые производные от тангentialных составляющих перемещений и вторые производные от нормальных составляющих могут терять разрывы непрерывности, не следует вводить их в состав узловых неизвестных, т. е. они должны быть выражены непосредственно через значения исходной функции и её линейные производные. Примем к этому случаю формулировку условия совместности. Но в отличие от «прямого хода», где условия совместности должны быть выполнены вдоль всей границы элемента, речь идет о их выполнении лишь в узловых точках.

В целях упрощения промежуточных и конечных выражений, а также в соответствии с вытекающими из предыдущем параграфе понятиями элементов функционала примем единую систему обозначений, исчерпывающую от конкретной решаемой задачи:

$$e_{1x} = u_x - q_{1x}; \quad e_{2x} = v_x - q_{2x};$$

$$e_{3x} = w_x - q_{3x};$$

$$e_{4x} = \left(\frac{du}{dx} \right)_n; \quad e_{5x} = \left(\frac{dv}{dx} \right)_n;$$

$$e_{6x} = \left(\frac{dw}{dx} \right)_n; \quad e_{7x} = \left(\frac{d^2v}{dx^2} \right)_n;$$

$$e_{8x} = \left(\frac{d^2w}{dx^2} \right)_n = q_{4x}; \quad e_{9x} = \left(\frac{d^3w}{dx^3} \right)_n = q_{5x};$$

$$e_{10x} = \theta_x = q_{6x};$$

$$e_{11x} = \left(\frac{d^3w}{dx^3} \right)_n; \quad e_{12x} = \left(\frac{d^4w}{dx^4} \right)_n;$$

$$e_{13x} = \left(\frac{d^5w}{dx^5} \right)_n; \quad e_{14x} = Q_x.$$

Здесь индекс x характеризует номер узла элемента.

Для ребер жесткости используются аналогичные обозначения:

$$e_{1,y}^0 = u_{yy}; \quad e_{2,y}^0 = u_{yy};$$

$$e_{3,y}^0 = w_{yy}; \quad e_{4,y}^0 = \left(\frac{\partial u_y}{\partial l} \right)_n;$$

$$e_{5,y}^0 = \left(\frac{\partial w_y}{\partial l} \right)_n; \quad e_{6,y}^0 = \left(\frac{d^2w_y}{\partial l^2} \right)_n.$$

В систему обобщенных (9.19) входят параметры $q_{m,n}$ ($m = 1, 2, 3, 4, 5, 6$), которые являются неизвестными в узловых точках при решении наиболее общей из рассматриваемых выше задач, т. е. полный вектор неизвестных для лог-элемента будет иметь вид

$$\{q\}_n = \{q_1, q_2, q_3, q_4, q_5, q_6\}_n. \quad (9.21)$$

При рассмотрении частных задач он может быть сокращен, но постольку нумерация узловых значений неизвестных мы сохраним исходной. В силу замечаний, сделанных выше, в дальнейшем узловые значения элементов функционала $e_{1x}, e_{2x}, e_{3x}, e_{4x}, e_{5x}, e_{6x}, e_{7x}, e_{8x}, e_{9x}$ должны быть выражены через узловые значения элементов функционала более высокого порядка: $e_{1x}, e_{2x}, e_{3x}, e_{4x}, e_{5x}, e_{6x}$.

Таким образом, поскольку функция $\tilde{u}(x, y)$ определяется единственным образом, то в общем случае при решении частных задач алгоритмически подаются лишь узловые значения основных неизвестных $q_{m,n}$, непрерывность которых в узловых точках обеспечивается.

В данном случае можно провести аналогию между предлагаемым приемом и методом, запечатленным в Методе конечных элементов. В начале прошлого века Найми сформулировал общую задачу расчета упругой конструкции как задачу определения перемещений во всех точках конструкций, т. е. такого вектора $\psi(x, y, z)$, который удовлетворяет уравнениям теории упругости в граничных условиях. Правда, нахождение эту функцию оказалось непросто. Для ее относительно простой формы это изучалось делать с помощью приближенных методов Ритца, Бубнова–Галеркина и ряда других. Однако применить их к более сложным телам не удалось. Решение нашло в ответе на вопрос: обязательно ли во всем объеме тела функция $\psi(x, y, z)$ должна иметь одно и то же аналитическое представление. Быть может, область, занимаемая телом, можно разбить на подобласти, в каждой из которых деформированное состояние является достаточно простым, а затем “склеить” из этих подобластей полную область? Это простое идея оказалась чрезвычайно плодотворной и была положена в основу ИКЭ.

То же самое используется и в предлагаемом приеме. Если в функционале входит некоторая функция и ее производные, то с помощью замечательных полиномов предлагается аппроксимировать функцию и ее производные. Причем аппроксимация применяется извне, т. е. используется принцип суперпозиции.

9.10. Построение конечных аналогов дифференциальных операторов

В число элементов исходного функционала входят высшие производные от искомых функций u, v и w . Прежде чем пытаться выразить их через узловые значения функций и производных более низкого порядка, необходимо получить выражения для высших производных от координатных функций, спрямленных при любой форме конечного элемента. В отличие от гладкого полинома, когда производные от функции находятся в пределах всей области элемента, в рассматриваемом случае задача сводится к определению их лишь в узловых точках, так как порядок изменения в пределах элемента пропорционален самой координатной функцией. С этой

ческое разбиение области, представленную скомбинированными элементами, и выделим для рассмотрения один из них (рис. 12). Начало координат поместим в точку I и будем считать, что координатная плоскость совпадает с плоскостью элемента. Вид элемента в данном случае не играет особой роли. Поэтому зависимости, полученные ниже, будут справедливы для произвольного тетраэдра.

Основой определения коэффициентов зависимостей для частных производных от функции в некотором узле служит выражение для производной сложной функции от нескольких переменных:

$$\frac{\partial \varphi}{\partial t} = \frac{\partial \varphi}{\partial x} \frac{\partial x}{\partial t} + \frac{\partial \varphi}{\partial y} \frac{\partial y}{\partial t}; \quad (10.1)$$

$$\frac{\partial \varphi}{\partial n} = \frac{\partial \varphi}{\partial x} \frac{\partial x}{\partial n} + \frac{\partial \varphi}{\partial y} \frac{\partial y}{\partial n}; \quad (10.2)$$

$$x = x(\xi, \eta); \quad y = y(\xi, \eta); \quad (10.3)$$

$$\begin{aligned} \frac{\partial^2 \varphi}{\partial t^2} &= \frac{\partial^2 \varphi}{\partial x^2} \left(\frac{\partial x}{\partial t} \right)^2 + 2 \frac{\partial^2 \varphi}{\partial x \partial y} x \\ &\times \frac{\partial x}{\partial t} \frac{\partial y}{\partial t} + \frac{\partial^2 \varphi}{\partial y^2} \left(\frac{\partial y}{\partial t} \right)^2. \end{aligned} \quad (10.4)$$

Зависимость для $\frac{\partial^2 \varphi}{\partial y^2}$ следует из

(10.4), если произвести замену $x \rightarrow y$, $\xi \rightarrow \eta$. Помимо, что x и y являются неизвестными функциями от ξ и η и рассматриваем элементы с прямолинейными сторонами контура, выражения (10.1) – (10.4) можно привести следующий вид:

$$\frac{\partial \varphi}{\partial t} = \frac{\partial \varphi}{\partial x} \cos \alpha_1 + \frac{\partial \varphi}{\partial y} \sin \alpha_1; \quad (10.5)$$

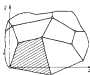


Рис. 12. К определению коэффициентов линейных деформационных операторов.

$$\frac{\partial \varphi}{\partial n} = \frac{\partial \varphi}{\partial x} \cos \alpha_1 + \frac{\partial \varphi}{\partial y} \sin \alpha_1; \quad (10.6)$$

$$\left. \begin{aligned} \frac{\partial^2 \varphi}{\partial t^2} &= \frac{\partial^2 \varphi}{\partial x^2} \cos^2 \alpha_1 + 2 \frac{\partial^2 \varphi}{\partial x \partial y} \cos \alpha_1 \sin \alpha_1 + \frac{\partial^2 \varphi}{\partial y^2} \sin^2 \alpha_1 \\ \frac{\partial^2 \varphi}{\partial n^2} &= \frac{\partial^2 \varphi}{\partial x^2} \cos^2 \alpha_1 + 2 \frac{\partial^2 \varphi}{\partial x \partial y} \cos \alpha_2 \sin \alpha_2 + \frac{\partial^2 \varphi}{\partial y^2} \sin^2 \alpha_2 \end{aligned} \right\} \quad (10.7)$$

Выражения для первых частных производных в ГМ узле. Воспользовавшись выражениями (10.5), (10.6) и полагая, что начало координат совпадает с узлом I , можно записать:

$$\left. \begin{aligned} \left(\frac{\partial \varphi}{\partial t} \right)_I &= \left(\frac{\partial \varphi}{\partial x} \right)_I \cos \alpha_1 + \left(\frac{\partial \varphi}{\partial y} \right)_I \sin \alpha_1; \\ \left(\frac{\partial \varphi}{\partial n} \right)_I &= \left(\frac{\partial \varphi}{\partial x} \right)_I \cos \alpha_2 + \left(\frac{\partial \varphi}{\partial y} \right)_I \sin \alpha_2. \end{aligned} \right\} \quad (10.8)$$

Тогда, решая (10.8), находим

$$\left. \begin{aligned} \left(\frac{\partial \varphi}{\partial t} \right)_I &= \frac{1}{3} \left[\left(\frac{\partial \varphi}{\partial t} \right)_I \sin \alpha_1 - \left(\frac{\partial \varphi}{\partial n} \right)_I \sin \alpha_2 \right]; \\ \left(\frac{\partial \varphi}{\partial n} \right)_I &= \frac{1}{3} \left[\left(\frac{\partial \varphi}{\partial n} \right)_I \cos \alpha_1 - \left(\frac{\partial \varphi}{\partial t} \right)_I \cos \alpha_2 \right], \end{aligned} \right\} \quad (10.9)$$

где

$$\Delta_I = \cos \alpha_1 \sin \alpha_1 - \cos \alpha_2 \sin \alpha_2. \quad (10.10)$$

При исполнении напряженно-деформированного состояния подкрепленных пластин и оболочек производятся матрицы потоков первых частных производных от тангенциальных перемещений $\varphi = \varphi(x)$. Тогда, пользуясь справедливыми тождествами $\varphi = \varphi(x)$, легко получить выражения для первых частных производных от $\varphi(x)$ для некоторого I -го узла. В сущности от объемно-применимой процедуры в МКЭ в данном случае будем

апроксимировать перемещения только линиями прямых линий, соединяющими узлы элемента.

Тривиальными составляющими перемещений и к пределам постоянными первой степени (рис. 13):

$$\left. \begin{aligned} u_1 = u_2 &= \left(1 - \frac{\xi}{l_{ij}} \right) + u_3 \frac{\xi}{l_{ij}}; \quad u_3 = u_4 = \left(1 - \frac{\eta}{l_{ik}} \right) + u_5 \frac{\eta}{l_{ik}}, \\ r_1 = r_2 &= \left(l - \frac{\xi}{l_{ij}} \right) + r_3 \frac{\xi}{l_{ij}}; \quad r_3 = r_4 = \left(l - \frac{\eta}{l_{ik}} \right) + r_5 \frac{\eta}{l_{ik}}, \end{aligned} \right\} \quad (10.11)$$

где l_{ij} , l_{ik} – размеры граничного элемента между узлами i , j и k , l – соответственно. Учитывая, что

$$\left. \begin{aligned} \cos \alpha_1 &= x_{j,i}/l_{ij}; \quad \sin \alpha_1 = y_{j,i}/l_{ij}; \\ \cos \alpha_2 &= x_{k,i}/l_{ik}; \quad \sin \alpha_2 = y_{k,i}/l_{ik}, \end{aligned} \right\} \quad (10.12)$$

то

$$x_{im} = x_{ji} = x_3; \quad y_{im} = y_{ji} = y_3, \quad (10.13)$$

получим для i -го узла

$$\{r_i\} = [A]_i \cdot \{q_i\}; \quad \{e_i\} = [A]_i \cdot \{q_e\}. \quad (10.14)$$

В данном случае матрицы имеют следующий вид:

$$[A]_i = \frac{1}{\Delta_i} \begin{bmatrix} x_{kj} & y_{kj} & y_{ji} \\ x_{ki} & x_{ki} & x_{ij} \end{bmatrix} \quad (10.15)$$

$$\Delta_i = x_{ki} y_{ij} - x_{ij} y_{ki} \quad (10.16)$$

$$\left. \begin{aligned} \{r_i\} &= \{r_{4i}, \quad r_{5i}\}^T; \\ \{e_i\} &= \{e_{4i}, \quad e_{5i}\}^T; \\ \{q_i\} &= \{q_{1i}, \quad q_{2i}, \quad q_{3i}\}^T; \\ \{q_e\} &= \{q_{3i}, \quad q_{4i}, \quad q_{5i}\}^T \end{aligned} \right\} \quad (10.16)$$

Рис. 13. Характер конфигурации трапециoidalных составляющих первого приближения по границам элемента.

При реализации машинного алгоритма цепочкообразно вводить полный вектор узловых неизвестных для элемента, который имеет следующий вид:

$\{q\} = \{q_1, \quad q_2, \quad q_3, \quad q_4, \quad q_5\}_E$ – для треугольного элемента;

$\{q\} = \{q_1, \quad q_2, \quad q_3, \quad q_4, \quad q_5\}_T$ – для четырехугольного элемента.

Составление узлового вектора $\{q\}_m$ определяется видом решаемой задачи:

$\{q\}_m = \{q_1, \quad q_2\}_m$ – при решении плоской задачи теории упругости;

$\{q\}_m = \{q_3, \quad q_4, \quad q_5, \quad q_1\}_m$ – при решении задач изотермической пластичности;

$\{q\}_m = \{q_1, \quad q_2, \quad q_3, \quad q_4, \quad q_5\}_m$ – при исследовании поведения подкрепленных элементов конструкций.

Ввиду полного вектора узловых неизвестных, необходимо перестроить матрицу $[A]_i$, что делается элементарно.

Тогда зависимости (10.14) будут иметь вид

$$\{r_i\} = [A]_i \cdot \{q_i\}; \quad \{e_i\} = [A]_i \cdot \{q_e\}. \quad (10.17)$$

В дальнейшем будут использованы выражения, записанные для конкретной частной производной от функции в узловой точке и следующие из (10.17):

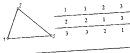
$$\left. \begin{aligned} e_{4i} &= [A]_{4i} \cdot \{q\}; \quad e_{5i} = [A]_{5i} \cdot \{q\}; \\ e_{3i} &= [A]_{3i} \cdot \{q\}; \quad e_{2i} = [A]_{2i} \cdot \{q\}. \end{aligned} \right\} \quad (10.18)$$

Для самого общего случая, когда вектор $\{q\}$ имеет размерность 6×4 , т. е. при исследовании поведения подкрепленных конструкций с применением четырехугольных элементов, матрица строки, входящие в систему (10.18), имеют вид

$$\left. \begin{aligned} [A]_{4i} &= \frac{1}{\Delta_4} [0 \quad x_{kj} \quad 0 \quad 0 \quad 0 \quad 0 \quad y_{kj} \quad 0 \quad 0]; \\ [A]_{5i} &= \frac{1}{\Delta_5} [x_{jk} \quad 0 \quad 0 \quad 0 \quad 0 \quad 0 \quad x_{ki} \quad 0 \quad 0]; \\ [A]_{3i} &= \frac{1}{\Delta_3} [0 \quad y_{kj} \quad 0 \quad 0 \quad 0 \quad 0 \quad 0 \quad y_{ji} \quad 0 \quad 0]; \\ [A]_{2i} &= \frac{1}{\Delta_2} [0 \quad x_{jk} \quad 0 \quad 0 \quad 0 \quad 0 \quad y_{ki} \quad 0 \quad 0]. \end{aligned} \right\} \quad (10.19)$$

Таблица 2 Таблица индексов для трехугольного элемента

Схема элемента	Номер узла в матрице координат	Таблица значений производных		
		1	2	3
	1	1	1	1
	2	2	1	1
	3	3	2	1



Все предыдущие рассуждения касались относительно 1-й узловой точки. Первое начальное координате в следующий угол, получаем аналогичные выражения для частных производных в другой узловой точке элемента. Для исключения ошибки рекомендуется использовать зеркальное отображение квадратичного варианта, для которого выше уже получены основные зависимости. В этом случае, если обозначать вершины элементов арабскими цифрами, индексы в зависимости (10.14) – (10.19) принимают чистоые значения, определяемые по табл. 2 и 3. Следует иметь в виду, что при переходе от узла к узлу индексы меняют свои значения во всех матрицах и векторах, входящих в матричные выражения.

Таблица 3 Таблица индексов для четырехугольного элемента

Схема элемента	Номер узла в матрице координат	Таблица значений производных			
		1	2	3	4
	1	1	2	3	4
	2	2	1	4	3
	3	3	4	1	2
	4	4	3	2	1



В первых столбцах табл. 2 и 3 отражены схема элемента и принятый порядок обозначения узлов. Числы вторых столбцов указывают на номер угла, совпадающего с началом координат. В остальных столбцах приведены значения, которые принимают индексы i , j , k , l в канонических выражениях для частных производных при сомножителе начала координат с соответствующими узлами.

Канонические выражения для определения вторых частных производных в i -м узле. При построении конкретных аналогов дифференциальных операторов второго порядка возможны два подхода. Один из них заключается в применении трехугольной схемы, которая была использована выше. Второй путь состоит в использовании четырехугольной схемы.

Трехугольная схема. Исходя из выражений (10.7) имеем

$$\left. \begin{aligned} \frac{\partial}{\partial x} \left(\frac{\partial w}{\partial x} \right)_i &= \left(\frac{\partial^2 w}{\partial x^2} \right)_i \cos \alpha_1 + \left(\frac{\partial^2 w}{\partial x \partial y} \right)_i \sin \alpha_1; \\ \frac{\partial}{\partial y} \left(\frac{\partial w}{\partial y} \right)_i &= \left(\frac{\partial^2 w}{\partial y \partial x} \right)_i \cos \alpha_1 + \left(\frac{\partial^2 w}{\partial y^2} \right)_i \sin \alpha_1. \end{aligned} \right\} \quad (10.20)$$

Полагая, что углы поворота $\frac{\partial w}{\partial x}$ и $\frac{\partial w}{\partial y}$ изменяются линейно вдоль сторон элемента, получим выражение для смешанной производной

$$\left. \begin{aligned} \left(\frac{\partial^2 w}{\partial x \partial y} \right)_i &= \frac{1}{2} \left\{ \left[\left(\frac{\partial w}{\partial x} \right)_j - \left(\frac{\partial w}{\partial x} \right)_k \right] \frac{1}{x_{ij}} + \left[\left(\frac{\partial w}{\partial y} \right)_j - \right. \right. \\ &\quad \left. \left. - \left(\frac{\partial w}{\partial y} \right)_k \right] \frac{1}{x_{kj}} + \frac{x_{ij}}{x_{ij}} \left(\frac{\partial^2 w}{\partial x^2} \right)_i + \frac{x_{kj}}{x_{kj}} \left(\frac{\partial^2 w}{\partial y^2} \right)_i \right\}. \end{aligned} \right\} \quad (10.21)$$

После исключения смешанной производной система (10.7) примет вид

$$\left. \begin{aligned} \left(\frac{\partial^2 w}{\partial x^2} \right)_i &= 2 \left[\frac{\partial}{\partial x} \left(\frac{\partial w}{\partial x} \right)_i \right] \cos \alpha_1 - \left(\frac{\partial^2 w}{\partial x^2} \right)_i \cos^2 \alpha_1 + \\ &\quad + \left(\frac{\partial^2 w}{\partial y^2} \right)_i \sin^2 \alpha_1; \end{aligned} \right\} \quad (10.22)$$

$$\left. \begin{aligned} \left(\frac{\partial^2 w}{\partial \eta^2} \right)_j &= 2 \left[\frac{\partial}{\partial \eta} \left(\frac{\partial w}{\partial \eta} \right)_j \cos \alpha_2 + \left(\frac{\partial^2 w}{\partial \xi^2} \right)_j \cos^2 \alpha_2 - \right] \\ &\quad - \left(\frac{\partial^2 w}{\partial \eta^2} \right)_j \sin^2 \alpha_2. \end{aligned} \right\} \quad (10.22)$$

Аппроксимируя нормальную составляющую перемещения по квадратичному ξ и η полиномами третьей степени: $w(\xi) = c_0 + c_1\xi + c_2\xi^2 + c_3\xi^3$, где $\xi = \xi, \eta$; c_i – производные параметры, подлежащие определению из условий совместности в узловых точках, можно записать

$$\begin{aligned} \left(\frac{\partial^2 w}{\partial \xi^2} \right)_j &= 6(w_j - w_i) \frac{\cos^2 \alpha_1}{x_{ij}^2} - 4 \left(\frac{\partial w}{\partial \xi} \right)_j \frac{\cos^2 \alpha_1}{\eta_{ij}} - 4 \left(\frac{\partial w}{\partial \eta} \right)_j \times \\ &\quad \times \frac{\sin^2 \alpha_1}{\eta_{ij}} - 2 \left(\frac{\partial w}{\partial \eta} \right)_j \frac{\cos^2 \alpha_1}{\eta_{ij}} - 2 \left(\frac{\partial w}{\partial \eta} \right)_j \frac{\sin^2 \alpha_1}{\eta_{ij}}; \end{aligned} \quad (10.23)$$

$$\begin{aligned} \left(\frac{\partial^2 w}{\partial \eta^2} \right)_j &= 6(w_k - w_l) \frac{\cos^2 \alpha_3}{x_{kl}^2} - 4 \left(\frac{\partial w}{\partial \eta} \right)_j \frac{\cos^2 \alpha_3}{x_{kl}} - 4 \left(\frac{\partial w}{\partial \eta} \right)_j \times \\ &\quad \times \frac{\sin^2 \alpha_3}{x_{kl}} - 2 \left(\frac{\partial w}{\partial \xi} \right)_k \frac{\cos^2 \alpha_3}{x_{kl}} - 2 \left(\frac{\partial w}{\partial \xi} \right)_k \frac{\sin^2 \alpha_3}{x_{kl}}. \end{aligned} \quad (10.24)$$

Подставив (10.23), (10.24) в систему (10.22), получим

$$e_{111} = [A_{11}]_i \{q\}; \quad e_{112} = [A_{11}]_j \{q\}; \quad (10.25)$$

$$e_{113} = [A_{11}]_k \{q\}.$$

Для треугольного элемента матрицы-строки, входящие в (10.25), имеют следующий вид:

$$\left. \begin{aligned} [A_{11}]_i &= \frac{1}{\Delta_j} [0 0 A_j^T B_j^T C_j^T 0 0 0 \\ &\quad A_j^T B_j^T C_j^T 0 0 0 A_k^T B_k^T C_k^T 0]; \\ [A_{11}]_j &= \frac{1}{\Delta_j} [0 0 A_i^T B_i^T C_i^T 0 0 0 \\ &\quad A_i^T B_i^T C_i^T 0 0 0 A_k^T B_k^T C_k^T 0], \end{aligned} \right\} \quad (10.26)$$

так

$$A_j = x_{jj}^2 F_{j,k}^2 - F_{j,l}^2 F_{k,k}^2. \quad (10.27)$$

При использовании четырехугольного элемента данные матрицы следует дополнить шестью краевыми элементами, так как вектор узловых коэффициентов достаточно неподвижным для четырех узловых точек.

Параметры, входящие в (10.26), определяются следующими зависимостями:

$$\left. \begin{aligned} A_i^T &= 6(F_{k,l}^2 + F_{l,j}^2); \quad B_j^T = 4x_{j,k}^2 F_{k,l}^2; \\ B_j^T &= 2(x_{j,l}^2 F_{k,l}^2 + 2x_{k,l}^2 F_{j,l}^2); \quad C_j^T = 2y_{j,l}^2 F_{k,l}^2; \\ C_j^T &= 2x_{k,l}^2 F_{j,l} (2x_{k,l} + y_{j,l}); \quad A_k^T = -6F_{j,l}^2; \\ A_j^T &= -6F_{k,l}^2; \quad B_k^T = 2x_{k,l}^2 F_{j,l}^2; \\ C_k^T &= 4x_{k,l}^2 F_{j,l}^2; \end{aligned} \right\} \quad (10.28)$$

$$\left. \begin{aligned} A_j^T &= 6(y_{j,l}^2 + F_{j,l}^2); \quad B_j^T = 4y_{j,l}^2 F_{k,l}^2; \\ B_j^T &= 2x_{j,l}^2 y_{k,l} (2x_{k,l} + x_{j,l}); \quad C_j^T = 2y_{j,l}^2 F_{k,l}^2; \\ C_j^T &= 2(F_{j,l}^2 F_{k,l} + 2x_{k,l}^2 F_{j,l}^2); \quad A_k^T = -6F_{j,l}^2; \\ A_j^T &= -6x_{j,l}^2; \quad B_k^T = 2x_{k,l}^2 F_{j,l}^2; \\ C_k^T &= 4y_{k,l}^2 F_{j,l}^2. \end{aligned} \right\} \quad (10.29)$$

Опыт реализации изложенной методики показывает, что при определении выражения для смешанной производной лучше использовать выражение (10.21), а выражениями, следующими из предположений о плавности углов поворота по границам рассматриваемого элемента. Тогда для i -го угла треугольного элемента можно записать, что

$$[M_{11}]_i = \frac{1}{2\Delta_j} [0 0 0 B_j^{DY} C_j^{DY} 0 0 0 0 B_j^{DY} C_j^{DY} 0 0 0 0 B_k^{DY} C_k^{DY} 0]. \quad (10.30)$$

так

$$\left. \begin{aligned} B_j^{DY} &= y_{k,l}; \quad C_j^{DY} = x_{k,l}; \\ C_j^{DY} &= x_{j,k}; \quad B_k^{DY} = x_{j,l}; \\ B_j^{DY} &= y_{j,l}; \quad C_k^{DY} = x_{j,l}. \end{aligned} \right\} \quad (10.31)$$

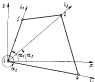


Рис. 14. К построению четырехугольной схемы определения частных производных функций в узловых точках.

также

$$\{e'_w\} = [C]_j \{e_w\}, \quad (10.32)$$

$$\begin{aligned} \{e'_w\} &= \left\{ \left(\frac{\partial^2 w}{\partial x^2} \right)_j, \left(\frac{\partial^2 w}{\partial y^2} \right)_j, \left(\frac{\partial^2 w}{\partial xy} \right)_j \right\}; \\ \{e_w\} &= \{e_{1111}, e_{1121}, e_{1131}\}; \\ [C]_j &= \begin{bmatrix} \cos^2 \alpha_j & 2 \cos \alpha_j \sin \alpha_j \sin^2 \alpha_j \\ 2 \cos \alpha_j \sin \alpha_j \sin^2 \alpha_j & \cos^2 \alpha_j \\ \cos^2 \alpha_j & 2 \cos \alpha_j \sin \alpha_j \sin^2 \alpha_j \end{bmatrix}. \end{aligned} \quad (10.33)$$

Из (10.32) следует

$$\{e'_w\}_j = [C]_j^{-1} \{e'_w\}_j. \quad (10.34)$$

Вектор $\{e'_w\}$ можно представить в виде матричного произведения

$$\{e'_w\} = [\delta], \{q\}, \quad (10.35)$$

где $\{q\}$ — полный вектор неизвестных для четырехугольного элемента.

Размерность матрицы $[\delta]$, определяется размерностью вектора $\{q\}$. Для случая, когда вектор неизвестных состоит из 24 определяемых параметров, матрица $[\delta]$ имеет вид

$$[\delta]_j = [a][b][c][d], \quad (10.36)$$

Для четырехугольного элемента матрицы (10.30), так же как матрицы (10.26), (10.27), должны быть пополнены нулевыми элементами.

Четырехугольная схема Четырехугольная схема может быть использована при определении вторых частных производных от искомой функции в узловых точках четырехугольного элемента. Для этого необходимо рассмотреть три однократные прямые, сходящиеся в одном узле (рис. 14).

По аналогии с предыдущим напишем

$$\left. \begin{aligned} \{e'_w\} &= [C]_j \{e_w\}, \\ [C]_j &= \begin{bmatrix} 0 & 0 & -6 & 4q_{ij} & 4p_{ij} & 0 \\ 0 & 0 & -6 & 4q_{ij} & 4p_{ij} & 0 \\ 0 & 0 & -6 & 4q_{ij} & 4p_{ij} & 0 \\ 0 & 0 & 6 & 2q_{ij} & 2p_{ij} & 0 \\ 0 & 0 & 0 & 0 & 0 & 0 \\ 0 & 0 & 0 & 0 & 0 & 0 \end{bmatrix}; \\ [C] &= \begin{bmatrix} 0 & 0 & 0 & 0 & 0 & 0 \\ 0 & 0 & 6 & 2q_{jk} & 2p_{jk} & 0 \\ 0 & 0 & 0 & 0 & 0 & 0 \\ 0 & 0 & 0 & 0 & 0 & 0 \\ 0 & 0 & 6 & 2q_{jk} & 2p_{jk} & 0 \end{bmatrix}; \\ [C] &= \begin{bmatrix} 0 & 0 & 0 & 0 & 0 & 0 \\ 0 & 0 & 0 & 0 & 0 & 0 \\ 0 & 0 & 0 & 0 & 0 & 0 \\ 0 & 0 & 0 & 0 & 0 & 0 \\ 0 & 0 & 6 & 2q_{ji} & 2p_{ji} & 0 \end{bmatrix}; \\ [C] &= \begin{bmatrix} 0 & 0 & 0 & 0 & 0 & 0 \\ 0 & 0 & 0 & 0 & 0 & 0 \\ 0 & 0 & 0 & 0 & 0 & 0 \\ 0 & 0 & 0 & 0 & 0 & 0 \\ 0 & 0 & 6 & 2q_{ji} & 2p_{ji} & 0 \end{bmatrix} \end{aligned} \right\} \quad (10.37)$$

Обратная матрица $[C]^{-1}$ в развернутом виде может быть представлена следующими матрицами единичек:

$$[C]^{-1} = \{ \{C_1\} \{C_2\} \{C_3\} \}. \quad (10.38)$$

Здесь

$$\left. \begin{aligned} \{C_1\} &= \frac{1}{\delta_1} \begin{bmatrix} 2q_{11}p_{11}(q_{11}p_{11} - x_{11}^2r_{11}) \\ x_{11}^2r_{11}^2 - x_{11}^2r_{11}^2 \\ 2q_{11}r_{11}(q_{11}p_{11} - x_{11}^2r_{11}) \\ 2r_{11}^2p_{11}(q_{11}p_{11} - x_{11}^2r_{11}) \\ 2r_{11}p_{11}(q_{11}p_{11} - x_{11}^2r_{11}) \end{bmatrix}; \\ \{C_2\} &= \frac{1}{\delta_2} \begin{bmatrix} x_{11}^2r_{11}^2 - x_{11}^2r_{11}^2 \\ 2q_{11}r_{11}(q_{11}p_{11} - x_{11}^2r_{11}) \\ 2r_{11}^2p_{11}(q_{11}p_{11} - x_{11}^2r_{11}) \\ 2r_{11}p_{11}(q_{11}p_{11} - x_{11}^2r_{11}) \\ 2q_{11}p_{11}(q_{11}p_{11} - x_{11}^2r_{11}) \end{bmatrix}; \\ \{C_3\} &= \frac{1}{\delta_3} \begin{bmatrix} 2q_{11}p_{11}(q_{11}p_{11} - x_{11}^2r_{11}) \\ x_{11}^2r_{11}^2 - x_{11}^2r_{11}^2 \\ 2q_{11}r_{11}(q_{11}p_{11} - x_{11}^2r_{11}) \\ 2r_{11}^2p_{11}(q_{11}p_{11} - x_{11}^2r_{11}) \\ 2r_{11}p_{11}(q_{11}p_{11} - x_{11}^2r_{11}) \end{bmatrix} \end{aligned} \right\} \quad (10.39)$$

$$\{G_1\} = \frac{1}{\delta_1} \left\{ \begin{array}{l} 2\delta_{f1}\delta_{kl} (\delta_{kl}\delta_{ff} - \delta_{ff}\delta_{kl}) \\ \delta_{ff}^2\delta_{kl}^2 - \delta_{kl}^2\delta_{ff}^2 \\ 2\delta_{f1}\delta_{kl} (\delta_{kl}\delta_{ff} - \delta_{ff}\delta_{kl}) \end{array} \right\};$$

$$b_f = 2 [\delta_{f1}\delta_{kl}\delta_{ff} (\delta_{kl}\delta_{ff} - \delta_{ff}\delta_{kl}) + \delta_{ff}^2\delta_{kl}(\delta_{ff}\delta_{kl} - \delta_{kl}\delta_{ff}) + \delta_{ff}^2\delta_{kl}\delta_{ff} (\delta_{kl}\delta_{ff} - \delta_{ff}\delta_{kl})]. \quad (10.40)$$

В большинстве случаев, особенно когда четырехугольник по форме блок в прямогульном элементе, четырехугольная схема горизонт для определения $\epsilon_{111}, \epsilon_{112}$. Для определения сечинской производной ϵ_{11} лучше использовать выражения (10.25), (10.30). Отметим и некоторые особенности треугольной схемы при использовании четырехугольных элементов. При построении интегрии жесткости используется базисный треугольный элемент. Тогда, представив четырехугольный элемент суммой двух треугольников (рис. 15, а) и определив производные $\epsilon_{11}, \epsilon_{12}, \epsilon_{21}, \epsilon_{22}, \epsilon_{111}, \epsilon_{112}, \epsilon_{222}$ на треугольной схеме, мы столкнемся с ситуацией, когда конкретно-элементная модель конструкции из изотропного материала может проявлять анизотропные свойства. Исключить указанный дефект расчетной модели можно с помощью повторной триангуляции (рис. 15, б) и назначения различным результатам. Но, если углы между двумя направлениями базисного треугольника будут малы, то точность треугольной схемы падает. Улучшить результаты можно, применив следующий прием. Допустим, для узла I треугольника IV (рис. 15, б) строится треугольная схема. Тогда за исходные направления следует бы брать направления, совпадающие с прямыми, соединяющими узлы I, J и I, L . Но углы между ними могут быть малы, что приведет к повышенной погрешности. Поэтому пишем обра, работая с треугольником IV, за исходные направления брать те, которые совпадают с прямыми, соединяющими узлы J, I и L, I четырехугольного элемента. Аналогично поступают и при определении производных от исходных функций в других узловых

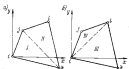


Рис. 15. Схема двойной триангуляции при построении интегрии жесткости четырехугольного элемента.

точек. Такой прием исключает возможность возникновения искусственной анизотропии свойств для прямогульного элемента, даже при использовании одинарной триангуляции. Совместное построение двойной триангуляции и последнего приема дают положительные результаты.

11. Аппроксимация компонентов перемещения точек подкрепленных ребер

Ребра жесткости, подкрепляющие конструкцию, могут быть произвольно расположены. Но при дискретизации конструкции необходимо предусмотреть, чтобы элементы ребер охватывали тот или иной элемент и не проходили平行 to его поле. Это условие позволяет жестко связать перемещения точки ребра с перемещениями краев элемента, для которых аппроксимирующие полиномы уже выбраны. Однозначность аппроксимирующих полиномов приводит к однозначности выражений для частных производных по направлениям, совпадающим с осьми ребер. Рассмотрим ребро, произвольно ориентированное в плоскости $\bar{x}\bar{y}$ (рис. 16). Тогда параметры, аппроксимирующие компоненты перемещения точки ребра, могут быть выбраны в виде

$$q_p(t) = q_{1p} \left(-\frac{t}{l_p} \right) + q_{2p} \frac{t}{l_p}$$

— для аппроксимации продольного перемещения;

$$w(t) = \sum_{i=1}^4 q_i \beta_i(t)$$

— для аппроксимации вершинной точки в поперечном направлении. Здесь приведены следующие обозначения:

$$q_1 = w_{pl}; \quad q_2 = \left(\frac{\partial w}{\partial t} \right)_{pl};$$

$$q_3 = w_{pr}; \quad q_4 = \left(\frac{\partial w}{\partial t} \right)_{pr};$$

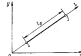


Рис. 16. Элемент ребра жесткости.

$$\beta_1(t) = 1 - \frac{t^2}{l_p^2} + \frac{t^3}{l_p^3}; \quad \beta_2(t) = t - \frac{t^2}{l_p^2} + \frac{t^3}{l_p^3};$$

$$\beta_3(t) = \frac{t^2}{l_p^2} - \frac{t^3}{l_p^3}; \quad \beta_4(t) = -\frac{t^2}{l_p^2} + \frac{t^3}{l_p^3}.$$

Частные производные по направлениям x_1 и y_1 легко определяются с помощью зависимостей (10.10), т. е. переход к общей системе координат не вызывает затруднений.

§ 12. Критерии однодимости при низационной аппроксимации элементов функционалов

Прежде чем сформулировать основные критерии однодимости, воспользовавшись особенностями аппроксимации, принятой в книге омом алгоритме:

а. Используются низационные аппроксимации якорных функций и их производных с помощью единобразных координатных функций.

б. Принятый характер аппроксимации требует выполнения условий совместности только в узловых точках элемента.

Тогда в соответствии с отмеченным выше сформулируем основные критерии однодимости, выполнение которых должно быть обязательным:

1. Координатные функции должны быть линейно независимыми и соединены на концах полиномом линии стяжки.

2. Координатные функции для компонентов полного перемещения должны обеспечивать геометрические возможности перемещения в пределах всего элемента с сохранением условий непрерывности самой функции и производных ее смежными элементами.

3. Координатные функции, характеризующие закон изменения линий производной от якорной функции в пределах элемента, могут быть установлены независимо от функции, дающей распределение в пределах элемента $(m-1)$ -й производной. При этом должны быть выполнены следующие обязательные условия:

а) координатные функции линий производной от якорной функции должны отражать естественный характер деформирования и стремиться к постоянному значению при уменьшении сторок элемента;

б) выражения для линий производной от якорной функции в узловых точках должны давать значения, стремящиеся к точкам, при уменьшении сторок элемента;

в) при узловых перемещениях, отвечающих условию постоянной деформации, это состояние должно реализоваться в элементе;

г) при узловых перемещениях элемента, вызванных его смещением как жесткого тела, не должны возникать деформации элемента.

Назовемые условия идентичны условиям однодимости, о которых говорилось выше. Но здесь не фигурирует необходимость обходления неизвестности ($m-1$)-й производной по границам элемента, если высшая производная m -го порядка. Использование низационной аппроксимации освобождает нас от обходления этого условия и резко упрощает процесс построения матриц жесткости.

ПРОСТЕЙШИЕ СХЕМЫ АППРОКСИМАЦИИ ПРИ ПОСТРОЕНИИ МАТРИЦ ЖЕСТКОСТИ ПОДДЕРЖАННЫХ ЭЛЕМЕНТОВ. ПРИМЕРЫ РЕШЕНИЯ ЗАДАЧ

§ 13. Линейная и квадратичная аппроксимации элементов функционала

Выше отмечалась сложность получения аппроксимирующих полиномов для функций $v(x, y)$, $r(x, y)$ и $w(x, y)$, удовлетворяющих всем условиям сходимости. Если допустить, что они преодолены, то, даже в этом случае, процесс программирования алгоритма формирования матриц жесткости может быть довольно громоздким и трудоемким. Прежде всего это связано с большим количеством операций дифференцирования и интегрирования функций в пределах области производственного ядра.

Рассмотрим этот путь формирования матриц жесткости на примере использования функционала

$$\begin{aligned} 23(u, v, w) = & \int \int \left[D_{11}^2 \left(\frac{\partial u}{\partial x} - k_1 w \right)^2 + D_{12}^2 \left(\frac{\partial v}{\partial y} - k_2 w \right)^2 + 2D_{13}^2 \times \right. \\ & \times \left(\frac{\partial u}{\partial x} - k_1 w \right) \left(\frac{\partial v}{\partial y} - k_2 w \right) + D_{11}^2 \left(\frac{\partial u}{\partial y} + \frac{\partial v}{\partial x} \right)^2 + D_{13}^2 \left(\frac{\partial^2 w}{\partial x^2} \right)^2 + \\ & + D_{12}^2 \left(\frac{\partial^2 w}{\partial y^2} \right)^2 + 2D_{12}^2 \frac{\partial^2 w}{\partial x^2} \frac{\partial^2 w}{\partial y^2} + 4D_{13}^2 \left(\frac{\partial^2 w}{\partial x \partial y} \right)^2 - 2Q_x u - 2Q_y v - \\ & \left. - 2Q_z w \right] dxdy, \end{aligned} \quad (13.1)$$

следующего из (7.11), (7.12).

Если рассматривать элемент треугольной формы в качестве вектора узловых неизвестных принять $\{q\}_i = \{q_1 q_2 q_3 q_4 q_5\}$, то можно записать, что

$$\left. \begin{aligned} q_1 &= u(x_i, y) = \sum_{j=1}^{15} \mathcal{F}_j(x_i, y) q_j; \\ q_2 &= v(x_i, y) = \sum_{j=1}^{15} \mathcal{F}_j(x_i, y) q_j; \\ q_3 &= w(x_i, y) = \sum_{j=1}^{15} \mathcal{F}_j(x_i, y) q_j. \end{aligned} \right\} \quad (13.2)$$

Тогда энергия деформации треугольного элемента легко представить в виде

$$23(u, v, w) = \sum_{m=1}^{15} \sum_{n=1}^{15} k_{mn} q_m q_n, \quad (13.3)$$

где

$$\begin{aligned} k_{mn} = & \int \int \left[D_{11}^2 \frac{\partial \mathcal{F}_m}{\partial x} \frac{\partial \mathcal{F}_n}{\partial x} + D_{12}^2 \frac{\partial \mathcal{F}_m}{\partial y} \frac{\partial \mathcal{F}_n}{\partial y} + D_{13}^2 \left(\frac{\partial \mathcal{F}_m}{\partial x} \frac{\partial \mathcal{F}_n}{\partial y} + \frac{\partial \mathcal{F}_m}{\partial y} \frac{\partial \mathcal{F}_n}{\partial x} \right) \right. \\ & \times \frac{\partial \mathcal{F}_m}{\partial y} \left. \right) + D_{11}^2 \left(\frac{\partial \mathcal{F}_m^2}{\partial y} \frac{\partial \mathcal{F}_n^2}{\partial y} + \frac{\partial \mathcal{F}_m^2}{\partial y} \frac{\partial \mathcal{F}_n^2}{\partial x} + \frac{\partial \mathcal{F}_m^2}{\partial x} \frac{\partial \mathcal{F}_n^2}{\partial y} + \frac{\partial \mathcal{F}_m^2}{\partial x} \frac{\partial \mathcal{F}_n^2}{\partial x} \right) - \\ & - (D_{11}^2 k_1 + D_{12}^2 k_2) \left(\frac{\partial \mathcal{F}_m^2}{\partial x} \mathcal{F}_n^2 + \frac{\partial \mathcal{F}_n^2}{\partial x} \mathcal{F}_m^2 \right) - (D_{12}^2 k_1 + D_{13}^2 k_3) \left(\frac{\partial \mathcal{F}_m^2}{\partial y} \mathcal{F}_n^2 + \right. \\ & \left. + \frac{\partial \mathcal{F}_n^2}{\partial y} \mathcal{F}_m^2 \right) + (D_{11}^2 k_1 + 2D_{12}^2 k_1 k_2 + D_{13}^2 k_1^2) \mathcal{F}_m^2 \mathcal{F}_n^2 + D_{11}^2 \frac{\partial^2 \mathcal{F}_m^2}{\partial x^2} \frac{\partial^2 \mathcal{F}_n^2}{\partial x^2} + \\ & + D_{12}^2 \left(\frac{\partial^2 \mathcal{F}_m^2}{\partial x^2} \frac{\partial^2 \mathcal{F}_n^2}{\partial y^2} + \frac{\partial^2 \mathcal{F}_m^2}{\partial x^2} \frac{\partial^2 \mathcal{F}_n^2}{\partial x \partial y} + \frac{\partial^2 \mathcal{F}_m^2}{\partial y^2} \frac{\partial^2 \mathcal{F}_n^2}{\partial y \partial x} \right) + 4D_{12}^2 \frac{\partial^2 \mathcal{F}_m^2}{\partial x \partial y} \frac{\partial^2 \mathcal{F}_n^2}{\partial x \partial y} + D_{13}^2 \times \\ & \times \left. \frac{\partial^2 \mathcal{F}_m^2}{\partial y^2} \frac{\partial^2 \mathcal{F}_n^2}{\partial y^2} \right] dxdy. \end{aligned} \quad (13.4)$$

Коэффициенты k_{mn} являются элементами исходной матрицы жесткости. Для их получения необходимо предусмотреть специальный алгоритм формирования выражения вида (13.2). В случае элементов производной треугольной или четырехугольной формы возникает необходимость решения системы уравнений для определения коэффициентов полиномов. Этому необходимо запрограммировать и осуществить машинные операции дифференцирования этих функций и, наконец, вычисление операций интегрирования. В этом случае возможен как точечный, так и численный интегрирование. Но так или иначе, необходимо отметить, что несмотря на возможность полностью автоматизировать процесс формирования матриц жесткости, разработанный алгоритм имеет недостаток. Дело в том,

что для выполнения всех операций, необходимых при построении матриц жесткости, требуется большая затрата машинного времени. В первую очередь это связано с процессом построения нескольких полиномов для аппроксимации, необходимостью дифференцирования и интегрирования большого числа функций.

Алгоритм, предложенный во второй главе, в большинстве случаев свободен от этих недостатков. Рассмотрим первые два варианта построения матриц жесткости элементов.

В целях простоты изложения будем рассматривать процесс построения матриц на примере решения плоской задачи теории упругости в задаче изгиба пластин. Алгоритмы формирования матрицы жесткости обобщены для изложенного ниже.

Первый вариант. Линейная аппроксимация элементов функционала. Такой вид аппроксимации может применяться в случае использования элементов треугольной формы (см. рис. 1.1). При решении плоской задачи теории упругости исходный функционал имеет вид

$$\mathcal{E}(u, v) = \frac{1}{2} \int \int [D_{11}e_1^2 + 2D_{12}e_1e_2 + D_{22}e_2^2 + D_{13}(r_1 + r_2)^2] dxdy, \quad (13.5)$$

В пределах рассматриваемого треугольника введем следующие аппроксимации:

$$e_R = A_{0R} + A_{1R}x + A_{2R}y, \quad (13.6)$$

где A_0 , A_1 , A_2 будут определять из условий в узлах элемента

$$e_R(x_i, y_i) = e_{Rj}, \quad i=1, 2, 3. \quad (13.7)$$

Решив систему (13.7), получим

$$e_R(x, y) = e_{R1}\vartheta_1(x, y) + e_{R2}\vartheta_2(x, y) + e_{R3}\vartheta_3(x, y), \quad (13.8)$$

где $\vartheta(x, y)$ – определяются выражениями (8.19).

Подставив (13.8) в (13.5) и пронтегрировав в пределах каждого треугольного элемента, приходим к следующему выражению для потенциальной энергии деформации:

$$U = \sum_{\mu=1}^M \sum_{k=1}^3 \sum_{r=1}^3 [D_{11}^k e_{kk}^2 + 2D_{12}^k e_{kk}e_{rr} + D_{22}^k e_{rr}^2 + D_{13}^k(r_{kk} + r_{rr} + 2r_{kr})^2] S_{kr}, \quad (13.9)$$

где M – общее число элементов, представляющих в совокупности исследуемую область; k , r – номера узлов в пределах треугольного

элемента; $S_{kr} = \int \int \vartheta_k(x, y)\vartheta_r(x, y) dx dy$ – интеграл от произведения функций ϑ_k и ϑ_r в пределах элемента.

Таким образом, в результате линейной аппроксимации элементов функционала (13.5) мы избежали дифференцирования исходной функции в пределах элемента и свели задачу к дифференцированию в узлах.

Так как основными узловыми величинами являются параметры x и y , непрерывность которых обеспечивается в силу специфики составления системы разрешающих уравнений в методе конечных элементов, то первые производные от x и y в узловых точках будут иметь конечные разрывы непрерывности, стремящиеся к нулю при уменьшении размеров элементов. Правда, это будет достигаться при условии корректности выражений для частных производных от исходных функций в узловых точках. В рассматриваемом случае эти выражения определяются зависимостями (10.14) и (10.18), т. е.

$$\begin{cases} \vartheta_x \\ \vartheta_y \end{cases} = [A_u] \{q\}; \quad \begin{cases} \vartheta_x \\ \vartheta_y \end{cases} = [A_v] \{q\}. \quad (13.10)$$

Выражения (13.10) получены из строгих исходных зависимостей, ставящих из условия дифференцирования функций по некоторому направлению, и предположения о плавности изменения функций в пределах каждого элемента.

Используя зависимости видов (13.2), можно выражение (13.8) переписать в более компактной форме

$$e_R(x, y) = \sum_{j=1}^6 \vartheta_{Rj} q_j. \quad (13.11)$$

В рассматриваемом случае целесообразно использовать узеленный вектор неизвестности

$$\{q\} = \{q_{11} \ q_{12} \ q_{13} \ q_{21} \ q_{22} \ q_{23}\}. \quad (13.12)$$

Тогда в функциях ϑ_R исчезнут нулевые коэффициенты, сохранение которых обязательно при воспроизведении напряженно-деформированного состояния оболочек или подкрепленных пластин.

При применении узеленного вектора $\{q\}$ первый член под знаком суммы в выражении (13.11) равен нулю, т. е.

$$e_R(x, y) = \sum_{j=2}^6 \vartheta_{Rj} q_j. \quad (13.13)$$

Задачи функции \mathcal{E}_M уже имеют более компактный вид и записываются, как и прежде, линейными относительно координат x, y . Используя аппроксимирующие полиномы (13.13), легко определить коэффициенты матрицы жесткости треугольного элемента в случае решения плоской задачи теории упругости:

$$K_{mn} = \iint_{\Delta} [B_{11}^T B_{mn} B_{11} + B_{11}^T (B_{4mn} B_{11} + B_{4m} B_{11n}) + B_{11}^T B_{3mn} B_{11} + B_{11}^T B_{2mn} B_{11}] \times \\ \times (B_{1m} B_{1n} + B_{2m} B_{1n} + B_{3m} B_{1n} + B_{4m} B_{1n}) dxdy, \quad (13.14)$$

Следующей частью рассмотренного алгоритма является простота реализации. Если сравнить (13.14) с соответствующими выражениями (13.4), то в первую очередь можно заметить отсутствие операций дифференцирования. Примеч., как было показано выше, полиномы \mathcal{E}_1 и \mathcal{E}_2 легко определяются в явном виде и имеют очень простой вид. Отсутствие операций дифференцирования исключает функций из необходимости соблюдения совместности функций и их производных более высокого порядка, чем производные, входящие в функционалы. Правда, рассматриваемый пример менее характерен, поскольку при решении плоской задачи теории упругости с помощью симплексных элементов особых сложностей не возникает и при использовании традиционных преслов. В этом отношении более показательным является следующий пример.

Рассмотрим решение задачи изгиба пластины. Для жестких изогнувших пластин, загруженных поперечной нагрузкой, при определении потенциальной энергии деформации можно воспользоваться выражением

$$V = \frac{D}{2} \iint_{\Delta} [(V^2 e_1)^2 + 2(1+\nu)(e_1^2 - e_{11} e_{11})] dxdy, \quad (13.15)$$

где $D = Eh^3 / (12(1-\nu^2))^{-1}$; E — модуль пластины; ν — коэффициент Пуассона.

Более подробно рассмотрим аппроксимацию области с помощью треугольных элементов. Как и в предыдущем случае, можно записать, что

$$\left. \begin{aligned} e_1 &= \sum_{k=1}^3 e_{1k} \mathcal{B}_k(x, y); \\ e_{11} &= \sum_{k=1}^3 e_{11k} \mathcal{B}_k(x, y); \\ e_{111} &= \sum_{k=1}^3 e_{111k} \mathcal{B}_k(x, y); \\ e_{1111} &= \sum_{k=1}^3 e_{1111k} \mathcal{B}_k(x, y). \end{aligned} \right\} \quad (13.16)$$

Тогда выражение для полной энергии системы будет иметь вид

$$K = \sum_{j=1}^M \sum_{k=1}^3 \sum_{l=1}^3 \frac{\partial}{\partial x} [V_{111k} e_{111k} + 2V_{11k} e_{11k} + 2(1-\nu) e_{11k} e_{111k}] + \\ + e_{111k} e_{111l} - 20k V_M |S_{kl}|. \quad (13.17)$$

Здесь попарная нагрузка также представлена в виде

$$Q(x, y) = \sum_{k=1}^3 Q_k \mathcal{B}_k(x, y). \quad (13.18)$$

Задачи на данном этапе сводятся к нахождению вторых частных производных в узловых точках, что можно легко сделать с помощью зависимостей (9.28), (9.32). Тогда выражения (13.16) будут представлены функциональной зависимостью от исходных обобщенных перемещений, т.е.

$$\left. \begin{aligned} e_1 &= \sum_{j=1}^M \mathcal{B}_{1j}(x, y) q_j; \\ e_{11} &= \sum_{j=1}^M \mathcal{B}_{11j}(x, y) q_j; \\ e_{111} &= \sum_{j=1}^M \mathcal{B}_{111j}(x, y) q_j; \\ e_{1111} &= \sum_{j=1}^M \mathcal{B}_{1111j}(x, y) q_j. \end{aligned} \right\} \quad (13.19)$$

Следовательно, вектор узловых координат q имеет вид

$$\{q\}_m = \{q_{1m} \ q_{2m} \ q_{3m}\}. \quad (13.20)$$

Коэффициенты матрицы жесткости изгибного элемента пластины могут быть выражены из зависимости

$$K_{mn} = D \iint_{\Delta} [3_{11m} B_{11n} + 3_{11m} B_{13n} + 3_{11m} B_{31n} + 3_{11m} B_{33n} + 2(1-\nu) \times \\ \times (B_{12m} B_{12n} - 0.5 B_{11m} B_{13n} - 0.5 B_{11m} B_{31n})] dxdy. \quad (13.21)$$

Возвращаясь к выражению (13.17), следует заметить, что все операции по определению коэффициентов матриц жесткости в рассматриваемом

случае сводится к перемножению коэффициентов элементарных биарифических матриц и вычислению простейших интегралов $K_{\text{эле}}$ в пределах области конкретного элемента.

Второй вариант. Квадратичная аппроксимация. Линейный закон аппроксимации можно использовать в явном виде лишь для элементов треугольной формы. Уже для произвольного четырехугольного элемента приходится использовать более высокую степень аппроксимации, например: $w(x, y) = c_0 + c_1x + c_2y + c_3xy$. В этом случае проявляется неизолоченное слагаемое c_3xy , которое в итоге приведет к разрыву прогабов смежных элементов по их границам контакта. С уменьшением размеров элементов разрывы будут стремиться к нулю, но складность в этом случае будет недостаточно хорошей.

Чтобы не сталкиваться с такими обстоятельствами при использовании четырехугольного элемента, воспользуемся квадратичной аппроксимацией. Рассмотрим произвольный четырехугольный элемент и выделим в его пределах область, ограниченную двумя сторонами элемента и прямой, которая соединяет два угла, принадлежащих этим сторонам (рис. 15). В пределах полученного треугольника с вершинами i_1, i_2, k будем использовать линейную аппроксимацию соответствующих функций. Тогда, выполнив все операции, подобно описанным выше, получим первые коэффициенты матрицы жесткости четырехугольного элемента. Аналогично поступаем, анализируя треугольные элементы с вершинами $(i_1, i_2, k), (k, i_3, i)$ и (i, i_3, i_1) в составе рассматриваемого четырехугольного элемента. В итоге мы придем к полной матрице жесткости произвольного треугольного элемента, коэффициенты которой определяются зависимостью

$$K_{\text{эле}} = 0,5(K_{\text{эле}}^1 + K_{\text{эле}}^2 + K_{\text{эле}}^3 + K_{\text{эле}}^4). \quad (13.22)$$

Здесь $K_{\text{эле}}^1(i_1, i_2, k)$ — коэффициенты матрицы жесткости треугольных элементов, для которых начертано координаты выбрано в точках i_1, i_2, k , соответственно. Значения коэффициентов $K_{\text{эле}}$ определяются из зависимостей типа (13.14) или (13.21). Коэффициент 0,5 в (13.22) учитывает, что область четырехугольника перекрывается треугольными элементами дважды. Таким образом, линейная аппроксимация в пределах каждого треугольника трансформируется в квадратичную в составе элемента. При такой аппроксимации, если соблюдается непрерывность некоторой функ-

ции в узловых точках, сохраняется непрерывность и по границам между смежными элементами.

Таким образом, можно сделать следующие замечания. В отличие от алгоритма, в котором собирается естественный порядок операций, т. е.

$$w(x, y) \rightarrow \frac{\partial w}{\partial x_i} + \frac{\partial^2 w}{\partial x_i \partial y} \rightarrow J = J \left(c_0 \frac{\partial w}{\partial x_i}, \frac{\partial^2 w}{\partial x_i \partial y} \right), \quad i, j = 1, 2,$$

в рассматриваемом случае используется линейная аппроксимация элементов функционала, которыми являются компоненты полного перемещения и соответствующие частные производные от них. При таком подходе удаётся проверять все критерии однотности, рассмотренные в предыдущей главе.

Если бы функционал (13.13) содержал первые производные от пропа- ба, то закон распределения их также следует выбрать вида

$$\frac{\partial w}{\partial x_i} = c_0 + c_1x + c_2y, \quad i = 1, 2$$

в пределах треугольного участка элемента, т. е. Непрерывность первых производных вдоль контура элемента произвольной формы будет обеспечена. Но она не будет в общем случае выполнена, если для определения

функции $\frac{\partial w}{\partial x_i}$ использовать обратные операции, т. е. если $\frac{\partial w}{\partial x_i}$ опреде- лять во операции

$$\frac{\partial w}{\partial x_i} = \int_j \frac{\partial^2 w}{\partial x_i \partial y} dy + c_i$$

Исходя из линейной аппроксимации слагаемых функционала в пределах треугольного участка элемента трапециoidalной четырехугольной формы, очень легко определить вид полиномов Эрнста, описывающих характер изменения составляющих функционала в пределах части четырехугольного элемента.

§ 14. L -координаты. Искусственный оператор минимизированного интегрирования функций

Применение квазилинейной аппроксимации редко сокращает объем необходимых вычислений, но избежать необходимости интегрирования функций при произвольной форме элемента в этом случае не удастся. Применение L -координат при описании законов изменения соответствующих функций позволяет сократить и эти операции до минимума.

Для треугольного элемента наиболее распространенной является естественная система координат, определяемая тремя относительными координатами L_1 , L_2 и L_3 , изображенным на рис. 17. Каждая координата представляет собой отношение расстояния от выбранной точки треугольника по одной из его сторон к ее высоте h , опущенной на эту сторону из противолежащей вершины (рис. 17, а). Ясно, что величина L_i изменяется в пределах от нуля до единицы. В тех же пределах изменяются L_2 и L_3 . На рис. 17, б показаны линии, вдоль которых L_i постоянны во времени. Каждые пять параллельных сторон, от которой нумеруются L_1 . Координаты L_1 , L_2 и L_3 называются L -координатами. Из значения дроби относительных величин площадей треугольников, на которые разбит элемент, L -координаты точки K (рис. 17, в) представляют собой площади треугольников, изображенных на рис. 17, в. Площадь F треугольника (i, j, k) дается формулой: $F = h i / 2$.

Площадь треугольника F_{ij} (i, j, k) равна: $F_{ij} = h i / 2$. Составим отношение этих площадей: $F_{ij}/F = i/h = L_1$.

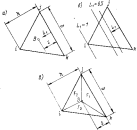


Рис. 17. L -координаты для треугольного элемента.

Изюк, координата L_1 , представляет собой отношение площади треугольника F_{ij} на рис. 17, в к площади всего треугольного элемента.

Аналитические формулы могут быть записаны для L_1 и L_3 : $L_1 = F_{ij}/F$; $L_3 = F_{ik}/F$. Так как

$$L_1 + L_2 + L_3 = 1, \quad (14.1)$$

то $L_1 + L_2 + L_3 = 1$. Уравнение (14.1) связывает между собой три координаты. Применением использования L -координат является существование интегральных формул, которые упрощают до минимума вычисления интегралов над всей поверхностью элемента и по его площади [12, 33]:

$$\int L_1^a L_2^b dL = \frac{a! b!}{(a+b+1)!} \cdot L_1, \quad (14.2)$$

$$\int \int L_1^a L_2^b L_3^c dS = \frac{a! b! c!}{(a+b+c+2)!} \cdot S. \quad (14.3)$$

Как и при квазилинейной аппроксимации, матрицу жесткости четырехугольного элемента будем строить исходя из базисного треугольного элемента, в пределах которого закон изменения функций и их частных производных линеен. Ограничевшись рассмотрением изогнутого элемента, можно записать

$$x_R = L_1 x_{R1} + L_2 x_{R2} + L_3 x_{R3}, \quad (14.4)$$

Так как узловые значения частных производных определяются каноническими соотношениями (10.18), (10.26), то

$$r_{Rj} = \sum_{i=1}^3 \partial_{Rj}(L_1, L_2, L_3) q_i, \quad (14.5)$$

где $\partial_{Rj}(L_1, L_2, L_3) = k_{1j} L_1 + k_{2j} L_2 + k_{3j} L_3$, k_{rj} — коэффициенты матрицы [4].

Коэффициенты матрицы жесткости определяются из тех же выражений, что и при квазилинейной аппроксимации. Значения же интегралов в этом случае легко определяются из выражения (14.3).

Одним из важных особенностей использования L -координат при решении задач на основе функционала второго порядка в данном случае является отсутствие необходимости дифференцирования по декартовым координатам, т. е. отсутствие операции

$$\frac{\partial}{\partial x_i} = \frac{\partial L_1}{\partial x_i} \frac{\partial}{\partial L_1} + \frac{\partial L_2}{\partial x_i} \frac{\partial}{\partial L_2} + \frac{\partial L_3}{\partial x_i} \frac{\partial}{\partial L_3}.$$

Это разное сокращает объем вычислений и приводит к наиболее явному проявлению преимущества L -координат. При реализации этого алгоритма высшей операцией является перемножение составляющих матриц строк, что само по себе элементарно.

При использовании L -координат, так же как и при линейной аппроксимации, необходимо соблюдать условие непрерывности функций по границам между смежными элементами, если в узловых точках это условие является истинным. Покажем, что непрерывность функций при такой постановке гарантирована [33]. Рассмотрим для смежных элементов (рис. 18). Начало системы координат поместим в i -м узле. Обозначим узловые значения некоторой функции через e_i , e_j , e_k и e_l . Аппроксимирующие функции для e имеют вид

$$\left. \begin{aligned} e_{(1)} &= L_1^1 e_i + L_2^1 e_j + L_3^1 e_k; \\ e_{(2)} &= L_1^2 e_i^2 + L_2^2 e_j^2 + L_3^2 e_k^2; \end{aligned} \right\} \quad (14.6)$$

L -координаты L_3^1 и L_3^2 варьируются от общей грани, поэтому взять эти грани $L_1 = L_2 = 0$. Согласно (14.6) в точках общей грани способы к следующим:

$$\left. \begin{aligned} e_{(1)} &= L_1^1 e_i^2 + L_2^1 e_j^2 + L_3^1 e_k^2 + (1 - L_3^1)e_l^2; \\ e_{(2)} &= L_1^2 e_i^2 + L_2^2 e_j^2 + L_3^2 e_k^2 + (1 - L_3^2)e_l^2; \end{aligned} \right\} \quad (14.7)$$

так как $L_1^1 + L_2^1 = 1$ и $L_1^2 + L_2^2 = 1$.

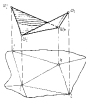


Рис. 18. Непрерывность функции вдоль общей грани двух смежных элементов.

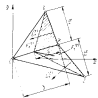


Рис. 19. Заданная L -вектором в точках грани смежных.

Рассмотрим произвольную точку общей грани, которая расположена на расстояние a от i -го узла (рис. 19). Отношения $F(1)/F(1)$ и $F(2)/F(2)$ равны величине a/b и, следовательно, равны между собой. Указанные отношения представляют собой такие частные значения L -координат L_1 и L_2 , откуда можно заключить, что $L_1 = L_2$; для произвольной точки общей грани. Используя это равенство в формуле (14.7), получаем, что вектор задол грани $e_{(1)} = e_{(2)}$, что и требовалось доказать.

§ 35. Минимальный алгоритм формирования матрицы производных по конечных функций

При формировании матриц жесткости можно использовать несколько вариантов алгоритма. Одним из них является последовательное формирование массивов частных производных во время их использования на самой или иной этапе построения матрицы жесткости. Другим – предварительное формирование всего массива частных производных. В данном случае опираемся на второй вариант, требующий минимального количества промежуточных операций в процессе формирования матрицы жесткости.

Предположим, что необходимо построить матрицу жесткости четырехугольного элемента (рис. 15), работающего в составе системы, испытывающей действие поперечной нагрузки. В этом случае для определения коэффициентов матрицы жесткости можно воспользоваться выражением

$$(13.17) \quad \text{и условием минимума полной энергии системы } \frac{\partial J}{\partial q_i} = 0.$$

В соответствии с характером выражения (13.17) прежде всего необходимо сформировать массу частных производных функций $\psi(x, y)$ в узлах элемента i, j, k, l . Для этого воспользуемся каноническим выражением (10.26) – (10.31).

Учитывая, что при решении таких задач вектор узловых неизвестных можно взять в виде

$$\{q\} = \{q_i, q_j, q_k\}, \quad (15.1)$$

упростим матричные выражения (10.26), (10.29):

$$\left. \begin{aligned} [A_{11}]_I &= \frac{1}{S_I} \left[A_I^T B_I^T C_I^T A_I^T B_I^T C_I^T \right. \\ &\quad \left. A_I^T B_I^T C_I^T \quad 0 \quad 0 \quad 0 \right]; \\ [A_{12}]_I &= \frac{1}{2 \Delta_I} \left[0.8 B_I^{1P} C_I^{1P} \otimes B_I^{2P} C_I^{2P} \right. \\ &\quad \left. 0 \quad B_I^{1P} C_I^{2P} \quad 0 \quad 0 \quad 0 \right]; \\ [A_{13}]_I &= \frac{1}{S_I} \left[A_I^T B_I^T C_I^T A_I^T B_I^T C_I^T \right. \\ &\quad \left. A_I^T B_I^T C_I^T \quad 0 \quad 0 \quad 0 \right]; \end{aligned} \right\} \quad (15.2)$$

Коэффициенты A_{ij} , B_{ij} , C_{ij} определяются из зависимостей (10.28), (10.29), (10.31). Под коэффициентами матрицы [A] отведен массивы размерностью 1x48 (каждый, предварительно очищая их от предыдущей информации). Здесь в памяти хранят все массивы приведены линейными, что создает большую гибкость в обращении с ними.

В рассматриваемом параграфе мы же будем предвзято считать формальную строгость программирования. Напомним лишь алгоритм машинной программы. Прежде всего необходимо запрограммировать канонические выражения (10.28), (10.29), (10.31), предварительно разбив их на строки и присвоив уставшим адреса каждому элементу канонического выражения:

$$\left. \begin{aligned} A_{11}(M) &= \frac{1}{\delta_j} A_j^S; & A_{13}(M) &= \frac{1}{\delta_j} A_j^P; \\ A_{11}(M+1) &= \frac{1}{\delta_j} B_j^S; & A_{13}(M+1) &= \frac{1}{\delta_j} B_j^P; \end{aligned} \right\}$$

$$A_{11}(M+2) = \frac{1}{\delta_j} C_j^S; \quad A_{13}(M+2) = \frac{1}{\delta_j} C_j^P;$$

$$A_{11}(N) = \frac{1}{\delta_j} A_j^S; \quad A_{13}(N) = \frac{1}{\delta_j} A_j^P;$$

$$A_{11}(N+1) = \frac{1}{\delta_j} B_j^S; \quad A_{13}(N+1) = \frac{1}{\delta_j} B_j^P;$$

$$A_{11}(N+2) = \frac{1}{\delta_j} C_j^S; \quad A_{13}(N+2) = \frac{1}{\delta_j} C_j^P;$$

$$A_{11}(L) = \frac{1}{\delta_j} A_k^S; \quad A_{13}(L) = \frac{1}{\delta_j} A_k^P; \quad (15.3)$$

$$A_{11}(L+1) = \frac{1}{\delta_j} B_k^S; \quad A_{13}(L+1) = \frac{1}{\delta_j} B_k^P;$$

$$A_{11}(L+2) = \frac{1}{\delta_j} C_k^S; \quad A_{13}(L+2) = \frac{1}{\delta_j} C_k^P;$$

$$A_{11}(M+1) = \frac{1}{2\Delta_j} B_j^{SP}; \quad A_{13}(N+2) = \frac{1}{2\Delta_j} C_j^{SP};$$

$$A_{11}(M+2) = \frac{1}{2\Delta_j} C_j^{SP}; \quad A_{13}(L+1) = \frac{1}{2\Delta_j} B_k^{SP};$$

$$A_{13}(N+1) = \frac{1}{2\Delta_j} B_j^{SP}; \quad A_{13}(L+2) = \frac{1}{2\Delta_j} C_k^{SP};$$

Построение массивов начиная с массива частных производных функций $w(x, y)$ для первого узла элемента. В этом случае, используя данные табл. 3, ставят полагать:

$$M = 1; \quad N = 4; \quad L = 7;$$

$$x_j = x_1; \quad x_j = x_2; \quad x_k = x_3;$$

$$y_j = y_1; \quad y_j = y_2; \quad y_k = y_3.$$

Коэффициенты M , N , L определяются из выражений

$$\left. \begin{aligned} M &= (S_j - 1)*3 + M_0; \\ N &= (S_j - 1)*3 + M_0; \\ L &= (S_k - 1)*3 + M_0, \end{aligned} \right\} \quad (15.4)$$

где $M_0 = (S_j - 1)*12 + 1$.

Значения S_j , δ_j , δ_k равны текущим значениям индексов j , k , взятым из соответствующей строки табл. 3. В рассматриваемом случае видно координаты совпадают с положением первого узла, поэтому все значения, использованные выше, взяты из первой строки. Образовались из выражениями (15.3), сформированы массивы частных производных функции $w(x, y)$ для узла j .

Перенеся начало координат в узел 2 и, воспользовавшись данными второй строки, получим:

$$M = 16; \quad N = 13; \quad L = 22;$$

$$x_j = x_1; \quad x_j = x_2; \quad x_k = x_4;$$

$$y_j = y_2; \quad y_j = y_3; \quad y_k = y_4.$$

Тогда с помощью канонических зависимостей (15.3) формируются массивы частных производных, относящихся ко второму узлу. Аналогично поступаем при совмещении начала координат с положением третьего узла. Знания коэффициентов и координат определяются следующим массивом исходных данных для узла 3:

$$M = 31; \quad N = 24; \quad L = 25;$$

$$x_j = x_1; \quad x_j = x_2; \quad x_k = x_5;$$

$$y_j = y_3; \quad y_j = y_4; \quad y_k = y_5.$$

Для узла i имеем:

$$\begin{array}{lll} M = 45; & N = 43; & J_1 = 40; \\ x_1 = x_2; & x_2 = x_3; & x_3 = x_4; \\ y_1 = y_2; & y_2 = y_3; & y_3 = y_4. \end{array}$$

Таким образом, все массивы частных производных, необходимые при решении задачи на гибкую изотропоригидную пластину, формируются элементарно с помощью канонических выражений (15.3). Аналогично получают и при использовании четырехузловой схемы, и при определении частных производных трапециoidalных сечений конечного элемента. При решении плоской задачи теории упругости.

Следует обратить внимание, что в рассмотренном алгоритме не используется текущие значения индексов I , так как элементы рассмотренных выше матриц и канонических выражений, относящихся к узловой точке с индексом I , равны нулю. Для четырехузловой схемы должны быть использованы все текущие значения индексов I, J, K .

Четырехузловая схема более сложна в реализации, хотя ее общая трудность не велика. Как и в рассмотренном алгоритме, в первую очередь программируется процесс формирования массивов частных производных для некоторого формального узла. Он может быть оформлен в виде отдельной подпрограммы. Затем, используя вышеизложенный принципиальный алгоритм, формируются необходимые массивы.

§ 16. Многометодный алгоритм формирования матриц жесткости элементов пластин, работающих на изгиб

Прежде всего напомним, что при построении матрицы жесткости четырехугольного элемента используются прием линейной триангуляции. Затем, учитывая (13.17), представим в виде программы КАНОН алгоритм интегрирования по площади треугольника от произведения некоторой двух функций, первые коэффициенты в пределах треугольного элемента, т. е. интеграл имеет вид

$$\begin{aligned} C \iint_{\Delta} r_R e_i dxdy = \\ = C \sum_{k=1}^3 \sum_{l=1}^3 (e_{Rk} e_{il}) s_{kl}. \end{aligned} \quad (16.1)$$

где C — некоторый коэффициент;

SUBROUTINE ← КАНОН (SG, AI, AJ, AK,

BI, BJ, BK)

DIMENS1ψN ← SG (79), AI (12), AJ (12),

AK (12), BI (12), BJ (12), BK (12)

N = 0

D φ ← 1 ← M = 1,12

D φ ← 1 ← K = M, 12

N = N + 1

SG (N) ← SG (N) + C * S * 0.5 *

(AI (M) * BI (K) + AI (K) * BI (M) +

AJ (M) * BJ (K) + AJ (K) * BJ (M) +

AK (M) * BK (K) + AK (K) * BK (M) +

0.5 * (AI (M) * BJ (K) + AI (K) * BJ (M) +

AI (M) * BK (K) + AI (K) * BK (M) +

AJ (M) * BI (K) + AJ (K) * BI (M) +

AJ (M) * BK (K) + AJ (K) * BK (M) +

AK (M) * BI (K) + AK (K) * BI (M) +

AK (M) * BJ (K) + AK (K) * BJ (M)) / 6

END ←

RETURN

END

Программа КАНОН предполагает использование δ -координат при аппроксимации закона распределения функций r_R, e_i в пределах треугольной области.

Рассматривая треугольную область I (рис. 15) четырехугольного элемента, определим ее площадь $S = S_1$ по известной зависимости

$$S_1 = \frac{1}{2} \cdot |(x_i - x_k)(y_j + y_k) + (x_k - x_j)(y_k + y_j)| + \\ + |(x_j - x_l)(y_j + y_l)|. \quad (16.3)$$

Предположим, что

$$r_R = \frac{\partial^2 w}{\partial x^2}; \quad r_T = \frac{\partial^2 w}{\partial y^2}; \quad C = \frac{1}{2} \cdot D,$$

Тогда с помощью блока

```
D phi := 1.0; I := 1,12
K1 = (L1 - 1) * 12 + 1
K2 = (L2 - 1) * 12 + 1
K3 = (L3 - 1) * 12 + 1
A1(I) = A11(K1)
A1(J) = A11(K2)
A1(K) = A11(K3)
B1(I) = A11(K1)
B1(J) = A11(K2)
1 .. B1(K) = A11(K3)
```

получается выборка соответствующих линейных массивов частных производных. Здесь $L1, L2, L3$ являются номерами узлов элемента. В частности, для первой треугольной области они соответственно равны 1, 2, 3. В данном случае подразумевается тождество массивов $A11$ и A_{11} . Затем с помощью программы КАНОН производится заполнение массива матрицы жесткости SG .

После окончания этой процедуры полагаем, что $C = D$; $r_R = \frac{\partial^2 w}{\partial x^2}$, $r_T = \frac{\partial^2 w}{\partial y^2}$. Производим выборку необходимых массивов, предполагая

что последние три оператора (16.3) будут иметь вид

$$\begin{aligned} & B1(I) = A11(K1) \\ & B1(J) = A11(K2) \\ & 1 .. B1(K) = A11(K3). \end{aligned} \quad (16.5)$$

Обращаясь к программе КАНОН, дополняем матрицу жесткости SG .

Таким образом, проделав все операции в соответствии с (16.17), сформируем часть матрицы жесткости, отвечающую первой треугольной области. Затем приступим к аналогичным операциям для треугольных областей II, III, IV . При определении положения начала координат необходимо руководствоваться информацией табл. 3, полагая, что начало координат всегда совпадает с узловой точкой, имеющей номер I , т. е. для треугольной области II параметры $L1, L2, L3$ будут соответственно равны 3, 4, 1. Для $III = 4, 3, 2$. Для $IV = 2, 1, 4$.

В заключение отметим, что в качестве алгоритмического языка был использован ФОРТРАН.

Принятая схема построения алгоритма может иметь и другую последовательность, но остается неизменной ее простота, так как она не содержит явных операций дифференцирования и интегрирования функции.

§ 17. Выделение угла поворота элемента или местного тела в локальном виде

Рассмотрим деформацию в окрестности точки A деформированного тела. Деформация сопровождается перемещением точки A , изменением длии линейных элементов, проходящих через нее, и изменением направлений этих элементов. Будем интересоваться сейчас лишь поворотами этих элементов. Исключим из рассмотрения перемещения точки A и изменения длии линейных элементов, так как они не являются существенными при изучении их поворотов.

Характеристикой поворота окрестности точки деформированного тела в плоскости XOY является величина

$$\theta_I = 2 \varphi = \frac{\partial \varphi}{\partial x} - \frac{\partial \varphi}{\partial y}. \quad (17.1)$$

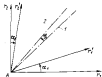


Рис. 20. Поворот в окрестности точки А в плоскости x_1, x_2 .

1 - биссектриса угла $x_1, \Delta x_1$; 2 - биссектриса угла $x_1, \Delta x_2$ (угол ϕ_1 [1 x_1, x_2] [у]) (рис. 20).

В результате деформации тела квадратные элементы r_1 и r_2 , повернутые вдоль положения r'_1 и r'_2 ,

$$e_1 = \frac{\partial v}{\partial x}; \quad e_2 = \frac{\partial u}{\partial y}.$$

Угол склона τ_{xy} определяется зависимостью: $\tau_{xy} = \frac{\partial u}{\partial x} + \frac{\partial v}{\partial y}$; избыточный угол поворота биссектрисы 2θ равен

$$2\theta = \alpha_1 - \alpha_2 = \frac{\partial v}{\partial x} - \frac{\partial u}{\partial y}.$$

В методе конечных элементов существует несколько предложений выделения угла поворота элемента как жесткого тела [12, 28]. В основном эти предложения относят к области расчета оболочек. Но потребность выделения угла θ возникает и при решении любой другой задачи в пространственной постановке, например при решении плоской задачи теории упругости или задачи изгиба сопряженных и ориентированных под углом друг к другу пластин. Преобразуем выражение для угловой относительной деформации

$$\frac{\partial u}{\partial y} + \frac{\partial v}{\partial x} = \frac{1}{2} \left(\frac{\partial u}{\partial y} + \frac{\partial v}{\partial x} \right) + \frac{\partial v}{\partial x} = \theta; \quad (17.2)$$

Если предположить, что существует линейная зависимость угла поворота элемента от его угловых координат относительно неизменного элемента, то θ может быть истолковано как избыточный угол поворота биссектрисы угла, образованного линейными элементами, проходящими через точку A и параллельными осям координат x, y .

Пусть имеются два ортогональных линейных элемента в окрестности точки A , направленные вдоль осей x_1 и x_2 (ϕ_1 [1 x_1, x_2] [у]) (рис. 20).

$$\frac{\partial u}{\partial y} + \frac{\partial v}{\partial x} = \frac{1}{2} \left(\frac{\partial u}{\partial y} + \frac{\partial v}{\partial x} \right) + \frac{\partial v}{\partial x} = \theta. \quad (17.3)$$

В выражения функционалов (13.1), (13.5) входит слагаемое

$$B'_{12} \left(\frac{\partial u}{\partial y} + \frac{\partial v}{\partial x} \right)_2,$$

которое с помощью (17.2), (17.3) можно представить в развернутом виде

$$B'_{12} \left(\frac{\partial u}{\partial y} + \frac{\partial v}{\partial x} \right)_2 = B'_{12} \left[\frac{1}{2} \left(\frac{\partial u}{\partial y} + \frac{\partial v}{\partial x} \right) + \frac{\partial v}{\partial x} - \theta \right] \left[\frac{1}{2} \left(\frac{\partial u}{\partial y} + \frac{\partial v}{\partial x} \right) + \frac{\partial v}{\partial x} + \theta \right] = B'_{12} \left[\frac{3}{4} \left(\frac{\partial u}{\partial y} + \frac{\partial v}{\partial x} \right)_2 + \frac{\partial u}{\partial y} \frac{\partial v}{\partial x} + \theta \left(\frac{\partial v}{\partial x} - \frac{\partial u}{\partial y} \right) - \theta^2 \right]. \quad (17.4)$$

Выразив по некоторым параметрам, получим соответствующую систему уравнений разностей, которая будет содержать следующее соотношение:

$$\theta = \frac{1}{2} \left(\frac{\partial v}{\partial x} - \frac{\partial u}{\partial y} \right).$$

§ 18. Построение матриц жесткости элемента пологой оболочки

Обратимся к элементу пологой оболочки, для которого кроме координат узлов заданные значениями являются изгибы поверхности (рис. 21).

Рассмотрим базовый треугольный элемент. Распространять результаты полученного решения на четырехугольные элементы не представляется трудно.

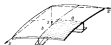


Рис. 21. Пологая оболочка, подкрепленная ребрами жесткости.

Кардинальной особенностью поисдения элемента оболочки является возможность его смещения как жесткого тела. В данном случае будем предполагать, что смещение элемента как жесткого тела устранено. Тогда, учитывая, что выражения для деформаций имеют вид

$$\left. \begin{aligned} e_1^0 &= e_1 - k_1 x_1; & e_2^0 &= e_2 - k_2 x_2; \\ e_{12}^0 &= \frac{1}{4} (e_1 + e_2)^2 + e_1 e_2 + (e_1 - e_2)x_{12} = e_{12}^1 x_1; \\ e_{13}^0 &= 2 e_1 x_2; \\ e_{23}^0 &= -2 e_2 x_1; \end{aligned} \right\} \quad (18.1)$$

в учете конечности их изменения в пределах элемента, можно записать

$$e_m = \sum_{p=1}^{18} \beta_{pm} (L_1 L_2 L_3) q_p. \quad (18.2)$$

В рассматриваемом случае вектор неведомых для i -го узла имеет вид

$$\{q\}_i = \{q_1 q_2 q_3 q_4 q_5 q_6\}. \quad (18.3)$$

Функции β_{pm} элементарны и могут быть легко найдены, если пользоваться законами распределения исходных функций и их производных в пределах элемента

$$e_m = L_1 e_{m1} + L_2 e_{m2} + L_3 e_{m3}. \quad (18.4)$$

Здесь e_{mi} — значение e_m в узловой точке i . Матричные выражения для узловых значений e_m были приведены во второй главе.

Теперь не представляет сложностей определить коэффициенты матрицы жесткости, исходя из выражения (13.1) для энергии деформации элемента пологой оболочки

$$F = \sum_{m=1}^{18} \sum_{n=1}^{18} K_{mn} q_m q_n;$$

т. е.

$$\begin{aligned} K_{mn} &= \int \int [B_{11}^T \mathcal{D}_{m1} \mathcal{D}_{n1} + B_{22}^T \mathcal{D}_{m2} \mathcal{D}_{n2} + \\ &+ B_{33}^T (\mathcal{D}_{m3} \mathcal{D}_{n3} + \mathcal{D}_{m1} \mathcal{D}_{n2}) - (K_1 D_{11}^2 + K_2 D_{12}^2) (\mathcal{D}_{m1} \mathcal{D}_{n1} + \\ &+ \mathcal{D}_{m2} \mathcal{D}_{n2}) - (K_2 D_{12}^2 + K_3 D_{13}^2) (\mathcal{D}_{m1} \mathcal{D}_{n2} + \mathcal{D}_{m2} \mathcal{D}_{n1}) + \\ &+ \dots] dS. \end{aligned}$$

$$\begin{aligned} &+ (B_{11}^T K_1^2 + 2 B_{12}^T K_1 K_2 + B_{13}^T K_2^2) \mathcal{D}_{m1} \mathcal{D}_{n1} + \\ &+ \frac{3}{4} B_{11}^T (\mathcal{D}_{m1} \mathcal{D}_{n3} + \mathcal{D}_{m3} \mathcal{D}_{n1} + \mathcal{D}_{m1} \mathcal{D}_{n2} + \mathcal{D}_{m2} \mathcal{D}_{n1}) + \\ &+ \frac{1}{2} B_{12}^T (\mathcal{D}_{m3} \mathcal{D}_{n10} + \mathcal{D}_{m2} \mathcal{D}_{n10} - \mathcal{D}_{m3} \mathcal{D}_{n10} - \mathcal{D}_{m1} \mathcal{D}_{n10} + \\ &+ \mathcal{D}_{m1} \mathcal{D}_{n6} + \mathcal{D}_{m3} \mathcal{D}_{m6}) - B_{13}^T \mathcal{D}_{m10} \mathcal{D}_{n10} + \\ &+ B_{11}^T \mathcal{D}_{m11} \mathcal{D}_{n11} + B_{12}^T (\mathcal{D}_{m11} \mathcal{D}_{n11} + \\ &+ \mathcal{D}_{m11} \mathcal{D}_{n12}) + 4 B_{11}^T \mathcal{D}_{m12} \mathcal{D}_{n12} + \\ &+ B_{13}^T \mathcal{D}_{m13} \mathcal{D}_{n13}] dS. \end{aligned} \quad (18.5)$$

Для построения матрицы жесткости четырехугольного элемента необходимо воспользоваться квадратичной аппроксимацией в пределах элемента. Для этого следует расширять вектор узловых величин, который будет иметь вид:

$$\{q\} = \{\{q\}_1 \ \{q\}_2 \ \{q\}_3 \ \{q\}_4\}. \quad (18.6)$$

§ 19. Учет возможности смещения элемента оболочки как жесткого тела

Рассмотрим прямоугольный элемент (рис. 21) со сторонами a , b и параметрами короткими k_1, k_2, k_3 .

При смещении элемента как жесткого тела его деформации равны нулю, т. е.

$$\left. \begin{aligned} e_4 &= k_1 x_1^2 = 0; \\ e_5 &= k_2 x_2^2 = 0; \\ e_6 &+ e_7 = k_{12} x_3^2 = 0. \end{aligned} \right\} \quad (19.1)$$

Здесь $x_3^2 = m^2$ характеризует смещение элемента как жесткого тела.

Выделим из четырехугольного элемента треугольную подобность с вершинами i , j , k (рис. 22) и аппроксимируем x_3^2 в пределах такого элемента линейной функцией

$$x_3^2 = A_0^2 + A_1^2 x + A_2^2 y. \quad (19.2)$$

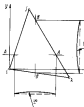


Рис. 22. Треугольный базовый элемент прямой оболочки.

Постоянны: A_0^*, A_1^*, A_2^* определяются из условия

$$e_j^*(x_m y_m) = e_{jm}^*. \quad (19.3)$$

Решив систему (19.3), получим

$$\{A^*\} = [c] \{e_j^*\} \quad (19.4)$$

$$\text{т.е. } \{A^*\} = \{A_0^* A_1^* A_2^*\};$$

$$\{e_j^*\} = \{e_{j1}^* e_{j2}^* e_{j3}^*\};$$

$$[c] = \frac{1}{\Delta} \begin{bmatrix} \Delta & 0 & 0 \\ x_{1j} x_{2k} x_{3l} & x_{1k} x_{2l} x_{3j} \\ x_{1l} x_{2j} x_{3k} \end{bmatrix} \quad (19.5)$$

$$\Delta = x_{1j} x_{2k} - x_{2j} x_{1k}; \quad x_{ij} = x_{ji} = 0.$$

Учитывая (19.1), найдем зависимости для тангенциальных составляющих перемещения при жестком смещении элемента:

$$u^*(x, y) = u_j^* + [(k_{11} x + k_{12} y), -\frac{1}{2} (k_{11} x^2 - k_{12} y^2), (k_{11} x y)] [c] \{e_j^*\}; \quad (19.6)$$

$$v^*(x, y) = v_j^* + [(k_{21} x + k_{22} y), (k_{21} x y), -\frac{1}{2} (-k_{21} x^2 + k_{22} y^2)] [c] \{e_j^*\}, \quad (19.7)$$

где u_j^*, v_j^* — компоненты тангенциального перемещения точки элемента при смещении его как жесткого тела.

В случае поворота элемента как жесткого тела относительно узла j можно записать, что

$$e_{3j}^* = e_{31} + e_{32} x_{1j} + e_{33} x_{2j}; \quad (19.8)$$

$$e_{3k}^* = e_{31} + e_{32} x_{2k} + e_{33} x_{1k}. \quad (19.9)$$

Аналогично, если рассматривать поворот относительно узлов j и k , получим:

$$\left. \begin{aligned} e_{3j}^* &= e_{31} + e_{32} x_{1j} + e_{33} x_{2j}; \\ e_{3k}^* &= e_{31} + e_{32} x_{2k} + e_{33} x_{1k}; \\ e_{1j}^* &= e_{11} + e_{12} x_{2j} + e_{13} x_{3k}; \\ e_{1k}^* &= e_{11} + e_{12} x_{3k} + e_{13} x_{2j}. \end{aligned} \right\} \quad (19.10)$$

Однотактные смещения как средние из приведенных выше, имеют

$$\{e_j^*\} = [\theta^*] \{q\}, \quad (19.11)$$

т.е.

$$[\theta^*] = \frac{1}{2} \begin{bmatrix} 0 & 0 & 0 & 1 & x_{1j} & x_{1k} & 1 & x_{2j} & x_{2k} \\ 1 & x_{1j} & x_{1k} & 0 & 0 & 0 & 1 & x_{2j} & x_{2k} \\ 1 & x_{2j} & x_{2k} & 1 & x_{1j} & x_{1k} & 0 & 0 & 0 \end{bmatrix},$$

$$\{q\} = \{q_{11} q_{12} q_{13} q_{21} q_{22} q_{23} q_{31} q_{32} q_{33}\}$$

Тангentialные перемещения элемента будут складываться из перемещений, отвечающих смещению его как жесткого тела, и перемещений, возникающих при упругих деформациях, которые могут быть определены зависимостью:

$$u = A_0 + A_1 x + A_2 y; \quad v = B_0 + B_1 x + B_2 y. \quad (19.12)$$

Так как A_0 и B_0 характеризуют поступательное смещение, т. е. смещение жесткого тела, то можно положить:

$$A_0 = B_0 = 0.$$

Четыре другие постоянные для смещения упругого тела определяются из условий в узлах элемента:

$$\left. \begin{aligned} u_j^{(pp)} &= u_j - u_i = u(x_j, y_j); \\ u_k^{(pp)} &= u_k - u_i = u(x_k, y_k); \\ v_j^{(pp)} &= v_j - v_i = v(x_j, y_j); \\ v_k^{(pp)} &= v_k - v_i = v(x_k, y_k). \end{aligned} \right\} \quad (19.13)$$

Выражение для полных тангенциальных перемещений имеет вид

$$\left. \begin{aligned} u(x,y) &= [1, x, y] [e] - \{u\} + [(k_1 x + k_2 y), x y] \\ &\quad \frac{1}{2} (-k_1 x^2 + k_2 y^2), (k_1 x y)] [e] [B^+] \{q\}; \\ v(x,y) &= [1, x, y] [e] - \{v\} + [(-k_{12} x + k_2 y), \\ &\quad (k_1 x y), \frac{1}{2} (-k_1 x^2 + k_2 y^2)] [e] [B^+] \{q\}, \end{aligned} \right\} \quad (19.14)$$

где

$$\{u\} = \{u_1 u_2 u_3\}; \quad \{v\} = \{v_1 v_2 v_3\}.$$

Не представляет интереса особого вида система (19.14) и следующим выражением:

$$\left. \begin{aligned} u(x,y) &= [1, x, y, x^2, x y, y^2] [u_0] - \sum_{j=1}^{24} D_{ij} q_j; \\ v(x,y) &= [1, x, y, x^2, x y, y^2] [v_0] - \sum_{j=1}^{24} D_{ij} q_j, \end{aligned} \right\} \quad (19.15)$$

где $[u_0]$, $[v_0]$ — матрицы размерностью 6×24.

Здесь вектор $\{q\}$ представляет собой узловыми неизвестными для четырехугольного элемента, хотя рассуждения ведутся о деформации некоторой подобласти треугольного вида.

Продолжая рассматривать элемент с вершинами i , j , k , заданный из элемента прямоугольной формы, построим полином, отвечающий поперечным перемещениям в пределах треугольной подобласти. Для этой цели рассмотрим полный кубический полином

$$\begin{aligned} x_3 &= x_0 + a_1 x + a_2 y + a_3 x^2 + a_4 x y + a_5 y^2 + \\ &\quad + a_6 x^3 + a_7 x^2 y + a_8 x y^2 + a_9 y^3. \end{aligned} \quad (19.16)$$

Для определения последних a_i будем использовать условия в узлах элемента. Но в отличие от обычно упоминаемых условий, которые

записываются через узловые значения прогиба и углов поворота, будем использовать условия, отражающие основную идею квазимономиальной аппроксимации, рассмотренную ниже.

Начне координаты перемещения в узловую точку i . Тогда можно записать, что

$$\left. \begin{aligned} e_{11}(x_m, y_m) &= e_{11(m)} \\ e_{12}(x_m, y_m) &= e_{12(m)} \\ e_{13}(x_m, y_m) &= e_{13(m)}, \end{aligned} \right\} \quad m = i, j, k. \quad (19.17)$$

На условиях (19.17) следует, что

$$\left. \begin{aligned} 2x_3 + 6a_2 x_1 + 2a_3 y_1 &= e_{11(j)}; \\ 2x_3 + 6a_2 x_2 + 2a_3 y_2 &= e_{11(k)}; \\ 2x_3 + 6a_2 x_3 + 2a_3 y_3 &= e_{11(i)}; \end{aligned} \right\} \quad (19.18)$$

$$\left. \begin{aligned} 2x_3 + 2a_2 x_1 + 6a_3 y_1 &= e_{12(j)}; \\ 2x_3 + 2a_2 x_2 + 6a_3 y_2 &= e_{12(k)}; \\ 2x_3 + 2a_2 x_3 + 6a_3 y_3 &= e_{12(i)}. \end{aligned} \right\} \quad (19.19)$$

$$a_4 = e_{13(j)}. \quad (19.20)$$

Решая системы уравнений (19.18), (19.19), найдем значения постоянных a_i :

$$\left. \begin{aligned} \{a_i\} &= [\Phi]_j \{e_i\}; \\ \{a_i\} &= [\Phi]_k \{e_i\}; \end{aligned} \right\} \quad (19.21)$$

Матрицы, входящие в (19.21), имеют вид:

$$\left. \begin{aligned} \{d_1\} &= \{2x_1, 6x_1, 2x_2\}; \\ \{d_2\} &= \{2x_1, 2x_2, 6x_2\}; \\ \{e_{11}\} &= \{e_{111}, e_{112}, e_{113}\}; \\ \{e_{12}\} &= \{e_{121}, e_{122}, e_{123}\}; \end{aligned} \right\} \quad (19.22)$$

$$[\Phi]_j = \frac{1}{\Delta_j} \begin{bmatrix} \Delta & 0 & 0 \\ x_{j,1} & x_{j,2} & x_{j,3} \\ x_{k,1} & x_{k,2} & x_{k,3} \end{bmatrix};$$

$$\Delta = x_1 x_2 - x_k x_j;$$

$$x_1 \cdot x_j = 0.$$

Значения составляющих векторов $\{e_{11,k}\}$ определяются по зависимостям, полученным во второй главе.

В выражении (19.16) осталась неопределенными коэффициенты a_0 , a_1 , a_2 , которые могут быть легко найдены, если воспользоваться обычными условиями в узлах треугольной подобласти прямогоугольного элемента:

$$w(x_m, y_m) = w_m, \quad (19.23)$$

$$m = i, j, k.$$

В результате линейных операций можно, отразивший изменение поверхной составляющей перемещения в пределах первой треугольной подобласти, может быть представлен в виде

$$w(x, y) = \sum_{j=1}^{24} S_{mj}(q_j). \quad (19.24)$$

Тогда, воспользовавшись выражениями для энергии деформации элемента и выражениями (19.15), (19.24), определим коэффициенты матрицы жесткости треугольной подобласти прямогоугольного элемента.

Перенеся начало координат в узловую точку j и рассматривая элемент с вершинами i , j , k , определим коэффициенты матрицы жесткости второй треугольной подобласти.

Аналогично поступаем, расположив начало координат в узлах i и k .

Повторять все пределенные операции не имеет смысла, поскольку для построения необходимых зависимостей можно воспользоваться уже получимыми, прилагая индексы i , j , k соответствующие значения.

Продумывая полученные коэффициенты всех четырех матриц и разделив их на два, так как использовались двойные траектории, получим окончательные значения коэффициентов матрицы жесткости элемента прямогоугольной формы.

§ 20. Построение матрицы жесткости подкрепляющего ребра с учетом асимметричности подкреплений и условий совместности

Рассмотрим пологую оболочку, подкрепленную ребрами жесткости. Для ребер снятым временным торсии стержней Кирготфа – Клейбиса и будем учитывать в основной жесткость ребер в плоскости, нормальной к средней поверхности оболочки. Условия совместности деформирования ребер и подкрепляемой оболочки выражаются зависимостью (2.11).

При формировании матрицы жесткости элементов будем предполагать, что ребра жесткости охватывают рассматриваемый элемент. Значения матрицы жесткости определяют, исходя из условия совместности потенциальной энергии по параметрам аппроксимирующих полиномов

$$K_{mn} = \frac{\partial V(q_m, q_n)}{\partial q_m \partial q_n},$$

где

$$V(q_m, q_n) = V_0(q_m, q_n) + V_a(q_m, q_n) + V_p(q_m, q_n).$$

В свою очередь $V_0(q_m, q_n)$ и $V_a(q_m, q_n)$ – определяются выражениями (3.10), (3.11), которые уже были использованы при построении матрицы жесткости элемента оболочки. Исходя из этого целиком разобрано матрицу жесткости подкрепленного элемента формировать как сумму матрицы подкрепленного элемента и подкрепляющих ребер. При этом для построения матрицы жесткости подкрепляющих элементов можно воспользоваться матрицей жесткости изолированного ребра, произвольно расположенного в плоскости. Учитывая условия совместности в общих перемещениях, можно легко перестроить матрицу изолированного элемента в матрицу жесткости элемента, одновременно ориентированного в пределах определенного участка оболочки. Ниже излагается алгоритм построения матрицы жесткости элемента ребра, поскольку процесс построения матрицы жесткости подкрепленного элемента оболочки был изложен ранее.

Как было показано в главе 1, потенциальная энергия ребра с учетом совместности в обобщенных перемещениях ребра и элемента оболочки имеет вид:

$$V_F = \frac{1}{2} \int_{l_p} \left[E F \left(\frac{\partial w}{\partial t} - k_p u \right)^2 + 2 \eta E F \left(\frac{\partial w}{\partial t} - k_p u \right) \left(k_p \frac{\partial w}{\partial t} + \frac{\partial^2 w}{\partial t^2} \right) + E J_p \left(k_p \frac{\partial w}{\partial t} + \frac{\partial^2 w}{\partial t^2} \right)^2 \right] dt. \quad (20.1)$$

В этом случае используют следующие полиномы.

1. Для первой производной от перемещения вдоль оси ребра с учетом совместности смещения как жесткого тела

$$\begin{aligned} \frac{\partial w}{\partial t} &= \frac{(w_r - w_p) x_{tr} + (r_p - r_r) x_{rt}}{l_p^2}, \\ &+ k_p \left[w_r + \left(\frac{\partial w}{\partial x} \right)_r x_{tr} + \left(\frac{\partial w}{\partial y} \right)_r x_{rt} \right] \left(1 - \frac{t}{l_p} \right) + \\ &+ k_p \left[w_r + \left(\frac{\partial w}{\partial x} \right)_{tr} x_{tr} + \left(\frac{\partial w}{\partial y} \right)_{tr} x_{rt} \right] \frac{t}{l_p}, \end{aligned} \quad (20.2)$$

где l_p — длина элемента ребра; k_p — жесткость элемента ребра.

2. Для поперечных перемещений

$$\begin{aligned} w &= w_r \mathcal{D}_1 + \left[\left(\frac{\partial w}{\partial x} \right)_r x_{tr} + \left(\frac{\partial w}{\partial y} \right)_r x_{rt} \right] \frac{1}{l_p} \mathcal{D}_2 + \\ &+ w_r \mathcal{D}_3 + \left[\left(\frac{\partial w}{\partial x} \right)_r x_{tr} + \left(\frac{\partial w}{\partial y} \right)_r x_{rt} \right] \frac{1}{l_p} \mathcal{D}_4, \end{aligned} \quad (20.3)$$

где $\mathcal{D}_1, \dots, \mathcal{D}_4$ — полиномы Эрмитта [29].

3. Для второй производной от прогиба

$$\frac{\partial^2 w}{\partial t^2} = \frac{1}{l_p^4} \left[6 (w_r - w_p) - 4 \left(\frac{\partial w}{\partial x} \right)_r x_{tr} - 4 \left(\frac{\partial w}{\partial y} \right)_r x_{rt} - \right.$$

$$\begin{aligned} &\left. - 2 \left(\frac{\partial w}{\partial x} \right)_r x_{tr} - 2 \left(\frac{\partial w}{\partial y} \right)_r x_{rt} \right] \left(1 - \frac{t}{l_p} \right) + \\ &+ \frac{1}{l_p^2} \left[6 (w_r - w_p) + 2 \left(\frac{\partial w}{\partial x} \right)_r x_{tr} + 2 \left(\frac{\partial w}{\partial y} \right)_r x_{rt} + \right. \\ &\left. + 4 \left(\frac{\partial w}{\partial x} \right)_r x_{tr} + 4 \left(\frac{\partial w}{\partial y} \right)_r x_{rt} \right] \frac{t}{l_p}. \end{aligned} \quad (20.4)$$

Если известен полный вектор узловых обобщенных перемещений

$$\{q\} = \{q_1 \ q_2 \ q_3 \dots q_m\},$$

то зависимости (20.2)–(20.4) можно представить в виде

$$\left. \begin{aligned} \frac{\partial w}{\partial t} &= \sum_{p=1}^m \beta_{pu}^{(1)}(t) q_p, \\ w &= \sum_{p=1}^m \beta_{pu}^{(2)}(t) q_p, \\ \frac{\partial^2 w}{\partial t^2} &= \sum_{p=1}^m \beta_{pu}^{(3)}(t) q_p, \end{aligned} \right\} \quad (20.5)$$

где

$$\{q\} = \left\{ q_1 \ q_2 \ q_3 \left(\frac{\partial w}{\partial x} \right)_r \left(\frac{\partial w}{\partial y} \right)_r \ q_4 \ q_5 \ q_6 \ q_7 \right. \\ \left. \left(\frac{\partial w}{\partial x} \right)_{tr} \left(\frac{\partial w}{\partial y} \right)_{tr} \right\} \quad (20.6)$$

— вектор узловых неизвестных для элемента ребра.

Для сокращения занимаемой памяти и машинных операций нет необходимости строить прямую матрицу исходя из полного вектора конечных поликриволинейных элементов. Правообразно сформировать матрицу жесткости ребра исходя из размерности вектора (20.6), а затем с помощью специального алгоритма разложить коэффициенты этой матрицы по соответствующим адресам.

Тогда коэффициенты матрицы жесткости изогнутого элемента будут определяться зависимостью

$$(K_{mn})_p = \int_0^L EF \left(1 - 2\eta k_p + \frac{J}{F} k_p^2 \right) \mathcal{I}'_{mn} \mathcal{I}'_{mn} + \\ + EFK_p^2 \mathcal{I}_{mn} \mathcal{I}_{mn} + EI \mathcal{I}'_{mn} \mathcal{I}'_{mn} + \\ + EF(k_p^2 - k_p) (\mathcal{I}'_{mn} \mathcal{I}_{mn} + \mathcal{I}'_{mn} \mathcal{I}'_{mn}) + \\ + EF \left(\frac{J}{F} k_p - \eta \right) \left(\mathcal{I}'_{mn} \mathcal{I}'_{mn} + \mathcal{I}'_{mn} \mathcal{I}'_{mn} \right) + \\ + \eta k_p EF (\mathcal{I}'_{mn} \mathcal{I}_{mn} + \mathcal{I}'_{mn} \mathcal{I}_{mn}) \] dL. \quad (20.7)$$

Вот приведены обозначения:

$$\begin{aligned} A &= EF \left(1 - 2\eta k_p + \frac{J}{F} k_p^2 \right); \quad B = (\eta k_p - 1) EF k_p; \\ C &= EFK_p^2; \quad D = EI k_p - \eta EF; \quad F = \eta k_p EF; \quad S = EI. \end{aligned} \quad (20.8)$$

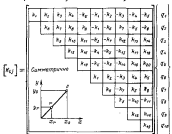


Рис. 23. Матрица жесткости изогнутого ребра.

то коэффициенты матрицы жесткости ребра (рис. 23) принимают следующие значения:

$$\left. \begin{aligned} k_{11} &= A k_p^2 / I_p^2; & k_{11} &= L_1 Y_{pp}; \\ k_{12} &= A k_p Y_{pp} / I_p^2; & k_{12} &= L_1; \\ k_{13} &= L_1 X_{pp} / I_p^2; & k_{13} &= L_2; \\ k_{14} &= L_2 X_{pp} / I_p^2; & k_{14} &= L_3; \\ k_{15} &= L_3 Y_{pp} / I_p^2; & k_{15} &= L_4; \\ k_{16} &= L_4 Y_{pp} / I_p^2; & k_{16} &= L_5; \\ k_{17} &= L_5 X_{pp} / I_p^2; & k_{17} &= L_6; \\ k_{18} &= L_6 X_{pp} / I_p^2; & k_{18} &= L_7; \\ k_{19} &= L_7 Y_{pp} / I_p^2; & k_{19} &= L_8; \\ k_{10} &= L_8 Y_{pp} / I_p^2; & k_{10} &= L_9; \\ k_{11} &= L_9 X_{pp} / I_p^2; & k_{11} &= L_{10}; \\ k_{12} &= L_{10} Y_{pp} / I_p^2; & k_{12} &= L_{11}; \\ k_{13} &= L_{11} X_{pp} / I_p^2; & k_{13} &= L_{12}; \\ k_{14} &= L_{12} X_{pp} / I_p^2; & k_{14} &= L_{13}; \\ k_{15} &= L_{13} Y_{pp} / I_p^2; & k_{15} &= L_{14}; \\ k_{16} &= L_{14} Y_{pp} / I_p^2; & k_{16} &= L_{15}; \\ k_{17} &= L_{15} X_{pp} / I_p^2; & k_{17} &= L_{16}; \\ k_{18} &= L_{16} X_{pp} / I_p^2; & k_{18} &= L_{17}; \\ k_{19} &= L_{17} Y_{pp} / I_p^2; & k_{19} &= L_{18}; \\ k_{10} &= L_{18} Y_{pp} / I_p^2; & k_{10} &= L_{19}; \\ k_{11} &= L_{19} X_{pp} / I_p^2; & k_{11} &= L_{20}; \end{aligned} \right\} \quad (20.9)$$

$$\left. \begin{aligned} L_1 &= -(A k_p + B); \\ L_2 &= -\left(\frac{1}{2} A k_p + \frac{1}{12} B + D - \frac{1}{I_p} \right); \\ L_3 &= \frac{1}{3} I_p A k_p + \frac{3}{10} I_p B k_p + 2 D k_p - \frac{1}{I_p} + \\ &+ \frac{13}{15} C I_p - \frac{12}{15} \frac{P}{I_p} + 12 \frac{S}{I_p^3}; \\ L_4 &= \frac{1}{3} A k_p^2 + \frac{1}{30} I_p B k_p + D k_p - \frac{1}{I_p} + \\ &+ 6 \frac{S}{I_p^2} + \frac{11}{210} C I_p - \frac{6}{5} \frac{P}{I_p}; \end{aligned} \right\} \quad (20.10)$$

$$L_1 = \frac{1}{6} A I_p k_p^2 + \frac{7}{10} I_p B k_p - 2 D k_p \frac{1}{I_p} +$$

$$+ 12 \frac{S}{I_p^2} + \frac{9}{10} C I_p - \frac{12}{5} \frac{P}{I_p};$$

$$L_2 = - \frac{1}{6} A I_p k_p^2 - \frac{2}{5} B I_p k_p + 2 D k_p \frac{1}{I_p} +$$

$$+ 6 \frac{S}{I_p^2} - \frac{13}{420} C I_p - \frac{1}{5} \frac{P}{I_p};$$

$$L_3 = \frac{1}{3} A I_p k_p^2 + \frac{1}{15} B I_p k_p + 4 \frac{S}{I_p^2} +$$

$$+ \frac{1}{105} C I_p - \frac{4}{15} \frac{P}{I_p};$$

$$L_4 = - \frac{1}{6} A I_p k_p^2 - \frac{1}{10} B I_p k_p + 2 D k_p \frac{1}{I_p} +$$

$$+ 2 \frac{S}{I_p^2} - \frac{1}{140} C I_p + \frac{1}{15} \frac{P}{I_p}.$$

В ряде случаев возникает необходимость учета жесткости ребер крученя. Тогда потенциальная энергия ребра будет состоять из потенциальной энергии изгиба (30.1) и энергии кручения ребер жесткости, выражение для которой имеет вид

$$V_{np} = \frac{1}{2} \int_{l_p} G J_{np} \left(\frac{\partial^2 w}{\partial x \partial s} \right)^2 dL. \quad (30.11)$$

Полагая, что угол закручивания ребра постоянен в пределах его длины, получим

$$V_{np} = \frac{1}{2} I_p G J_{np} \left(\frac{\partial^2 w}{\partial x \partial s} \right)^2. \quad (30.12)$$

$$\text{т.е.} \frac{\partial^2 w}{\partial x \partial s} = \frac{1}{I_p} \left[\left(\frac{\partial w}{\partial s} \right)_x - \left(\frac{\partial w}{\partial s} \right)_r \right].$$

В соответствии с обозначениями, приведенными на рис. 24, можно записать

$$\begin{aligned} \frac{\partial w}{\partial s} &= \frac{\partial w}{\partial x} \frac{\partial x}{\partial s} + \frac{\partial w}{\partial y} \frac{\partial y}{\partial s} \approx \\ &\approx \left(\frac{\partial w}{\partial x} \right) \frac{\Delta x}{\Delta s} + \left(\frac{\partial w}{\partial y} \right) \frac{\Delta y}{\Delta s}. \end{aligned}$$

т.е.

$$\frac{\Delta x}{\Delta s} = \frac{x_{fr}}{\Delta s} = \sin \varphi = \frac{y_{fr}}{l_p},$$

$$\frac{\Delta y}{\Delta s} = \frac{y_{fr}}{\Delta s} = \cos \varphi = \frac{x_{fr}}{l_p},$$

$$\text{т.е.} \frac{\partial w}{\partial s} = \left(\frac{\partial w}{\partial x} \right) \sin \varphi + \left(\frac{\partial w}{\partial y} \right) \cos \varphi.$$

Рис. 24. К определению угла закручивания ребра жесткости

(20.13)

Таким образом, коэффициенты матрицы жесткости при учете кручения ребра равны

$$(k_{nn})_p = (k_{nn})_p^{ext} + (k_{nn})_p^{int}. \quad (20.14)$$

§ 21. Математический алгоритм стыковки элементов матрицы жесткости плоской оболочки к элементам матрицы жесткости подкрепляющих ребер

При формировании матриц жесткости конечных элементов пластин или панелей оболочек, подкрепленных ребрами жесткости, будем предполагать, что в пределах элемента имеются не более двух ребер. Принимать большее количество неравнозначно. Первоначально строится матрица жесткости конечного элемента, которое участвует одновременно в плоском напряженном состоянии. Затем формируется матрица жесткости подкрепляющего ребра. Здесь возможны два варианта. Первый заключается в том, что эти два типа соединены в величинами коэффициентов двух матриц производится в любом случае, если было обращение к подпрограмме формирования матрицы жесткости подкрепляющего элемента. Тогда в случае отсутствия конкретизирующего ребра по какой-либо причине соответствующие характеристики ребра принимаются равными нулю и формируется матрица ребра пустой жесткости на расстояние,



Рис. 25. Блок-схема формирования полной матрицы жесткости подкрепленного элемента.

Вариант подкрепления определяется в соответствии со схемой возможных подкреплений, представленной на рис. 26.

Рассмотрим обобщенную схему формирования полной матрицы жесткости подкрепленного элемента пластины. Не ограничивая общности видом конечного элемента, будем предполагать, что подкрепленный элемент имеет K угловых узлов и не более двух подкрепляющих ребер.

Размерность вектора узловых неизвестных равна $K \times 3$. Все массивы подлагаются одномерными.

Введем следующие обозначения:

S_G — строка жесткости элемента;

S_{GR} — строка жесткости элемента ребра;

Таблица 4. Таблица характеристик подкрепленных элементов

Номер параметров СПП	Вариант подкрепления СПП	Номера подкрепленных элементов с данными ТП и ВП								
		1	4	9	50	51	...	60	72	...
1	1	1	1	11	21					
2	2	1	1	11	21					
3	3	1	1	12	43	56				

углы и кручение. Однако этот подход приводит к заданию большого количества лишней исходной информации и к затрате значительного времени на формирование кулевой матрицы.

Во втором случае формирование матрицы жесткости ребра производится только при наличии подкрепления по той или иной кромке в соответствии с блок-схемой, изображенной на рис. 28. При наличии подкрепляющих ребер необходимы данные о характере топологии системы ребер и параметрах элементов ребер. Их можно представить в виде табл. 4, где с помощью характеристик ТП и ВП сообщается вся необходимая информация о различиях ребер в трёхугольниках элемента и параметрах, которые находятся в массивах исходных данных по значению признака ТП.

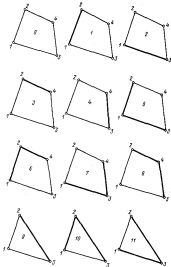


Рис. 26. Стандартные схемы подкрепления конечных элементов.

МВП — массив вариантов подкрепления;

K_U — количество углов подкрепленного элемента;

ГУ — номер варианта подкрепления.

1. Формирование матрицы жесткости элемента пластины. Учитывая возможность экспоненциального подкрепления пластины, при определении

Таблица 5. Матрица стандартных подкреплений

Вариант подкрепления (III)	Первое ребро		Второе ребро	
	Первый узел	Второй узел	Первый узел	Второй узел
1	1	2	0	0
2	1	3	0	0
3	1	4	0	0
4	1	4	0	0
5	1	3	1	3
6	1	3	2	4
7	1	3	3	4
8	1	4	3	4
9	1	3	0	0
10	1	3	2	3
11	1	3	2	3

постои энергии следует потенциальную энергию представить суммой энергий шарнира и деформации срединной поверхности, т. е. необходимо использовать выражения (7.11) и (7.12). Тогда используявшись склонной алгоритмом, изложенным в § 15, 16, оформим строку жесткости подкрепленного элемента, испытывающего погонные и гиперэлементные деформации.

2. Формирование матрицы жесткости подкрепленного элемента. Из массива исходных данных (табл. 4) определяются варианты подкреплений и типы геометрических и физических параметров подкрепляемых ребер. Челободро занести в таблицу данные только для подкрепляемых элементов. Если номер рассматриваемого элемента отсутствует в ней, склоняется, что его ВП = 0 и производится выход из программы формирования матрицы жесткости элемента. Рис. 26 отдает массив подкреплений (табл. 5), хранящийся в памяти машины и имеющей размерность 4x 11.

Для каждого варианта подкрепления даются номера узлов, соответствующие началу и концу подкрепляющего элемента. При отсутствии одного из подкрепляющих ребер в соответствующем месте массива

помещаются нули. Если для данного элемента вариант подкрепления равен IV, то с помощью процедуры

procedure P11; begin

begin end;

K_B := 0;

TH := (IV - 1) * 4 + 1;

TK := TH + 1;

..TK = M(B)(TH);

T2 = M(B)(TK);

(21.1)

begin end;

begin end;

определяются номера узлов стандартного элемента, отвечающие началу и концу данного ребра. Например, IV = 4. Тогда $I = 3$, $J = 24$, т. е. начало подкрепляющего первого элемента совпадает с третьим узлом, а конец — с четвертым. В процедуре (21.1) предусмотрен параметр K_B , значение которого производится переход к формированию строки жесткости второго ребра.

2.1. Формирование строки жесткости первого подкрепляемого элемента. По признаку III определяются параметры первого подкрепляющего элемента и формируется строка жесткости. Напомним, что полный вектор узловых координат для подкрепляющего элемента имеет размерность 2x 5, а не 4x 5, который принят для элемента пластины.

Вспомогательные линейности (20.8), (20.9), моделью строки жесткости ребра (рис. 23) и параметрами элемента ребра, формуирует строку жесткости первого подкрепляющего ребра. В силу различия в размерности векторов узловых координат элементов подкрепляющего ребра и пластины следует предусмотреть алгоритм суммирования элементов строки жесткости ребра и элементов строки жесткости подкрепляемого элемента.

2.2. Алгоритмстыковки. 2.2.4. Блок определения основных адресов элементов строки жесткости ребра

```

    J 2 = 0
    J 3 = 0
    N U 1 = (J 1 - 1) * 5
    N U 2 = (J 2 - 1) * 5
    I F (N U 1) 12, 14, 12
14 := J 2 = 0
      G φ ← T φ ← 15
12 := D φ ← 16 ← K 1 = 1, N U 1
16 := J 2 = J 2 + (K 1 - 1)
15 := D φ ← 17 ← K 1 = 1, N U 2
17 := J 3 = J 3 + (K 1 - 1)
      J 4 = K U + (J 1 - 1) * 25 - J 2
      J 5 = K U + (J 2 - 1) * 25 - J 3
      J 6 = (K U - 11 + 1) * 5
      J 7 = (K U - 13 + 1) * 5
      J 1 = 0
      D φ ← 18 ← K 2 = 1,5
      J 1 = J 1 + (K 2 - 1)
      D φ ← 19 ← K 2 = K 2,5
      M = (K 2 - 1) * 10 + K 2 - J 1
      M 1 = (K 2 - 1) * 5 + K 2 - J 1 + 40
      M K = (K 2 - 1) * J 6 + K 2 - J 1
      M 3 = (K 2 - 1) * J 7 + K 2 - J 1
      M 4 = J 4 + M K
      M 5 = J 5 + M 3

```

2.2.5. Блок стыковки

```

      S G (M 4) = S G (M 4) + S G R (M)
      S G (M 5) = S G (M 5) + S G R (M 1)
19 := C φ NTINUE
      D φ ← 22 ← K 4 = 1,5
      K = M 4 + (J 2 - 1) * 5 + K 4 - 5
22 := S G (K) = S G K) + S G R (M + K 4)
18 := C φ NTINUE

```

На этом работа с элементами строки жесткости первого подкрепленного ребра заканчивается. Следующим этапом является алгоритм формирования строки жесткости второго ребра и стыковки ее элементов с элементами основной матрицы. Если второго подкрепленного ребра жесткости для данного элемента нет, то осуществляется выход из подпрограммы формирования полной матрицы (строки) жесткости подкрепленного элемента.

2.3. Блок проверки наличия второго подкрепляющего ребра и выхода из подпрограммы

```

      I F (K R - 1) 25, 26, 26
25 := I H = I K + 1
      I K = I H + 1
      I I = M B II (I H)
      I F (I I) 27, 26, 27
      27 := K R = 1
      G φ ← T φ ← 1
      RETURN
      END

```

Отличительной стороной рассмотренной подпрограммы является то, что она может быть использована как самостоятельная программа библиотеки матриц жесткости и, что самое главное, входит без изменений как подпрограмма в алгоритм вычисления матриц жесткости конечных элементов треугольной и четырехугольной форм.

§ 22. Оценка точности решения на тестовых задачах

Для оценки точности численных методов решения и проверки правильности работы алгоритма решения задач теории упругости выбран ряд

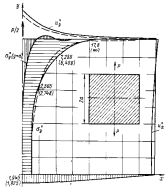


Рис. 27. Распределение поперечных перемещений в квадратной пластине σ_0^2 при нагрузке квадратной пластине сопроточечными сечениями.

— решение МКЭ; — — — аналитическое решение; в скобках — результаты инженерного решения.

тестовых задач, аналитическое решение которых дано в моментом виде, выражено через лагрангianские функции.

1. Плоская деформация квадратной пластины под действием двух сосредоточенных сил. Разбивка на четырехугольные элементы показана на рис. 27. В пределах элемента перемещения аппроксимированы квадратичными функциями, что достигнуто двумякой трапециoidalной каждого четырехугольника. Напряжения и перемещения представим в виде

Таблица 6. Прогибы в центре свободки второй пластины

Размер сетки	Распределенная нагрузка		Сосредоточенная сила	
	Численное решение			
	I	II	I	II
3 x 3	0,4215	0,2444	0,137	0,139
4 x 4	0,4110	0,2343	0,124	0,125
8 x 8	0,4077	0,2404	0,118	0,117
12 x 12	0,4071	—	0,117	—
16 x 16	0,4065	0,4006	0,116	0,117
Точное решение	0,4062	—	0,116	—
Максимум	$\frac{Q_0}{D} \cdot 10^{-3}$	$\frac{P_0}{D} \cdot 10^{-3}$	$\frac{Q_0}{D} \cdot 10^{-3}$	$\frac{P_0}{D} \cdot 10^{-3}$

Таблица 7. Прогибы в центре жестко заданной пластины

Размер сетки	Распределенная нагрузка		Сосредоточенная сила	
	Численное решение			
	I	II	I	II
3 x 3	0,157	0,094	0,682	0,614
4 x 4	0,154	0,119	0,599	0,574
8 x 8	0,129	0,127	0,573	0,558
12 x 12	0,127	—	0,563	—
16 x 16	0,127	0,128	0,565	0,561
Точное решение	0,127	—	0,560	—
Максимум	$\frac{Q_0}{D} \cdot 10^{-3}$	$\frac{P_0}{D} \cdot 10^{-3}$	$\frac{Q_0}{D} \cdot 10^{-3}$	$\frac{P_0}{D} \cdot 10^{-3}$

$$\left. \begin{aligned} \sigma_x &= \frac{P}{2a} \sigma_x^0; \quad \sigma_y = \frac{P}{2a} \sigma_y^0; \\ \sigma_{xy} &= \frac{P}{2a} \sigma_{xy}^0; \\ u &= \frac{1 - \nu^2}{E} P u^0; \quad v = \frac{1 - \nu^2}{E} P v^0, \end{aligned} \right\} \quad (22.1)$$

где a — половина стороны квадрата.

На рис. 27 приведены результаты расчета на решетке сетки с числом узлов, равным 81 для четверти квадрата. При этом жесткое смещение

Таблица 8. Нормальные напряжения в центре свободной окружности квадратной пластины

Размер сетки	Распределенная нагрузка		Сосредоточенная сила	
	Численные решения		Численные решения	
	I	II	I	II
3 x 3	3,283	2,656	1,804	1,391
4 x 4	2,985	2,816	1,143	1,483
8 x 8	2,803	2,817	1,619	1,511
12 x 12	2,881		1,669	-
16 x 16	2,880	2,888	2,000	1,520
Суммарное значение	2,873		-	-
Множитель	$\Phi e^{-1} \cdot 10^{-1}$		F	

Таблица 9. Максимальные напряжения в центре чистой заделки квадратной пластины

Размер сетки	Распределенная нагрузка		Сосредоточенная сила	
	Численные решения		Численные решения	
	I	II	I	II
3 x 3	1,696	1,342	1,258	-
4 x 4	1,520	1,344	1,076	1,363
8 x 8	1,412	1,388	1,097	1,385
12 x 12	1,381		1,047	-
16 x 16	1,386	1,374	1,079	1,388
Суммарное значение	1,386		-	-
Множитель	$\Phi e^{-1} \cdot 10^{-1}$		F	

Таблица 10. Максимальные напряжения в центре чистой заделки квадратной пластины

Размер сетки	Распределенная нагрузка		Сосредоточенная сила	
	Численные решения		Численные решения	
	I	II	I	II
3 x 3	-1,124	-1,108	-	-0,438
4 x 4	-1,093	-1,022	-0,786	-0,648
8 x 8	-1,092	-1,064	-0,737	-0,711
12 x 12	-1,087	-	-0,737	-
16 x 16	-1,084	-1,012	-0,736	-0,714
Суммарное значение	-1,084		-0,736	
Множитель	$\Phi e^{-1} \cdot 10^{-1}$		F	

квадрата исключалось путем полного закрепления точки O и закрепления точки A от перемещения вдоль оси x .

Приведенные данные позволяют заключить, что даже для задачи с сосредоточенной силой при первом порядке аппроксимации и из сравнения рядах сеток ИКЭ дают удовлетворительные результаты уже на некотором расстоянии от точки приложения силы. Более точное решение можно получить путем выявления особенности задачи.

2. Ингиб квадратной пластины, загруженной равномерно распределенной нагрузкой. В работах [12, 29] указанная задача рассмотрена при условии свободного сопряжения пластины и жесткого защемления по контуру.

На основании симметрии загрузки и условий закрепления пластины в расчетах рассматривалась только четверть части исследуемой области, которая аппроксимировалась прямоугольными конечными элементами. Число конечных элементов принималось равным 4, 16, 64, 144, 256, коэффициент Пуассона во всех случаях равнялся 0,3.

В табл. 6-10 приведены значения прогибов и напряжений, которые определены в наиболее напряженных точках квадратной пластины. Численные решения, полученные на основе рассмотренной методики (в таблицах обозначены цифры I), совпадают с результатами, приведенными в [29] (в таблицах обозначены цифры II) и точными решениями [35].

3. Ингиб квадратной пластины, загруженной сосредоточенной силой F в центре. Результаты решения данной задачи приведены в табл. 6-10 совместно с результатами предыдущего решения. При использовании рассматриваемого подхода наблюдается более интенсивный рост напряжений в центре пластины при увеличении размеров элементов, чем в случае использования несовместного прямоугольного и треугольного мезельдов.

Во всех рассмотренных случаях наблюдается малоточечная сходимость к точному решению исследуемых задач. Для исследования точности схем на основе рассмотренной методики в районе особых точек рассмотрим еще один пример.

4. Симметричный изгиб свободно опорной квадратной пластины, которая загружена равномерно распределенной нагрузкой, действующей на квадрат со сторонами $\lambda \times \lambda$ (рис. 28). Результаты расчета коэффициентов β напряжений моментов M_1 и M_2 в центре пластины показаны на рис. 29. Здесь же сплошной линией приведены значения коэффициентов β , полученные аналитическим методом С. П. Тимошенко [35].

Анализируя результаты, можно отметить, что наблюдается удовлетворительное соответствие аналитических и численных решений в окрестности особых точек.

Чтобы оценить точность решения при использовании произвольных четырехугольных конечных элементов на исследованную область квадратной свободно опорной и жестко заделанной пластины наносилась произвольная сетка, характер которой представлен на рис. 30.

На рис. 31 сплошно обозначены результаты численного расчета напряжений в рассматриваемой пластине, полученных при использовании регулярной в браиндовой форме, когда число конечных элементов равно 144. Значения нормальных напряжений сравниваются в точках пластины, лежащих на диагонали λ . Необходимость такого сравнения объясняется тем, что при браиндовой сетке напряжения определяют обычно в центре тяжести элемента. Поэтому сетка наносилась таки-

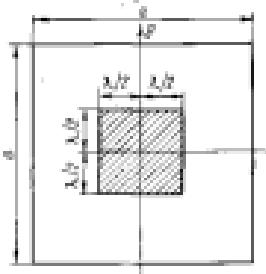


Рис. 28. Графическая схема квадратной свободно опорной пластины при изгибе нагрузкой, интенсивностью Φ , равномерно распределенной на квадрат со сторонами $\lambda \times \lambda$.

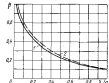


Рис. 29. Изменение коэффициента $\beta = M / (M_0\Phi)$ для свободно опорной, чисто нагруженной квадратной пластины ($\mu = 0.3$):

1 — точка решения; 2 — решение по МКЭ.

образом, чтобы диагональные конечные элементы были симметричны относительно оси λ . В этом случае центры тяжестей элементов при правильной и произвольной разбивке лежат на одной прямой.

Как видно из рис. 31, значение напряжения, вычисляемое в центре тяжести четырехугольных конечных элементов, хорошо совпадает с theory распределения напряжений, найденным при использовании регулярной сетки.

Следующий рассмотренный пример устанавливает соответствие между аналитическим и численным решениями при исследовании осесимметричного изгиба свободно опорной на востоке пластины цилиндрической оболочки.

На рис. 32 приведены результаты расчета оболочки, находящейся под действием бокового равномерного давления. Сплошной линией показана кривая Ильинского прогиба оболочки согласно точному решению [36], пунктиром и штрихпунктиром показаны прогибы той же оболочки при использовании метода конечных элементов соответственно при числе конечных элементов $n = 8$ одна оболочка; $n = 8$ в поверхном направлении и $n = 16$, $n = 8$. видим, что уже при $n = n = 8$ метод конечных элементов приводит к удовлетворительноному результату и отличиям прогибов оболочек.

На основании анализа выполненных численных экспериментов можно сказать вывод о том, что степень соответствия полученных решений по МКЭ с использованием рассмотренной матрицы жесткости вполне удовлет-

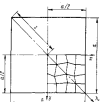


Рис. 30. Примененная схема разбивки пластины на произвольные четырехугольные элементы.

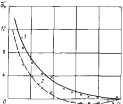


Рис. 31. Сравнительная оценка точности относительных напряжений $D_0 = 1844\mu/l^2$ для изгиба λ квадратной пластины при изгибе от предварительной силы F :

— решает Ильинский; — численные производственные элементы; X, O — с помощью четырехугольных элементов; 1 — свободное изгижение; 2 — жесткое защемление.

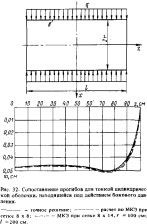


Рис. 32. Сопоставление прогибов для тонкой трапециевидной оболочки, находящейся под действием горизонтального давления.

— точное решение; —— — расчет по МКО при $R = 8$; ····· — МКО при $R = 100$, $R = 100$ см;
 $f = 200$ см.

вертикальный разрез при крутой разбивке пластины на конечные элементы. Уменьшение размеров конечных элементов обеспечивает сходимость результатов к точному решению.

§ 23. Примеры решения задач

Рассмотрим некоторые результаты решений задач, характерные для субструктурных расчетов, выполненных с использованием приема изогнутой аппроксимации элементов функционала. Основные результаты получены при локальной крутой сетке, но также возможна отработка общего напряженно-деформированного состояния с достаточной точностью.

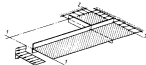


Рис. 33. Расчетная схема плоского перекрытия при решении плоской задачи теории упругости.

Для оценки характера напряженного состояния с большими градиентами следует воспользоваться приемом выделения соответствующих областей и построения уточненной расчетной схемы, что и было выполнено в необходимых случаях.

Изследование напряженного состояния патрубков перекрытий. Плоская задача теории упругости. Рассмотрим патрубок перекрытия, изображенный на рис. 33. В районе закругления в узле линейного отверстия используется промежуточная сетка (рис. 34), давшая возможность приблизительно считать напряженное состояние в этой зоне.

При построении расчетной схемы предполагается, что перекрытие симметрично относительно осей 1-1 и 2-2. Такое предположение накладывает особые условия на характер продольных перемещений точек, лежащих в сечениях 1-1 и 2-2.

Условие симметрии относительно оси 2-2 дает возможность считать перемещения точек, лежащих на этой оси, различными вида. Симметрия перекрытия относительно оси 1-1 приводит к равномерному закону распределения продольных перемещений точек, лежащих в этом сечении, что и было отражено при численной реализации алгоритма расчета рассматриваемого перекрытия. Использован-

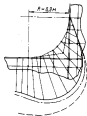


Рис. 34. Детализация области с изогнутостью и распространение плавных напряжений в зоне кромки.

— распределение при неизогнутом контуре; —— — то же при разогнутом контуре;
 —— — без патрубка; t_0 — изогнутость контура патрубка; $\sigma_{11}^{(0)}$ — главные напряжения; $\sigma_{11}^{(0)} = \text{среднее напряжение в сечении } 1-1 \text{ см. рис. 33}; \sigma_{11}^{(0)} / \sigma_{11}^{(0)} = 1,04; \sigma_{11}^{(0)} = 1,04 \text{ кг/м}^2$.

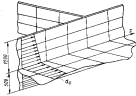


Рис. 35. Схема дискретизации при решении плоской задачи толстой обшивки и распространения продольных напряжений изгибающей по высоте конвекции в листах.

лась две расчетные схемы. Первая схема предполагала представление палубных пластины и подкрепляющих продольных и поперечных балок (комингсы, бимсы) системой конечных элементов (рис. 35).

При реализации второй схемы стрингеры и бимсы были представлены как балки. Учитывалась экспоненциальная зависимость сечений подкрепляющих ребер, т. е. использовалась схема, отраженная в предыдущих параграфах в главах. Более того, чтобы оценить влияние объемного изгиба корпуса судна на плоское напряженное состояние палубных пластин, вторая расчетная схема представляла собой моделированный отсек, симметричный относительно осей 1-1, 2-2 и загруженный в сечении 1-1 изгибающим моментом M (рис. 36).

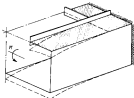


Рис. 36. Иллюзация отсека при симметричном изгибающем напряженном состоянии властен палубного перекрытия.

Особенности приводимых краевых кромок палубы сечений 1-1 и 2-2 отечественной расчетной схеме 1.

Результаты расчетов по двум рассмотренным схемам представлены на рис. 37. Шифр 1 обозначены результаты расчета по первой схеме, шифр 2 — по второй. Из сравнения этих данных видно, что различия в результатах находятся в пределах точности применяемых схем дискретизации.

Вторая расчетная схема была реализована при следующих предположениях: в пределах борта и днища сплошными гипотезами плоских сечений; пластины борта и днища не редуцируются.

При принятых допущениях характер поперечных деформаций палубного перекрытия имеет вид, показанный на рис. 38. При переводе корпуса судна на бесконечную прогиб палубного перекрытия. Следует учесть, что в рассматриваемом случае не были учтены подкрепляющие связи, кроме указанных. Поэтому деформации связей палубы, отраженные на этом рисунке, характеризуют лишь качественную скорость изгиба. Такой подход вполне приемлем, поскольку в данном случае устанавливается лишь соотношение между двумя расчетными схемами при однократном напряженном состоянии.

Поперечный изгиб перекрытий. Прежде всего рассмотрим цилиндрический изгиб пространственного перекрытия под действием равномерно распределенной нагрузки (рис. 38). В этом случае реализуется классическая схема привлечения к работе пакетов широкополосных балок. Распределение ценных напряжений в сечениях по ширине перекрытия показано на рис. 39. Рассмотренный "классический" характер распределения ценных напряжений, как результат взаимодействия обшивки и подкрепляющих ребер, в реальных судовых перекрытиях встречается довольно редко. Поэтому дать определенные рекомендации и определение источника присоединенных пакетов широкополосных балок в общем случае является довольно трудно.

Оценить влияние более сложного изгиба на приводимые пакеты балок в работе можно, рассмотрев, например, изгиб перекрытия, свободно опорного по контуру на жесткий контур (рис. 40).

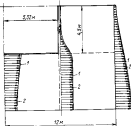


Рис. 37. Сравнение результатов по двум расчетным схемам:

— результаты решения плоской задачи толстого изгиба; — результаты расчета с учетом пространственного деформирования отсека.

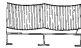
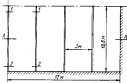


Рис. 39. Распределение линейных напряжений в схемах простого перекрытия.

$I_1 = \text{стенка } I-1$; $I_2 = \text{стенка } 2-2$.



Рис. 40. Расчетная схема простого перекрытия.

$I_1 = 20,6 \cdot 10^{-4} \text{ м}^2$; $F = 1,76 \cdot 10^{-1} \text{ м}^2$; $\eta = -0,004 \text{ м}$.

В этом случае поперечная нагрузка должна быть представлена совокупностью координаточных сил, прикладываемых в узловых точках.

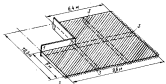


Рис. 41. Расчетная схема палубного перекрытия на действие поперечной нагрузки.

$I_1^0 = 1,68 \cdot 10^{-4} \text{ м}^2$; $I_1^1 = 1,37 \cdot 10^{-4} \text{ м}^2$; $I_1^2 = 0,8 \cdot 10^{-4} \text{ м}^2$; $F_1 = 4,28 \cdot 10^{-1} \text{ м}^2$; $F_2 = 4,04 \cdot 10^{-1} \text{ м}^2$; $F_3 = 1,68 \cdot 10^{-1} \text{ м}^2$; $D_1 = -0,167 \text{ м}$; $D_2 = -0,001 \text{ м}$; $D_3 = -0,133 \text{ м}$.

Это дает возможность исключить местный изгиб плитки между ребрами и обеспечить соответствие в силовой схеме для двух сопоставимых вариантов расчета.

Распределение линейных напряжений в поле перекрытия, отвечающие уточненной постановке, носят довольно сложный характер, что хорошо

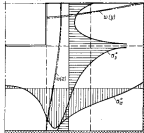


Рис. 42. Краевые распределения края подкрепленных плиток $w(y)$ и линий напряжений $\sigma_1(y)$ в схеме палубного перекрытия.

— уточненная схема расчета; - - - - стержневая схема изображения.

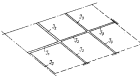


Рис. 43. Стержневая аппроксимация палубного перекрытия.

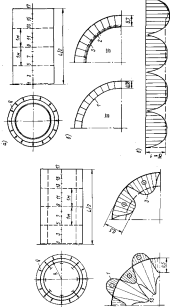


Рис. 41. Деформации неоднородной пластины при нагрузке в сечении и стрелой прогиба.

— расчетные схемы;
— деформации пластинки;

— изображение деформации.



Рис. 42. Деформации неоднородной пластины при нагрузке в сечении и стрелой прогиба.

— расчетные схемы;

— деформации пластинки;

— изображение деформации.

венно из рис. 41. Естественно, отразить это при сплошной аппроксимации перекрытия не представляется возможным. Но при сдвиге такой интегральной характеристики, как прогиб, обе расчетные схемы приводят практически к одинаковым результатам. Рассмотренный пример не дает оснований говорить, что такое соответствие будет всегда. Но известно, что при определенных соотношениях геометрических параметров подкрепления ребер в обшивке обе расчетные схемы могут приводить к близким результатам, что и подтверждает рассмотренный пример.

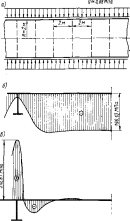


Рис. 43. Распределение напряжений в сечениях бесконечной обшивки, подкрепленной ребрами:

а — расчетные схемы;

б — распределение поперечных силовых напряжений в обшивку обшивки;

в — распределение продольных изгибаемых напряжений.

Деформации цилиндрической оболочки, покрепленной ребрами жесткости. Рассмотрим несколько вариантов подкрепления цилиндрической оболочки и оцените их влияние на поведение оболочки под действием бокового давления Q . Для всех случаев подкрепления строим и изображаем имеющие следующие характеристики:

$$\begin{aligned} J_{\text{пл}}^2 &= 0,14 \cdot 10^{-4} \text{ м}^4; \quad J_{\text{стР}}^2 = 1,09 \cdot 10^{-4} \text{ м}^4; \\ F_{\text{пл}} &= 0,30 \cdot 10^{-3} \text{ м}^2; \quad F_{\text{стР}} = 0,60 \cdot 10^{-3} \text{ м}^2; \\ \eta_{\text{пл}} &= 0,135 \text{ м}; \quad \eta_{\text{стР}} = 0,268 \text{ м}. \end{aligned}$$

Толщина оболочки равнялась 1 см и радиус $R = 2$ м. Остальные данные приведены на соответствующих расчетных схемах. Наиболее характерные результаты приведены на рис. 43–45.

В заключение следует заметить, что представленные в данном параграфе примеры расчета не могут быть использованы для конкретных обобщений и сути ограниченностей информации. Они служат лишь иллюстрацией крута задач, который может быть рассмотрен с помощью полученных матриц жесткости. По этой причине в основном мы ограничивались представлением качественной картины напряженно-деформированного состояния той или иной задачи, ее отдаленными аналогиями конкретными числовыми результатами.

§ 24. Некоторые замечания и рассмотренному алгоритму

Алгоритмы поэлементной аппроксимации конечногранулевой, дискретизированной выши, базируются на симплексных полиномах. Ограничивааясь этими полиномами, мы тем самым предопределяем порядок сходимости решений. Если не является чистых задач, то в общем они будут находиться на уровне сходимости решений, полученных с помощью неполных полиномов при минимальном возможном числе узловых неизвестных. Например, при решении задач изгиба жестких пластин с помощью четырехугольных элементов это число равно двенадцати. Здесь мы сравнивали решения только с решениями, полученно складывающимся в точках. Эту особенность необходимо иметь в виду при исследовании напряженно-деформированного состояния в местах с большим градиентом исследуемых параметров.

Для улучшения сходимости решений задач поперечного изгиба при аппроксимации поперечной составляющей перемещения можно использовать полином более высокой степени, оставив идентичным алгоритм аппроксимации для всех других элементов функционала. Это даст возможность более точно учесть работу поперечной нагрузки и несколько усилить сходимость решения.

Симплексные полиномы при аппроксимации поперечной составляющей полного перемещения фактически ограничивают перемещение элемента как жесткого тела. Такой характер аппроксимации приводит к нулевой относительной линейной деформации при расчете оболочек с учетом смещения элементов как твердого тела. Для возможности учета упругой деформации, симплекс с поперечной составляющей перемещений, необходимо более высокий порядок аппроксимации прогиба, что и было сделано при изложении одного из способов построения матрицы жесткости прямоугольного элемента оболочки.

Последнее замечание касается схемы дискретизации. Необходимо избегать таких элементов, у которых две смежные стороны разны и разномощны к одной из осей координат. В этом случае мы приходим к вырожденному решению. Последнее замечание не является столь серьезным, поскольку всплыть можно легко избежать такой ситуации. Тем более что оно несет слишком частный характер.

ВАРИАЦИОННО-РАЗНОСТНАЯ ПРОЦЕДУРА В СХЕМЕ МЕТОДА КОНЕЧНЫХ ЭЛЕМЕНТОВ

§ 26. Особенности вариационно-разностного метода.

Достоинства и недостатки

В предыдущих главах рассмотрены некоторые варианты построения разностных уравнений на основе потенциальной аппроксимации компонентов перемещения точек средней поверхности элементов или частных производных от компонентов перемещения. Были получены матрицы жесткости для трехугольных и четырехугольных элементов при соблюдении минимальных минимальных сплайнов, связанных с интегрированием. Операции интегрирования можно избежать не только использованием δ -координат, Но и при применении вариационно-разностной процедуры в методе конечных элементов, которая является более совершенной версии вариационно-разностного метода (ВРМ). Этот метод может быть также основан на принципе Лагранжа и связана с минимизацией интеграла, представляющего потенциальную энергию деформации тела.

Особенностью ВРМ является то, что дискретизация в этом случае проводится на уровне потенциальной энергии. Равноточныя ячейки некоторой функционалов получаются путем представления интегралов в виде конечных сумм, а производные – конечно-разностными выражениями, полученным исходя из разложения ячейкой функции в окрестности узла элемента в ряд Тейлора.

Благодаря использованию вариационных принципов ВРМ имеет ряд достоинств, как и МКЭ. Он облегчает формулировку краевых и контактных задач и позволяет исключить из специального рассмотрения статические граничные условия, называемые естественными. Вариационная формулировка разностных уравнений облегчает доказательство существования краевых задач, использование свойств уравнений и соодинности решения. Матрицы алгебраических уравнений всегда симметричны.

В то же время классический вариант ВРМ имеет существенный недостаток, который можно показать на примере дискретизации некоторой задачи, решение которой производится на основе функционала

$$J = J \left(u, v, w, \frac{\partial u}{\partial x_i}, \frac{\partial v}{\partial x_i}, \frac{\partial^2 w}{\partial x_i \partial x_j} \right), \\ i, j = 1, 2.$$

Рассмотрим производную область, на которую наложим основную и вспомогательную (пунктир) сетки, отображение которой показано на рис. 46.

При дискретизации выражения потенциальной энергии деформации средней поверхности предполагается, что она постоянна в пределах каждого элемента, ограниченного стоящими линиями. Тогда выражение для энергии деформации средней поверхности в дискретной формулировке будет иметь вид

$$V_{\text{ср.п}} = \sum_{p=1}^M (F_p)_{\text{ср.п}} S_p, \quad (25.1)$$

где S_p – площадь элемента; M – общее количество элементов.

В этом случае принципиальной разницы между ВРМ и МКЭ не наблюдается.

При расчете потенциальной энергии изгиба в классической схеме ВРМ даже облегчая несколько куче, так как в этом случае высшие производные находятся относительно узловых единиц решаемых распределенных функций, определяемых на элементах стальной области, к расстоянию между узлами. Характерным является появление таксономических точек при аппроксимации в зоне контура, что обязывает ввести дополнительные условия для их расположения. Это нарушает стройность машинного алгоритма. Часто для исключения закономерных точек в районе узлов в контуре области используют симметричные разности. Но в этом случае нарушаются симметричность системы уравнений, что является также недостатком этой схемы.

Исходный дискретный аналог выражения потенциальной энергии изгиба при использовании ВРМ имеет вид

$$V_u = \sum_{x=1}^N V_x S_x, \quad (25.2)$$

где N – количество узлов основной сетки; S_x – площадь области, ограниченной линиями дополнительной сетки, в окрестности узла x . Если сравнить выражения (25.1) и (25.2), то выявится второй недостаток – различная схема дискретизации исходного функционала. Это в свою очередь отражается на машинном алгоритме, который усложняется при использовании производной сетки.

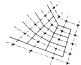


Рис. 46. Дискретизация области в классической схеме ВРМ.

§ 26. Вариационно-разностный подход
в схеме метода конечных элементов

Одномерные недостатки можно легко ликвидировать, если использовать вариационно-разностный подход в схеме метода конечных элементов. При этом предполагается, что дискретизация производится как на уровне элементов, так и внутри области элементов, т. е. предполагается, что упругий потенциал постоянен в окрестности узла элемента. Тогда дискретный аналог полной энергии системы записывается в виде

$$J = \frac{M}{\sum_{i=1}^M} \sum_{r=1}^K J_{pr} - \frac{S_p}{R}, \quad (26.1)$$

где M – количество элементов; K – количество вершин элемента; S – площадь элемента.

Система разрешающих континуально-разностных уравнений задач строительной механики образуется по методу Гирголи, при этом используются условия стационарности

$$\frac{\partial J}{\partial q_j} = 0, \quad (26.2)$$

где q_j – некоторое обобщенное уравнение перемещения.

Чтобы не вводить исключительной сложности в законченных точках, необходимо выбирать такие разностные схемы, при которых используются только константы в узлах рассматриваемого элемента, т. е. строить систему уравнений, используя матрицы жесткости элементов, коэффициенты которых определялись бы из зависимости

$$K_{mn} = \frac{d}{\partial q_m \partial q_n} \sum_{r=1}^K V_r \frac{S}{R}, \quad (26.3)$$

где V_r – потенциальная энергия элемента в окрестности узла r .

Рассмотрим этот процесс на примере построения матрицы жесткости прямоугольного элемента, изображенного на рис. 47.

Рис. 47. Прямоугольный конечный элемент

Выражение для энергии элемента в данном случае лучше представить в виде

$$V_r = \frac{B}{2} \iint_S e_{11}^2 dS + \frac{B}{2} \iint_S e_{22}^2 dS + \\ + (1-\nu) B \iint_S e_{12}^2 dS + \nu B \iint_S e_{11} e_{12} dS, \quad (26.4)$$

где интегрирование распространяется по площади элемента.

Оценим дискретизацию функций и пределов элемента, записав

$$V_r = \frac{a \cdot b}{8} B (e_{1111}^2 + e_{111f}^2 + e_{111b}^2 + e_{111r}^2) + \\ + \frac{a \cdot b}{8} B (e_{113f}^2 + e_{113b}^2 + e_{113r}^2 + e_{133f}^2) + \\ + \nu \frac{a \cdot b}{4} B (e_{111f} e_{113f} + e_{111f} e_{113b} + e_{111b} e_{113b} + \\ + e_{111f} e_{113r}) + (1-\nu) \nu \cdot b B e_{113b}^2, \quad (26.5)$$

где e_{111f} – значение e_{11} в f -м узле и т. д.

Значение частной производной e_{11} в данном случае определяется по центру элемнта в точке r .

В рассмотренном примере применим аппроксимирующие зависимости исходя из разложения функций в ряд Гейлора в окрестности рассматриваемой точки:

$$\left. \begin{aligned} e_{111f} &\approx \frac{2}{a^2} (q_{3k} - q_{1j}) + \frac{2}{a} q_{4k}; \\ e_{111b} &\approx \frac{2}{a^2} (q_{3l} - q_{1j}) + \frac{2}{a} q_{4l}; \\ e_{111r} &\approx \frac{2}{a^2} (q_{3j} - q_{3k}) + \frac{2}{a} q_{4k}; \end{aligned} \right\} \quad (26.6)$$

$$e_{11,1} = \frac{2}{a^2} (q_{31} - q_{11}) + \frac{2}{a} q_{11};$$

$$e_{11,2} = \frac{2}{b^2} (q_{32} - q_{12}) + \frac{2}{b} q_{12};$$

$$e_{11,3} = \frac{2}{b^2} (q_{33} - q_{13}) + \frac{2}{b} q_{13};$$

$$e_{11,4} = \frac{2}{b^2} (q_{34} - q_{14}) + \frac{2}{b} q_{14};$$

$$e_{11,5} = \frac{2}{b^2} (q_{35} - q_{15}) + \frac{2}{b} q_{15};$$

$$e_{11,6} = \frac{1}{a b} (q_{36} - q_{16} - q_{37} + q_{17}).$$

Подставляя (26.6) в (26.5) и используя уже известные операции, получим значения коэффициентов матрицы жесткости прямоугольного элемента, работающего на изгиб.

Матрица жесткости в развернутом виде записывается так:

k_1	k_2	k_3	k_4	k_5	k_6	k_7	k_8	k_9	k_{10}	0	0
k_{11}	k_{12}	k_3	0	0	$-k_5$	0	0	0	0	0	0
k_{12}	$-k_3$	0	0	k_6	0	0	0	0	0	0	0
k_1	k_2	$-k_3$	k_{10}	0	0	k_7	k_8	$-k_9$			
k_{10}	$-k_{12}$	0	0	0	$-k_5$	0	0				
k_{13}	0	0	0	$-k_5$	0	0					
k_1	$-k_3$	k_3	k_6	$-k_5$	k_6						
k_{11}	$-k_{12}$	$-k_3$	0	0	0	$-k_9$	0	0			
k_{12}	$-k_3$	0	0	k_6	0	k_7	k_8	$-k_9$			
k_1	$-k_3$	$-k_3$	k_6	$-k_5$	k_6						
k_{11}	$-k_{12}$	$-k_3$	0	0	0	$-k_9$	0	0			
k_{12}	$-k_3$	0	0	k_6	0	k_7	k_8	$-k_9$			
k_1	$-k_3$	$-k_3$	k_6	$-k_5$	k_6						

Симметрично

(26.7)

где

$$k_1 = \frac{2}{a^2} \left(\frac{1}{m} + m + m^2 \right); \quad k_2 = \frac{1}{m a};$$

$$k_3 = \frac{1}{a} \left(\frac{1}{m} + m m \right); \quad k_4 = -\frac{m}{a};$$

$$k_5 = \frac{1}{a} \left(m^2 + m \right); \quad k_6 = \frac{2 m}{a^2};$$

$$k_7 = -\frac{2}{a^2} \left(m + m^2 \right); \quad k_8 = \frac{1}{m};$$

$$k_9 = -\frac{m}{b}; \quad k_{10} = m;$$

$$k_1 = \frac{m}{b}; \quad k_{12} = m;$$

$$k_2 = -\frac{2}{a^2} \left(\frac{1}{m} + m \right); \quad m = \frac{a}{b}.$$

Как видно из (26.7) и (26.8), коэффициенты матрицы жесткости имеют очень простой вид, а сама матрица является редко заполненной, что также имеет отдаленное значение. Из рассмотренного примера ясно, что вариационно-разностный подход хорошо записывается в численную схему метода конечных элементов и преобразует основные его преимущества.

§ 27. Конечно-разностные зависимости для частных производных от носовых функций и узловых точек

Из предыдущего параграфа следует, что схема получения коэффициентов матрицы жесткости элементов практически не отличается от рассмотренной в главах II, III. Поэтому главное внимание должно быть удалено построению разностных аналогов дифференциальных операторов, которые являются основой в алгоритме построения матрицы жесткости.

Методика построения таких операторов остается прежней. Прежде всего рассмотрим определение значений в узловых точках первых частных производных на основе зависимостей (10.9), (10.10).

В окрестности узла J разложим исходные функции φ в ряд Тейлора по Ньютона:

$$\varphi_{j+1} = \varphi_j + \frac{\Delta I}{1!} \left(\frac{\partial \varphi}{\partial I} \right)_j + \frac{(\Delta I)^2}{2!} \left(\frac{\partial^2 \varphi}{\partial I^2} \right)_j + \dots \quad (27.1)$$

Тогда с точностью до $(\Delta I)^2$ получим искомые соотношения

$$\left(\frac{\partial \varphi}{\partial I} \right)_j = \frac{\varphi_{j+1} - \varphi_j}{\Delta I}. \quad (27.2)$$

Подставив (27.2) в (10.9), получим

$$\{e_x\} = [A]_J \{q_u\}; \quad \{e_y\} = [A]_J \{q_v\}. \quad (27.3)$$

Система (27.3) полностью совпадает с полученной ранее (10.14). Это объясняется тем, что (27.3) отвечает линейному характеру изменение функций в пределах ΔI . Этот же закон был принят при аппроксимации состояния конечного элемента и в § 10.

Вторые производные, как и прежде, можно определять на основе трехугольной и четырехугольной аппроксимации, если воспользоваться выражением (27.1) и ограничиться точностью определения искомых функций до $(\Delta I)^2$.

То есть

$$\left(\frac{\partial^2 \varphi}{\partial I^2} \right)_j = 2 \frac{\varphi_{j+1} - \varphi_j}{(\Delta I)^2} - \frac{2}{\Delta I} \left(\frac{\partial \varphi}{\partial I} \right)_j. \quad (27.4)$$

Применение трехугольной аппроксимации. В этом случае значения вторых частных производных e_{xx} и e_{yy} определяются из зависимостей (10.25) – (10.27), где коэффициенты матрицы $[A]$ имеют вид:

для треугольного элемента

$$\left. \begin{aligned} A_J^x &= 2(p_{jk}^2 + p_{jj}^2); & A_J^y &= 2(q_{jk}^2 + q_{jj}^2); \\ B_J^x &= 2x_{jk}p_{jk}^2; & B_J^y &= 2x_{jk}q_{jk}^2; \\ C_J^x &= 2p_{jk}x_{jk}^2; & C_J^y &= 2q_{jk}x_{jk}^2; \end{aligned} \right\} \quad (27.5)$$

$$\left. \begin{aligned} A_J^B &= -2y_{jk}^2; & A_J^C &= -2x_{jk}^2; \\ B_J^B &= 2x_{jk}p_{jk}^2; & B_J^C &= 2x_{jk}q_{jk}^2; \\ C_J^B &= 0; & C_J^C &= 0; \\ A_k^B &= -2p_{kj}^2; & A_k^C &= -2x_{kj}^2; \\ B_k^B &= 0; & B_k^C &= 0; \\ C_k^B &= 2p_{kj}x_{kj}^2; & C_k^C &= 2q_{kj}x_{kj}^2; \end{aligned} \right\} \quad (27.5)$$

для четырехугольного элемента зависимость (27.7) остается в силе, но добавляются еще краевые коэффициенты, поскольку число основных узловых неизвестных у четырехугольного элемента равно 12 против 9 у треугольного:

$$\begin{aligned} A_J^D &= 0; & A_J^E &= 0; \\ B_J^D &= 0; & B_J^E &= 0; \\ C_J^D &= 0; & C_J^E &= 0. \end{aligned}$$

Применение четырехугольной аппроксимации. В данном случае все зависимости остаются в силе, изменяется лишь вид матрицы $[B]$:

$$[B]_J = 2 \begin{bmatrix} -1 & x_{ij} & x_{ij} & 1 & 0 & 0 & 0 & 0 & 0 & 0 & 0 & 0 \\ -1 & x_{ik} & x_{ik} & 0 & 0 & 0 & 1 & 0 & 0 & 0 & 0 & 0 \\ -1 & x_{ij} & x_{ij} & 0 & 0 & 0 & 0 & 0 & 0 & 1 & 0 & 0 \end{bmatrix} \quad (27.6)$$

Вектор узловых неизвестных в задачах изгиба жестких пластин при определении вторых частных производных от прогиба применяется в данном случае следующим:

для треугольного элемента

$$\{q\} = \{q_{11} q_{44} q_{55} q_{33} q_{45} q_{14} q_{35} q_{15} q_{46} q_{56}\}; \quad (27.7)$$

для четырехугольного элемента

$$\{q\} = \{q_{11} q_{44} q_{55} q_{33} q_{45} q_{14} q_{35} q_{15} q_{46} q_{56} q_{16} q_{41}\}. \quad (27.8)$$

Для аппроксимации смешанной производной от прогиба предполагают несколько выражений, так как можно исходить из того, что смешанная производная постоянна в окрестности узлов элемента или постоянна

в пределах этого элемента, что и было принято при построении матрицы жесткости прямоугольного элемента в предыдущем параграфе.

В первом случае можно воспользоваться выражением

$$\begin{aligned} r_{11i} &= \frac{1}{2x_{ji}} (q_{ij} - q_{ii}) + \frac{1}{2x_{ki}} (q_{ik} - q_{ii}) + \\ &+ \frac{x_{ji}}{2x_{ji}} r_{11i} + \frac{x_{ki}}{2x_{ki}} r_{11i}, \end{aligned} \quad (27.9)$$

которое было приведено выше.

Тогда подставив в (27.9) зависимость (10.25), получим выражение смещенной производной r_{11} для узла i в развернутом виде

$$r_{11i} = [F]_i \{q\}, \quad (27.10)$$

где $\{q\}$ — вектор узловых неизвестных для элемента, определяемый по (27.3) или (27.5);

$$[F]_i = [N_1 N_2 N_3 N_4 N_5 N_6 N_7 N_8 N_9 N_{10} N_{11} N_{12}]$$

— для четырехугольного элемента и

$$[F]_i = [N_1 N_2 N_3 N_4 N_5 N_6 N_7 N_8 N_9]$$

— для треугольного элемента.

Коэффициенты N_j принимают здесь следующие значения:

$$\left. \begin{aligned} N_1 &= \frac{1}{\delta_j} \left(y_{ji}^2 \frac{x_{kj}}{x_{ji}} + x_{ji}^2 \frac{x_{kj}}{x_{ji}} \right); \\ N_2 &= \frac{x_{ki}}{\delta_j} \left(x_{ji}^2 \frac{x_{kj}}{x_{ji}} + y_{ji}^2 \frac{x_{kj}}{x_{ji}} \right) - \frac{1}{2x_{ji}}; \\ N_3 &= \frac{x_{ji}}{\delta_j} \left(x_{ki}^2 \frac{x_{kj}}{x_{ki}} + y_{ki}^2 \frac{x_{kj}}{x_{ki}} \right) - \frac{1}{2x_{ki}}; \\ N_4 &= \frac{1}{\delta_j} \left(x_{ki}^2 \frac{x_{kj}}{x_{ki}} + y_{ki}^2 \frac{x_{kj}}{x_{ki}} \right); \end{aligned} \right\} \quad (27.11)$$

$$\begin{aligned} N_5 &= \frac{x_{ji}}{\delta_j} \left(x_{ki}^2 \frac{x_{kj}}{x_{ki}} + y_{ki}^2 \frac{x_{kj}}{x_{ki}} \right) - \frac{1}{2x_{ki}}; \\ N_6 &= \frac{1}{\delta_j} \left(y_{ji}^2 \frac{x_{kj}}{x_{ji}} + x_{ji}^2 \frac{x_{kj}}{x_{ji}} \right) + x_j; \\ N_7 &= \frac{x_{ki}}{\delta_j} \left(x_{ki}^2 \frac{x_{kj}}{x_{ki}} + y_{ki}^2 \frac{x_{kj}}{x_{ki}} \right) - \frac{1}{2x_{ki}}; \\ N_8 &= N_9 = N_{10} = N_{11} = N_{12} = 0. \end{aligned} \quad \boxed{J}$$

Рассмотрим другой способ, широко используемый при численном решении задач вариационно-разностным методом.

На основании теоремы Грина имеем

$$\left. \begin{aligned} \iint_S \frac{\partial \varphi}{\partial x} dx dy &= \oint_S \varphi d y; \\ \iint_S \frac{\partial \varphi}{\partial y} dx dy &= - \oint_S \varphi d x. \end{aligned} \right\} \quad (27.12)$$

На основании теоремы о среднем значении в области S с границей C существует такая точка (x, y) , что выполняются следующие соотношения:

$$\left. \begin{aligned} \iint_S \frac{\partial \varphi}{\partial x} dx dy &= \frac{\partial \varphi}{\partial x} \iint_S dx dy; \\ \iint_S \frac{\partial \varphi}{\partial y} dx dy &= \frac{\partial \varphi}{\partial y} \iint_S dx dy. \end{aligned} \right\} \quad (27.13)$$

В связи с тем, что $\iint_S dx dy = \oint_S x d y$, получим

$$\frac{\partial \varphi}{\partial x} \oint_S x d y = \oint_S \varphi d y; \quad (27.14)$$

$$\frac{\partial \varphi}{\partial x} \oint x d y = - \oint \varphi dx. \quad (27.15)$$

Разделив последние зависимости относительно $\frac{\partial \varphi}{\partial x}$, $\frac{\partial \varphi}{\partial y}$, приходим к выражениям для первых частных производных:

$$\frac{\partial \varphi}{\partial x} = \frac{\oint \varphi dy}{\oint x dy}; \quad \frac{\partial \varphi}{\partial y} = - \frac{\oint \varphi dx}{\oint x dy}, \quad (27.16)$$

Области S являются отдельными элементами и для вычисления контурных интегралов необходимо знать значения функции на границах элементов, которые можно доопределить, используя линейную интерполяцию между узлами элемента. Это позволяет свести контурные интегралы к сумме производных средних значений на соответствующие длины граничных элементов.

Кроме зависимостей (27.16) на основании (27.12) – (27.13) можно получить

$$\left(\frac{\partial \varphi}{\partial x} \right)_m = \frac{1}{S} \oint \varphi dy, \quad \left(\frac{\partial \varphi}{\partial y} \right)_m = - \frac{1}{S} \oint \varphi dx, \quad (27.17)$$

где S – площадь элемента.

Отложив φ в x_{ij} и y_{ij} , получаем следующие выражения для смешанной производной в центре элемента:

для четырехугольного элемента

$$e_{11,xy} = \frac{1}{4S} [x_{ij}(q_{xj} - q_{xi}) + x_{ij}(q_{yj} - q_{ik}) + \dots + x_{kj}(q_{xi} - q_{sj}) + x_{kj}(q_{yk} - q_{sj})]; \quad (27.18)$$

для треугольного элемента

$$e_{11,xy} = \frac{1}{3S} [x_{ij}q_{xi} + x_{ij}q_{yj} + x_{ij}q_{ik} - x_{kj}q_{xi} - x_{kj}q_{yj} - x_{kj}q_{ik}]. \quad (27.19)$$

Следует остановиться как на одном варианте краевоекской аппроксимации смешанной производной, хорошо зарекомендовавшей себя в расчетах,

используя зависимость

$$\begin{Bmatrix} \frac{\partial \varphi}{\partial x} \\ \frac{\partial \varphi}{\partial y} \end{Bmatrix} = [A]_J \{q\}. \quad (27.20)$$

Так как

$$\frac{\partial^2 w}{\partial x \partial y} = \frac{\partial}{\partial x} \left(\frac{\partial w}{\partial y} \right) = \frac{\partial}{\partial y} \left(\frac{\partial w}{\partial x} \right),$$

то, подставив $\varphi = \frac{\partial w}{\partial x}$ и $\varphi = \frac{\partial w}{\partial y}$, получаем выражение для смешанной производной в J -й узловой точке производного четырехугольного элемента

$$e_{11,xy} = \frac{1}{2\Delta_j} [E]_J \{q\}, \quad (27.21)$$

где

$$\left. \begin{aligned} \Delta_j &= x_{kj}x_{ij} - x_{ij}x_{kj}; \\ [E]_J &= ([A][B][C][D]); \\ [A] &= [0 \quad x_{ij} \quad x_{ij}]; \\ [B] &= [0 \quad x_{kj} \quad x_{kj}]; \\ [C] &= [0 \quad x_{ij} \quad x_{ij}]; \\ [D] &= [0 \quad 0 \quad 0]; \\ \{q\} &= \{q_i\} \quad \{q_j\} \quad \{q_k\} \quad \{q_h\}. \end{aligned} \right\} \quad (27.22)$$

Для треугольного элемента выражение для смешанной производной следует из (27.21), если из него исключить матрицы $[D]$ и $\{q_h\}$.

§ 28. Построение матриц жесткости элементов плоского на основе вариационно-разностного подхода

В результате использования конечно-разностного представления производных в соответствующем функциональном операторе интегрирования необходимо заменить суммированиями в пределах элемента, что эквивалентно применению росточного закона распределения производных и исходной функции в пределах части конечного элемента. Тогда, применяя формулы численного дифференцирования для исходных функций u, v, w и объединив слагаемые полиномиальных выражений, относящихся к одним и тем же узлам сетки, представим энергию деформации системы, приводящуюся на одну сеточную ячейку (элемент), в виде суммы

$$\Delta E = \Delta E_1 + \Delta E_2 + \Delta E_3 + \Delta E_4 - \Delta A. \quad (28.1)$$

Здесь суммированы выполнено для элемента четырехугольной формы. Выполнив суммирование в пределах всей области, получим выражение для дискретного аналога функционала:

при решении плоской задачи теории упругости

$$\begin{aligned} E = & \sum_{P=1}^M \Delta E = \frac{1}{2} \sum_{P=1}^M \frac{S_P}{R} \sum_{i,j=1}^2 (D_{ij}^0 e_{ij}^2 + \\ & + D_{11}^0 e_{11}^2 + 2 D_{12}^0 e_{12} e_{13} + \\ & + D_{13}^0 (e_{13} + e_{23})^2 - 2 Q_{2r} e_r - 2 Q_{3r} e_r); \end{aligned} \quad (28.2)$$

при решении задач изгиба пластин:

$$\begin{aligned} E = & \sum_{P=1}^M \Delta E = \frac{1}{2} \sum_{P=1}^M \frac{S_P}{R} \sum_{i,j=1}^2 (D_{ij}^1 e_{ij}^2 + \\ & + 2 D_{12}^1 e_{13r} e_{23r} + D_{13}^1 e_{13r}^2 + \\ & + 4 D_{12}^1 e_{12r}^2 - Q_{2r} w_r); \end{aligned} \quad (28.3)$$

Здесь M – количество элементов области; R – количество вершин P -го элемента.

Введем в рассмотрение вектор узловых переменных всей области

$$\{\psi\} = \{\{\psi\}_1, \{\psi\}_2, \dots, \{\psi\}_r\}, \quad (28.4)$$

где r равно общему числу узлов области; $\{\psi\}_r = \{q_{1r}, q_{2r}\}$.

или $\{\psi\}_{r,i} = \{q_{1r}, q_{2r}, q_{3r}\}$ представляют собой векторы неизвестных i -го узла.

Минимизируя функционал E по всем компонентам вектора $\{\psi\}$, получим систему разностных уравнений, необходимых для решения поставленной задачи,

$$\frac{\partial E}{\partial \{\psi\}_P} = \frac{1}{S_P} \sum_{i,j=1}^2 \frac{\partial \Delta E_p}{\partial \{\psi\}_P} = 0. \quad (28.5)$$

Функционал E является квадратичным от переменных и на прокованных, поэтому из (28.5) следует, что

$$\frac{\partial \Delta E_p}{\partial \{\psi\}_P} = [K]_p \{\psi\}_P - \{Q\}_P, \quad (28.6)$$

где $[K]_p$ – матрица жесткости p -го конечного элемента; $\{Q\}_P$ – вектор внешних сил, действующих на элемент.

Изложенный путь получения конечно-разностных уравнений соответствует решению краевой задачи вариационно-разностным методом. Но в отличие от общепринятой аппроксимации производных, когда производятся дополнительные узлы вне контура, излагаемый здесь метод построения разностных аналогов линейеризованных операторов позволяет исключить из расчетной схемы экстремальные точки.

Более того предлагаемая методика дает возможность использовать универсальный алгоритм метода конечных элементов, что значительно расширяет пределы применения вариационно-разностного метода при решении широкого круга задач.

При расчете подкрепленных пластин необходимо учитывать изгиб и плоское напряженное состояние пластин, а также растяжение (сжатие) и изгиб ребер жесткости. Матрицу жесткости подкрепленного конечного элемента, также как было показано выше, можно образовать операцией как сумму матриц жесткости конечных элементов пластин.

Так как коэффициенты жесткости при плоском напряженном состоянии изогнутой пластины не связаны с коэффициентами жесткости изогнутого состояния, поскольку эта связь проявляется только при учете энергии деформации ребра, можно образовать матрицы жесткости для каждого типа напряженного состояния. Это значительно сокращает необходимые математические вычисления, упрощает процесс реализации программы и простым суммированием дает возможность получать результатирующую матрицу жесткости. Кроме того, появляется возможность различной оценки скорости сходимости решения при том или ином вариационном состоянии.

Рассмотрим операции формирования матриц жесткости на основе вариационно-разностного подхода. В принципе можно получить матрицы жесткости треугольного и четырехугольного элементов в явном виде. Но этот путь не рационален, поскольку требует большой вычислительной работы. Поэтому изложим только особенности машинной программы.

1. Построение матрицы жесткости пластины при решении плоской задачи теории упругости. А. Треугольный элемент. Матрица жесткости в этом случае строится на основе функционала (28.2).

Прежде всего необходимо составить матричные выражения для частных производных от функций u и v в узлах i, j, k . Это легко сделать с помощью канонических зависимостей (27.3). Учитывая, что початый вектор неизвестных для треугольного элемента имеет вид

$$\{q\} = \{q_{ij} \ q_{ik} \ q_{ij} \ q_{jk} \ q_{ik} \ q_{jk}\}, \quad (28.7)$$

из (27.3) следует, что

$$\left. \begin{aligned} q_{ij} &= \frac{1}{\Delta_i} [y_{kj} - 0 \ y_{ki} - 0 \ y_{ji} - 0] \{q\} = \\ &= [A_{+}]_j \{q\}; \\ q_{ji} &= \frac{1}{\Delta_j} [x_{ki} - 0 \ x_{kj} - 0 \ x_{ij} - 0] \{q\} = \\ &= [A_{+}]_i \{q\}; \\ q_{ki} &= \frac{1}{\Delta_k} [0 \ x_{kj} - 0 \ x_{ik} - 0 \ x_{ji} + \{q\}] = \\ &= [A_{+}]_i \{q\}; \\ q_{ij} &= \frac{1}{\Delta_i} [0 \ x_{kj} - 0 \ x_{ik} - 0 \ x_{ji} + \{q\}] = \\ &= [A_{+}]_k \{q\}. \end{aligned} \right\} \quad (28.8)$$

С помощью правила обобщения, описанного в третьей главе, легко спроектировать зависимости для узлов j и k :

$$\left. \begin{aligned} q_{ij} &= [A_{+}]_j \{q\}; \quad q_{ji} = [A_{+}]_i \{q\}; \\ \dots &\dots \\ q_{ik} &= [A_{+}]_k \{q\}; \quad q_{ki} = [A_{+}]_i \{q\}. \end{aligned} \right\} \quad (28.9)$$

Затем уже программой строятся одномерные массивы $\{A\}$, которые для примера обозначим следующим образом:

$$\left. \begin{aligned} A.4I(6) &= [A_{+}]_j; & A.6I(6) &= [A_{+}]_j; \\ A.4J(6) &= [A_{+}]_j; & A.6J(6) &= [A_{+}]_j; \\ A.4K(6) &= [A_{+}]_k; & A.6K(6) &= [A_{+}]_k; \\ A.5I(6) &= [A_{+}]_j; & A.7I(6) &= [A_{+}]_j; \\ A.5J(6) &= [A_{+}]_j; & A.7J(6) &= [A_{+}]_j; \\ A.5K(6) &= [A_{+}]_k; & A.7K(6) &= [A_{+}]_k. \end{aligned} \right\} \quad (28.10)$$

В скобках указаны размерность соответствующих массивов.

Как уже отмечалось ранее, все массивы в наших примерах являются одномерными. Поэтому матрицы жесткости также будут представлять одномерными массивами в виде строки жесткости.

После того как сформированы соответствующие массивы (28.10), необходимо определить жесткостные параметры $D011 = D_{11}^0$, $D022 = D_{22}^0$, $D112 = D_{12}^0$, $D012 = D_{02}^0$ и определить площадь треугольного элемента S_{+} . Затем, согласно (28.2), найдем третью часть этой площади и обозначим ее как $S = S_{+}/3$.

После подготовительных операций можно непосредственно приступить к формированию коэффициентов матрицы жесткости:

- * $N = 0$
- * $D \neq 1 \cup I = 1,6$
- * $D \neq 1 \cup J = 1,6$
- * $N = N + 1$
- * $S G(N) = S G(N) + S * (D011 * (A.4I(I)*$
- * $A.4I(J) + A.4J(I) + A.4J(J) + A.4K(I) +$
- * $A.4K(J)) + D022 * (A.6I(I) * A.6I(J) +$
- * $A.6J(I) * A.6J(J) + A.6K(I) * A.6K(J) +$
- * $D012 * (A.4I(I) * A.7I(J) + A.4I(J) *$
- * $A.7I(J) + A.4J(I) + A.7J(J) + A.4J(J) *$

- * $A7J(J) + A4K(I) + A7K(J) + A4K(I) +$
- * $A7K(J) + D11L + A5L(I) + A5L(J) +$
- * $A5J(I) + A5J(J) + A5K(I) + A5K(J) +$
- * $A5L(I) + A6L(J) + A5L(J) + A6L(I) +$
- * $A5J(I) + A6J(J) + A5J(J) + A6J(I) +$
- * $A5K(I) + A6K(J) + A5K(J) + A6K(I) +$
- * $A6L(I) + A6L(J) + A6J(I) + A6J(J) +$
- * $A6K(I) + A6K(J))$

(28.11)

СФОРТИНЕ

Как видно из (28.11), операции по формированию матрицы жесткости и поиска элементарный характер, что значительно облегчает реализацию таких программ.

Б. Четырехугольный элемент. В этом случае необходимо внести небольшие коррекции в алгоритм формирования матрицы жесткости, описанной выше.

Во-первых, размерность массивов [4] будет равна восемь. При этом существующие массивы для i -го узла необходимо пополнить в конец каждого из них двумя нулями. Для других узлов порядок этих нулевых элементов будет определен положением начальных координат в массиве конкретной структуры, т. е. сюда с помощью квадратичных выражений для i -го узла строятся аналогичные – для узлов J , K и L .

Во-вторых, пока строится общий массив по восемь, т. е.

$$D_{\phi, I} \leftarrow 1 = 1,8; \quad D_{\phi, I \rightarrow J} = 1,8,$$

Площадь S равна одиннадцатой шестидесятой четырехугольника. Использованного ясно видна простота и наглядность алгоритма, что делает его хорошо реализуемым на практике.

2. Построение матрицы жесткости квадратного элемента. В этом случае принципиально нового по сравнению с предыдущим алгоритмом нет, что объясняется универсальностью методики.

Все этапы формирования матрицы повторяют предыдущие.

1. Формирование массивы

$A11I, A11J, A11K,$
 $A12I, A12J, A12K,$
 $A13I, A13J, A13K,$
 $A11L, A12L, A13L$

Первые девять массивов используются для квадратного элемента и все массивы – для четырехугольного.

2. Определение жесткостных характеристики и площадь элемента.
 3. По аналогии с (28.11) формируются массивы матрицы жесткости.

1.29. Оценка сходимости и погрешности вариационно-разностного подхода в методе конечных элементов

Наиболее распространенным показателем сходимости решения и оценки погрешности при том или ином разбиении области на конечные элементы является численное решение и сравнение результатов с имеющимися точными аналитическими или экспериментальными исходными данными. Воспользуемся таким доказательством и сравним порядок сходимости решения на основе конечно-разностной аппроксимации со сходимостью решений, полученных другими авторами, и решениями, приведенными в третьей главе.

На рис. 48–55 приведены результаты решения задач изгиба пластины. Численные решения, полученные на основе вариационно-разностного подхода, обозначены цифрами J . Они сравниваются с результатами, приведенными в третьей главе. Обозначения краевых для соответствующих решений сохранены прежними.

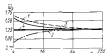


Рис. 48. Изменение отстояния от центра свободно концом квадратной пластины при различной густоте сетки

$$\text{как } w = w_0 \frac{\partial^2}{\partial x^2} 10^3$$

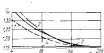


Рис. 49. Изменение отстояния от центра свободно концом квадратной пластины при действии однородной силы $F = w_0 \frac{\partial^2}{\partial x^2} 10^3$

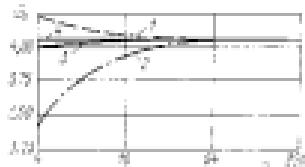


Рис. 30. Изменение относительного прогиба в центре жестко защелкнутой квадратной пластинки при различных густотах сеток и числе разбиения распределенной нагрузки n_0 , $\delta_0 = \frac{\delta}{R_0}$, 10^3



Рис. 31. Изменение относительного прогиба в центре жестко защелкнутой квадратной пластинки при действии со среднегрузкой $P = w_0 R_0 / 10^3$

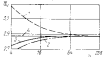


Рис. 32. Изменение относительных максимальных изгибающих моментов в центре квадратной свободно опорной пластины при краевом нагружении интенсивностью $\bar{Q} = Q_0 = P = \frac{w_0}{R_0}$

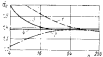


Рис. 33. Изменение относительных максимальных изгибающих моментов в центре квадратной жестко защелкнутой пластины при краевом нагружении интенсивности $\bar{Q} = Q_0 = 10$

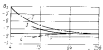


Рис. 34. Изменение относительных максимальных изгибающих моментов в заделанном квадратном жестко защелкнутой пластине при краевом нагружении интенсивностью \bar{Q} .



Рис. 35. Изменение относительных максимальных изгибающих моментов в заделанном квадратном жестко защелкнутой пластине при краевом нагружении $P = w_0 R_0 / 10^3$

На основании сопоставленных данных можно сделать вывод, что точность решения при использовании таких матриц вполне удовлетворительна даже при крупной разбивке пластины на конечные элементы. Увеличение размеров конечных элементов обеспечивает скорость работы в точном решении.

При решении задач изгиба, устойчивости и колебаний пластины в оболочках возникает вопрос о соответствии полученных разностных уравнений исходным дифференциальным уравнениям, т. е. об однине погрешности, вносимой привитой аппроксимационной сеткой. Перейдем к решению

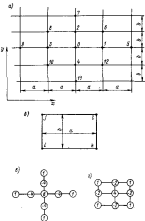


Рис. 36. К составлению разностных уравнений в точке О МКР и МКС: а — дискретизация области; б — конечный элемент пластины; в, г — схемы для отражения граничных условий в МКР.

этот вопрос приобретает в тех случаях, когда разностные уравнения получены не путем непосредственной замены производных в дифференциальных уравнениях, а некоторым искусственным способом.

Рассмотрим дифференциальное уравнение изгиба пластины

$$\frac{\partial^4 w}{\partial x^4} + 2 \frac{\partial^4 w}{\partial x^2 \partial y^2} + \frac{\partial^4 w}{\partial y^4} = \frac{Q}{D}. \quad (29.1)$$

Заменим производные в уравнении (29.1) конечными разностями, используя регулярную прямоугольную сетку (рис. 56).

$$\left. \begin{aligned} \frac{\partial^4 w}{\partial x^4} &= \frac{1}{a^4} (q_{3,0} - 4q_{3,2} + 6q_{3,4} - 4q_{3,6} + q_{3,8}); \\ \frac{\partial^4 w}{\partial y^4} &= \frac{1}{b^4} (q_{3,12} - 4q_{3,10} + 6q_{3,8} - 4q_{3,6} + q_{3,4}); \\ \frac{\partial^4 w}{\partial x^2 \partial y^2} &= \frac{1}{a^2 b^2} (q_{3,8} - 2q_{3,6} + q_{3,10} - 2q_{3,4} - \\ &\quad - 4q_{3,2} + 2q_{3,0} + q_{3,6} - 2q_{3,4} + q_{3,2}). \end{aligned} \right\} \quad (29.2)$$

Подставим в уравнение (29.1) выражения (29.2), получим конечно-разностное уравнение расстояния в окрестности узла 0:

$$\begin{aligned} \frac{1}{a^4} (q_{3,0} - 4q_{3,2} + 6q_{3,4} - 4q_{3,6} + q_{3,8}) + \frac{1}{b^4} (q_{3,12} - \\ - 4q_{3,10} + 6q_{3,8} - 4q_{3,6} + q_{3,4}) + \frac{2}{a^2 b^2} (q_{3,8} - \\ - 2q_{3,6} + q_{3,10} - 2q_{3,4} - 4q_{3,2} - 2q_{3,0} - q_{3,6} - \\ - 2q_{3,2} + q_{3,12}) = Q(0). \end{aligned} \quad (29.3)$$

Здесь индекс после запятой указывает на номер соответствующего узла.

Таким образом, получено уравнение, которое является каноническим для формирования системы уравнений при использовании прямогоугольной

сетки в методе конечных разностей (МКР). МКР является одним из классических численных методов решения задач математической физики, приводящих к системам линейных алгебраических уравнений высокого порядка с положительно определенными матрицами и конечной структурой. Как известно, при использовании корректной разностной аппроксимации МКР приводит к результатам, соизмеримым с точному решению.

Это свойство МКР может быть использовано для оценки сходимости решений, полученных МКЭ. Для этого необходимо показать, что разрешающие уравнения, полученные по МКР и МКЭ при использовании вертикально-разностной процедуры, эквивалентны.

Запишем уравнение изгиба пластины для той же точки в другом виде, используя матрицы жесткости отдельных элементов:

$$\begin{aligned} ([K_{11}]_T + [K_{12}]_T + [K_{13}]_T + [K_{14}]_T) \{q\}_1 + \\ + ([K_{21}]_T + [K_{22}]_T + \{q\}_2 + ([K_{31}]_T + [K_{32}]_T) \{q\}_3 + \\ + ([K_{41}]_T + [K_{42}]_T) \{q\}_4 + ([K_{11}]_B + [K_{12}]_B) \{q\}_1 + \\ + [K_{13}]_B \{q\}_{10} + [K_{23}]_B \{q\}_2 + [K_{33}]_B \{q\}_{12} + \\ + [K_{43}]_B \{q\}_3 = Q_1, \end{aligned} \quad (29.4)$$

где $[K_{mn}]_n$, $n = 1, 2, 3, 4$ — матрицы размером 3 × 3, коэффициенты которых представляют обобщенные реакции в узле n по направлениям компонентам n -го вектора неизвестных: $\{q\}_1 = (q_{1,1}, q_{1,2}, q_{1,3}, q_{1,4})$ — вектор-столбец перемещений узла 1; $\{Q\}_1 = (Q_1, 0, 0, 0)$ — вектор внешних сил, приложенных в узле 1. Здесь Q — значение производящей узловой нагрузки.

Используя матрицу жесткости прямогоугольного конечного элемента (26.7) запишем уравнение (29.4) в развернутом виде:

$$\begin{aligned} \begin{bmatrix} 4k_1 & 0 & 0 \\ 0 & 4k_{11} & 0 \\ 0 & 0 & 4k_{11} \end{bmatrix} \begin{bmatrix} q_{1,1} \\ q_{1,2} \\ q_{1,3} \end{bmatrix} + \begin{bmatrix} 2k_4 & 0 & -2k_1 \\ 0 & 0 & 0 \\ 2k_4 & 0 & 0 \end{bmatrix} \begin{bmatrix} q_{3,4} \\ q_{4,4} \\ q_{3,4} \end{bmatrix} + \\ + \begin{bmatrix} 2k_7 & -2k_6 & 0 \\ 2k_4 & 0 & 2k_5 \\ 0 & 0 & 0 \end{bmatrix} \begin{bmatrix} q_{3,1} \\ q_{3,2} \\ q_{4,2} \end{bmatrix} + \begin{bmatrix} 2k_4 & 0 & 2k_5 \\ 0 & 0 & 0 \\ -2k_6 & 0 & 0 \end{bmatrix} \begin{bmatrix} q_{3,2} \\ q_{4,2} \\ q_{3,2} \end{bmatrix} = \end{aligned}$$

$$\left. \begin{aligned}
 & + \begin{bmatrix} k_{1,0} & 0 & 0 \\ 0 & 0 & 0 \\ 0 & 0 & 0 \end{bmatrix} \begin{bmatrix} q_{3,1,0} \\ q_{4,1,0} \\ q_{5,1,0} \end{bmatrix} + \begin{bmatrix} 2k_3 & 2k_4 & 0 \\ -2k_4 & 0 & 0 \\ 0 & 0 & 0 \end{bmatrix} \begin{bmatrix} q_{3,1} \\ q_{4,1} \\ q_{5,1} \end{bmatrix} \\
 & + \begin{bmatrix} k_{1,0} & 0 & 0 \\ 0 & 0 & 0 \\ 0 & 0 & 0 \end{bmatrix} \begin{bmatrix} q_{3,1,2} \\ q_{4,1,2} \\ q_{5,1,2} \end{bmatrix} + \begin{bmatrix} k_{1,0} & 0 & 0 \\ 0 & 0 & 0 \\ 0 & 0 & 0 \end{bmatrix} \begin{bmatrix} q_{3,1,4} \\ q_{4,1,4} \\ q_{5,1,4} \end{bmatrix} + \\
 & + \begin{bmatrix} k_{1,0} & 0 & 0 \\ 0 & 0 & 0 \\ 0 & 0 & 0 \end{bmatrix} \begin{bmatrix} q_{3,1,6} \\ q_{4,1,6} \\ q_{5,1,6} \end{bmatrix} = \frac{1}{D} \begin{bmatrix} 0 \\ 0 \\ 0 \end{bmatrix} \quad (29.5)
 \end{aligned} \right\}$$

Коэффициенты $k_{1,0}$ определяются из зависимостей (26.8). После вынесения матрицы в уравнении (29.5) получаем:

$$\left. \begin{aligned}
 & 4k_1 q_{3,1,0} + 2k_4 q_{3,1,4} - 2k_3 q_{3,1,6} + 2k_7 q_{3,1,3} - \\
 & - 2k_6 q_{3,1,2} + 2k_4 q_{3,1,2} + 2k_4 q_{3,1,1} + k_{1,0} q_{3,1,0} + \\
 & + 2k_3 q_{3,1,1} + 2k_3 q_{3,1,1} + k_{1,0} q_{3,1,0} + k_{1,0} q_{3,1,1} + \\
 & + k_{1,0} q_{3,1,6} = \frac{Q}{D}; \\
 & 4k_{1,1} q_{4,1,0} + 2k_3 q_{4,1,6} - 2k_4 q_{4,1,1} = 0; \\
 & 4k_{1,1} q_{4,1,0} + 2k_3 q_{4,1,4} - 2k_4 q_{4,1,3} = 0.
 \end{aligned} \right\} \quad (29.6)$$

Из решения двух последних уравнений системы (29.6) получим следующие выражения:

$$\left. \begin{aligned}
 q_{4,1,0} &= \frac{k_3}{2k_{1,1}} (q_{3,1,1} - q_{3,1,3}); \\
 q_{3,1,0} &= \frac{k_6}{2k_{1,1}} (q_{3,1,2} - q_{3,1,4});
 \end{aligned} \right\} \quad (29.7)$$

По аналогии с предыдущими выражениями можно записать следующее:

$$\left. \begin{aligned}
 q_{4,1,2} &= \frac{k_3}{2k_{1,1}} (q_{3,1,3} - q_{3,1,5}); \\
 q_{4,1,4} &= \frac{k_6}{2k_{1,1}} (q_{3,1,4} - q_{3,1,6}); \\
 q_{3,1,2} &= \frac{k_6}{2k_{1,1}} (q_{3,1,5} - q_{3,1,7}); \\
 q_{3,1,4} &= \frac{k_3}{2k_{1,1}} (q_{3,1,6} - q_{3,1,8});
 \end{aligned} \right\} \quad (29.8)$$

Подставляя (29.7), (29.8) в первое уравнение системы (29.6) и учитывая формулы (26.8), после несложных преобразований получим:

$$\begin{aligned}
 & \frac{1}{a^4} (q_{3,1,8} - 4q_{3,1,6} + 6q_{3,1,4} - 4q_{3,1,2} + q_{3,1,0}) + \frac{1}{b^4} (q_{3,1,1} - \\
 & - 4q_{3,1,4} - 6q_{3,1,0} - 4q_{3,1,2} + q_{3,1,1}) + \frac{2}{a^2 b^2} (q_{3,1,8} - 2q_{3,1,6} + \\
 & + q_{3,1,4} - 2q_{3,1,2} + 4q_{3,1,0} - 2q_{3,1,1} + \\
 & + q_{3,1,0}) = Q_0 / D \pi k.
 \end{aligned} \quad (29.9)$$

Левые части уравнений (29.9) и (29.3) совпадают и представляют собой конечно-разностное выражение левой части дифференциального уравнения изгиба пластины (29.1).

Конечно-разностное приближение для правой части уравнения (29.1) есть величина Q/D , где Q – величина интенсивности нагрузки в точке O . В изложенной схеме расчета с использованием МКЭ сила Q_0 определяется по формуле $Q_0 = Q \pi k$, поэтому правая часть уравнения (29.10) также представляет конечно-разностное приближение для правой части уравнения (29.1).

К аналогичным выводам можно прийти, если уравнение разностное формируется для угла, примыкающего к контуру пластины. Более того,

при прямойной прямоугольной сетке к таким же выводам приходим в случае использования уравнений устойчивости или колебаний пластин.

Таким образом, можно заключить, что метод конечных разностей и метод конечных элементов при использовании матрицы жесткости на основе разностной аппроксимации элементов функционала одинаковы. А это значит, что задачи, решаемые МКЭ на основе указанных матриц, обладают сходимостью такого же порядка, что и метод конечных разностей. Этими объясняются результаты сходимости решений, полученные выше. Устраивается та неопределенность в сдвиге сходимости, которая обычно имеется при использовании несогласованных элементов.

Так, как в случае прямоугольной сетки уравнения, полученные методом конечных элементов на основе вариационно-разностного подхода, эквивалентны конечно-разностным уравнениям, то для многих характерных задач устойчивости и колебаний пластин и обобщене зависимости некоих параметров от числа узловых точек можно получить в явном виде. На этих примерах легко проверить приемлемость разностной схемы и проанализировать возможные случаи сходимости численного решения. Такая возможность появляется, если использовать метод суммарных представлений, предложенный в работе Г. Н. Полового [23]. Метод является конечно-разностным аналогом классических методов интегральных преобразований. Сущность метода заключается в находящихся решений конечно-разностных задач в явной форме или в виде достаточно простых формул, содержащих небольшое количество параметров, определяемых из такого же числа линейных алгебраических уравнений.

Оценим сходимость решений при исследовании задач устойчивости пластин.

Конечно-разностное уравнение, следующее из вариационно-разностной процедуры метода конечных элементов, имеет вид:

$$\Delta_h u + \tau v_h^1 = 0, \quad (29.10)$$

где конечно-разностный оператор

$$\Delta_h = \frac{D}{h_x^2} - \tau \frac{\partial^2}{\partial x^2}, \quad (29.11)$$

		γ^2		
	$2\gamma^2$	$-4\pi\gamma^2$	$2\gamma^2$	
1	-4π	β	-4π	1
	$2\gamma^2$	$-4\pi\gamma^2$	$2\gamma^2$	
		γ^2		

соответствует дифференциальному оператору

$$D \left(\frac{\partial^4}{\partial x^4} + 2 \frac{\partial^4}{\partial x^2 \partial y^2} + \frac{\partial^4}{\partial y^4} \right).$$

и оператор

$$\begin{array}{|c|c|c|} \hline & \gamma^2 T_2 & \\ \hline T_1 & -1(T_1 + \gamma^2 T_2) & T_1 \\ \hline & \gamma^2 T_2 & \\ \hline \end{array} \quad (29.12)$$

— дифференциальному оператору

$$T_1 = \frac{\partial^2}{\partial x^2} + T_2 = \frac{\partial^2}{\partial y^2}.$$

Здесь

$$\left. \begin{aligned} T_1 = \tau p_1; \quad T_2 = \tau p_2; \\ \gamma = \frac{h_x}{h_y}; \quad \beta = b(1 + \gamma^2) + 8\gamma^2; \\ \eta = 1 + \gamma^2; \end{aligned} \right\} \quad (29.13)$$

h_x — размер элемента в направлении оси x ; h_y — размер элемента в направлении оси y .

Конечно-разностные операторы Δ_h и v_h^1 определены на прямоугольной сетке

$$\begin{aligned} x_i &= x_0 + ih_x; \quad y_k = y_0 + kh_y; \\ h_x i &= 1, 2, \dots \end{aligned}$$

То значение параметра τ , при котором возможно искомое решение, будем называть приведенным критическим условием рассматриваемой пластины. Истинные критические условия T_1 и T_2 будут определяться так:

$$T_1 = \tau p_1; \quad T_2 = \tau p_2.$$

В результате применения метода суммарных представлений получим решение системы конечно-разностных уравнений метода конечных элементов в явном виде [4].

При условии широкого открытия всех кромок пластины метод суммарных предстолбцов пласти

$$T_1^* = 2 \rho_1 \frac{D}{k_x^2} \frac{[1 - \lambda_{j_1} + \gamma^2(1 - \lambda_{k_1})]^2}{\rho_1(1 - \lambda_{j_1}) + \gamma^2 \rho_2(1 - \lambda_{k_1})}; \quad (29.14)$$

$$T_2^* = 2 \rho_2 \frac{D}{k_x^2} \frac{[1 - \lambda_{j_2} + \gamma^2(1 - \lambda_{k_2})]^2}{\rho_1(1 - \lambda_{j_2}) + \gamma^2 \rho_2(1 - \lambda_{k_2})}. \quad (29.15)$$

Если $\rho_1 = \rho_2 = \rho$, то формулы (29.14), (29.15) приобретают вид

$$T^* = T_1 = T_2 = 2[1 - \lambda_{j_i} + \gamma^2(1 - \lambda_{k_i})] \frac{D}{k_x^2}, \quad (29.16)$$

$$i = 1, 2, \dots, n, \quad j_i = 1, 2, \dots, m.$$

Если пластина находится под действием контурных сил, вынуждающих ее срединной плоскости линии усилий T_1 , то полагая $\rho_1 = 0$, получим

$$T^{**} = 2 \frac{[1 - \lambda_{j_i} + \gamma^2(1 - \lambda_{k_i})]^2}{(1 - \lambda_{j_i})} \frac{D}{k_x^2}, \quad (29.17)$$

так

$$\left. \begin{aligned} \lambda_{j_i} &= \cos \frac{i \pi}{m+1}; \\ \lambda_{k_i} &= \cos \frac{k \pi}{n+1}; \end{aligned} \right\} \quad (29.18)$$

$(m+1)$ — количество элементов в направлении оси x ; $(n+1)$ — количество элементов в направлении оси y ; i, k — числа полуволны в направлениях осей x и y соответственно.

Если теперь устремить m и n к бесконечности, то формулы (29.14), (29.15) и (29.17) приобретают вид

$$\left. \begin{aligned} T_1 &= \rho_1 \pi^2 D \frac{\left[\left(\frac{i}{a}\right)^2 + \left(\frac{k}{b}\right)^2\right]^2}{\rho_1\left(\frac{i}{a}\right)^2 + \rho_2\left(\frac{k}{b}\right)^2}; \\ T_2 &= \rho_2 \pi^2 D \frac{\left[\left(\frac{i}{a}\right)^2 + \left(\frac{k}{b}\right)^2\right]^2}{\rho_1\left(\frac{i}{a}\right)^2 + \rho_2\left(\frac{k}{b}\right)^2}; \end{aligned} \right\}$$

$$\left. \begin{aligned} T_1 &= \rho_1 \pi^2 D \frac{\left[\left(\frac{i}{a}\right)^2 + \left(\frac{k}{b}\right)^2\right]^2}{\rho_1\left(\frac{i}{a}\right)^2 + \rho_2\left(\frac{k}{b}\right)^2}; \\ T^* &= \left[\left(\frac{i}{a}\right)^2 + \left(\frac{k}{b}\right)^2\right] \pi^2 D; \\ T^{**} &= \left[\left(\frac{i}{a}\right)^2 + \left(\frac{k}{b}\right)^2\right] \left(\frac{a}{i}\right)^2 \pi^2 D. \end{aligned} \right\} \quad (29.19)$$

и совпадают с соответствующими им точными формулами. Здесь a и b — размеры пластины в плане.

Определение абсолютной сходимости метода решает лишь одну сплошную задачу. Другой является определение характера сходимости, так как оценить широкую. Будет ли решение сходиться сперва к статич. практическим неравенствам.

Покажем кратко решение этой задачи. Рассмотрим уравнение (29.17), которое можно после преобразований записать в виде

$$T_1 = 2 \frac{D}{\pi^2} \frac{\left[\sin^2 \frac{i \pi}{2(m+1)} + \gamma^2 \sin^2 \frac{k \pi}{2(n+1)}\right]^2}{\sin^2 \frac{i \pi}{2(m+1)}}. \quad (29.20)$$

Предположим, что поверхность стены открыта по преломлению $k_y = 0$. Определим порядок сходимости решения на основе (29.20) в зависимости от шага сетки в направлении складки.

Полагая $k_y = 0$, получим

$$\left. \begin{aligned} T_1 &= D \left(\frac{2}{k_x} \sin \frac{i \pi}{2(m+1)} + \frac{\pi^2 k_x}{2 b^2 \sin \frac{i \pi}{2(m+1)}} \right)^2 = \\ &= \beta^2 \frac{D \pi^2}{b^2}, \end{aligned} \right\} \quad (29.21)$$

$$\beta^2 = \left(\frac{2b}{\pi h_x} \sin \frac{i\pi h_x}{2a} + \frac{\pi h_x}{2b \sin \frac{i\pi h_x}{2a}} \right)^2. \quad (29.22)$$

При $h_x = 0$ выражение (29.22) стремится к точному решению

$$\beta_0^2 = \left(\frac{ib}{a} + \frac{a}{ib} \right)^2. \quad (29.23)$$

Разложение (29.22) в ряд по $i\pi h_x/2a$ приводит к выражению

$$\begin{aligned} \beta^2 = \beta_0^2 - \frac{\pi^2 h_x^2}{12a^2} & \left(\frac{i^2 b^2}{a^2} - 1 \right) + \frac{i^2 h_x^2}{b^2} \frac{b^2 i^2}{480 a^2} \times \\ & \times \left(\frac{b^2 i^2}{a^2} + \frac{5a^2}{3b^2 i^2} + \frac{2}{3} \right) + \dots + \delta(h_x). \end{aligned} \quad (29.24)$$

и совпадает с зависимостью, приведенной в [20].

Второе слагаемое в этом разложении представляет собой главную часть погрешности приближенного решения, и, следовательно, знак этой погрешности будет определять характер сходимости решения (29.21). При $i > a/b$ второе слагаемое будет отрицательным, а решение при $h_x = 0$ будет стремиться к точному монотонно снизу. При $i < a/b$ — монотонно сверху. В связи с тем, что начальными значениями параметра критической нагрузки получаются при следующих i :

$$i = 1 \quad 0 < a/b < \sqrt{3};$$

$$i = 2 \quad \sqrt{2} < a/b < \sqrt{6};$$

$$i = 3 \quad \sqrt{6} < a/b < \sqrt{12},$$

.....

то при численном решении задачи для этого случая будем иметь сходимость сверху.

$$\sqrt{i(i+1)} < a/b < i; \quad (29.25)$$

Сходимость сверху

$$i < a/b < \sqrt{i(i+1)}.$$

Рассмотрим теперь вариант, когда $h_x \neq 0$, т. е. если стянута до пропила в направлении скатия. Тогда

$$\begin{aligned} T_1 &= \frac{\pi^2 D}{b^2} \left[\frac{i b}{a} + 4 \frac{h_x}{i \pi^2 h_x^2} \sin^2 \frac{i \pi h_x}{2a} \right]^2 = \\ &= \beta^2 \frac{D}{b^2}. \end{aligned}$$

Расположив ряд по стоящему аргументу $\frac{i \pi h_x}{2a}$, получим

$$\beta^2 = \beta_0^2 - \frac{\pi^2 h_x^2}{32a^2} \left(\frac{a^2}{ib^2} \right) + \delta(h_x). \quad (29.26)$$

В этом случае забывается сходимость сверху. Рассматривая конечное отыскание размеров скатки, можно заключить, что знак погрешности и ее величина будут определяться в зависимости от отношения $\frac{h_x}{b_y}$ и, соответственно, (29.26).

Аналогично можно оценить сходимость решения при исследовании колебаний пластин. Разностное уравнение колебаний для прямоугольной пластинки имеет вид

$$\Delta_{xy} w + \Gamma \frac{\partial^2}{\partial x^2} w + 2\mu w = 0, \quad (29.27)$$

где $2\mu = \lambda^2 \rho$; ρ — плотность единицы площади пластинки; λ — частота собственных колебаний, подлежащая определению.

В результате применения метода суммарных представлений получим решение системы конечно-разностных уравнений [24]

$$\begin{aligned} \lambda^2 = \lambda_{k,l}^2 &= 4 \frac{\rho}{\rho h_x^2} [(1-\lambda_1)^2 + 2\gamma^2 (1-\lambda_1)(1-\lambda_2) + \\ &+ (1-\lambda_2)^2] = \frac{2\tau}{\rho h_x^2} [\rho_1 (1-\lambda_1) + \gamma^2 \rho_2 (1-\lambda_2)], \end{aligned} \quad (29.28)$$

где $k = 1, 2, 3, \dots, m$; $l = 1, 2, 3, \dots, n$.

В случае, когда $\lambda_{\pm} = 0$, формула (29.28) принимает вид

$$\begin{aligned}\lambda_{\pm}^2 &= \lambda_{04j}^2 = D \frac{\pi^2}{l^2} \left[\left(\frac{k}{a} \right)^2 + 2 \left(\frac{kl}{a+b} \right)^2 + \left(\frac{l}{b} \right)^2 - \right. \\ &\quad \left. - \frac{\tau}{D} p_1 \left(\frac{k}{a} \right)^2 - \frac{\tau}{D} p_1 \left(\frac{l}{b} \right)^2 \right] \end{aligned}\quad (29.29)$$

и совпадает с точной известной формулой.

При $\tau = 0$ получим

$$\lambda_{04j}^2 = 4 \frac{D}{\rho E_x^2} [(1 - \lambda_j)^2 + 2\gamma^2 (1 - \lambda_j)(1 - \lambda_k) + (1 - \lambda_k)^2].$$

Для этого случая решается неравенство [20]

$$|\lambda^2 - \lambda_{04j}^2| \ll$$

$$\ll \frac{2}{3} \frac{\pi^2 D b^2}{\rho} \left[\left(\frac{k}{a} \right)^2 + \left(\frac{k}{a} \right)^2 \left(\frac{l}{b} \right)^2 + \left(\frac{k}{a} \right)^2 \left(\frac{l}{b} \right)^2 + \left(\frac{l}{b} \right)^2 \right]$$

которое определяет оценку квадрата приближенной собственной частоты λ^2 пластины по отношению к квадрату точной частоты λ_0^2 .

§ 30. К исследованию поведения подкрепленных пластин на основе вершинно-разностного подхода и схемы метода конечных элементов

Алгоритм формирования матрицы жесткости подкрепленного элемента в рассматриваемом случае не отличается от алгоритма, изложенного в третьей главе. Но применение разностной аппроксимации еще более упрощает все промежуточные выкладки и, в частности, формирование матрицы жесткости подкрепленного элемента.

Введем в рассмотрение полный вектор узловых перемещений для элемента ребра

$$\{q\}_E = \{q_{1r} \ q_{2r} \ q_{3r} \ q_{4r} \ q_{5r} \ q_{6r} \ q_{7r} \ q_{8r} \ q_{9r} \ q_{10r}\}. \quad (30.1)$$

Потенциальная энергия ребра с учетом взаимодействия с конечным элементом пластины определяется выражением (7.13).

Для узловой точки r ребра можем записать

$$\left. \begin{aligned} \left(\frac{\partial^2 u}{\partial t^2} \right)_r &= \frac{2}{l^2} (q_{3r} - q_{1r} - q_{4r} q_{5r} - q_{2r} q_{6r}); \\ \left(\frac{\partial u}{\partial t} \right)_r &= \frac{1}{l^2} (q_{5r} q_{1r} - q_{2r} q_{4r} + q_{1r} q_{6r} - q_{3r} q_{7r}), \end{aligned} \right\} \quad (30.2)$$

где $l = \sqrt{q_{3r}^2 + q_{4r}^2}$ – длина элемента ребра.

Заменив выражение интегрирования суммированием в выражении (7.13), а также используя соотношения (30.2), можно получить дискретное выражение потенциальной энергии деформации подкрепленного элемента.

Варьируя V_E по всем элементам вектора $\{q\}_E$, получим исходную матрицу жесткости конечного элемента ребра жесткости в составе пластины (рис. 57). Коэффициенты этой матрицы равны

$$\left. \begin{aligned} k_1 &= x_{3r}^2; \quad k_2 = y_{3r}^2; \quad k_3 = 4 \frac{J}{F}; \\ k_4 &= 2 x_{3r}^2 \frac{J}{F}; \quad k_5 = 2 y_{3r}^2 \frac{J}{F}; \quad k_6 = x_{3r} y_{3r} \frac{J}{F}; \\ k_7 &= -2 x_{3r}^2; \quad k_8 = -2 x_{3r} y_{3r}; \quad k_9 = -2 y_{3r}^2; \\ k_{10} &= 2 x_{3r} \frac{J}{F}; \quad k_{11} = 2 y_{3r} \frac{J}{F}; \quad k_{12} = 2 x_{3r} y_{3r} \frac{J}{F}, \end{aligned} \right\} \quad (30.3)$$

Дальнейший алгоритм формирования полной матрицы жесткости отличает той схеме, которая была изложена в третьей главе.

Представленные выше результаты решения некоторых задач наглядно свидетельствуют о достаточно хорошей сходимости полученных результатов.

В качестве одной из тестовых задач, поддающейся оценке как правомерность обоснованного выше подхода к использованию подкрепленных пластинчатых конструкций, так и точности решений, целиком методом конечных элементов, рассматривается изгиб ребристой пластины, которая изображена на рис. 58. Ниже приводятся схематичные решения задачи по изображению на рис. 58. Ниже приводятся схематичные решения задачи по изображению на рис. 58.

предлагаемому алгоритму с решениями, полученными в работах [2, 5], при следующих граничных условиях:

$$x=0 \text{ и } x=b \text{ м; } u=v=w=\frac{\partial^2 w}{\partial x^2}=0;$$

$$y=0 \text{ и } y=b \text{ м; } u=v=w=\frac{\partial^2 w}{\partial y^2}=0.$$

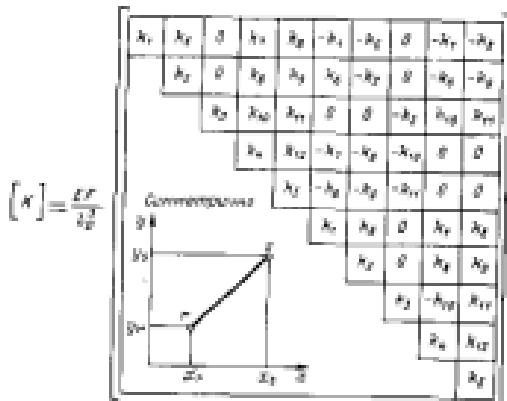


Рис. 37. Матрицы жесткости ребра.

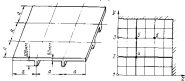


Рис. 38. Общий вид и граничные стены подвергнутой пластины $a = 200$ см.

Таблица 11. Прогибы пластин, подвергнутой разрывной нагрузке

Номер установки теста	Испытание		Результат по предложенным методам					
	[1]	[2]	[3]	[МКЭ]	[ФМ]	[1]	[2]	[3]
	Размер сетки							
1	10,886	10,594	10,689	11,303	11,834	11,236	11,134	
2	9,994	8,991	8,974	9,121	9,189	9,172	9,209	
3	5,954	5,708	5,738	5,882	5,883	6,139	5,993	
4	7,851	7,326	7,283	7,903	7,943	7,943	7,937	
5	4,551	4,494	4,505	4,573	4,620	4,685	4,678	
6	3,583	3,291	3,399	3,534	3,537	3,543	3,513	

Плита загружалась равномерно распределенной нагрузкой интенсивностью Q . Коэффициент Пуассона $\nu = \frac{1}{6}$. В силу симметрии рассматривалась четверть пластины.

В табл. 11 приведены прогибы пластины в точках 1, 2, 3, 4, 5, 6, увеличенные в k раз, где $k = \left(\frac{E}{q}\right) 10^{-3}$.

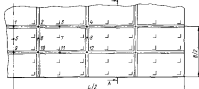


Рис. 39. Схема расположения розеток пачек в условиях изгибающего момента.

Таблица 12. Прогибы подкрепленной плиты при Симоновской нагрузке, вариант 1.

Порядок элементов	Дискрет- ность	МКЭ			
		Число конечных элементов			
		14	56	116	174
1	3,88	4,26	4,26	4,21	4,21
2	-	4,29	3,89	3,88	3,84
3	1,80	1,04	2,84	2,82	1,81
4	1,71	1,71	1,64	1,63	1,63
5	3,88	-	3,88	-	3,78
6	3,35	-	3,32	-	3,48
7	2,53	-	1,59	-	1,54
8	1,20	-	1,21	-	1,49
9	2,73	2,98	2,85	2,81	2,81
10	2,60	2,74	2,61	2,61	2,59
11	2,97	2,98	1,94	1,93	1,93
12	1,52	1,21	1,15	1,13	1,13

Как видно из результатов, представленных в последней таблице, при одинаковых граничных условиях распределение максимальных прогибов в решении по МКЭ с количеством рассматриваемых макроячеек и по сравнению с решениями других авторов составляет от 1 до 6%. Таким образом, полученные результаты хорошо согласуются с данными других авторов, что позволяет сделать вывод о том, что такой подход может успешно применяться для расчета пластин, подкрепленных ребрами жесткости.

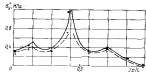


Рис. 60. Распределение прогибов по длине пластины (вариант 2).

$$\text{— — —} \text{ МКЭ, сечение } y = \frac{1}{24} B; \text{--- ---} \text{ МКЭ, сечение } y = \frac{1}{3} B; \downarrow, \uparrow \text{ — эксперимент}$$

$$\text{сплошная } y = \frac{1}{24} B; \text{пунктирная } y = \frac{1}{3} B; \downarrow, \uparrow \text{ — эксперимент}$$

Таблица 13. Прогибы подкрепленной плиты при Симоновской нагрузке, вариант 2.

Порядок элементов	Дискрет- ность	МКЭ			
		Число конечных элементов			
		14	56	116	174
1	1,38	1,31	1,42	1,41	1,39
2	1,72	1,73	1,76	1,76	1,75
3	2,37	2,38	1,41	1,39	1,37
4	-	1,79	1,85	1,82	1,82
5	1,77	-	1,32	1,30	-
6	1,61	-	1,21	1,49	-
7	2,13	-	1,00	1,09	-
8	2,39	-	1,29	1,22	-
9	1,60	1,18	1,04	1,02	1,02
10	1,20	1,21	1,15	1,15	1,15
11	1,35	1,56	1,49	1,47	1,47
12	1,25	1,77	1,68	1,66	1,65

На данном этапе решения первых конечно-разностных схем для задачи о напряженно-деформированном состоянии подкрепленных пластин не представляется возможным в общем виде теоретически исследовать склонность к точности метода конечных элементов. Это обстоятельство, однако, не должно служить препятствием при построении численных расчетов таких сложных систем. Поэтому представляется целесообразным

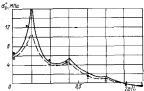


Рис. 61. Распределение прогибов по длине пластины (вариант 1).

$$\text{сплошная } y = \frac{1}{24} B; \text{пунктирная } y = \frac{1}{3} B; \downarrow, \uparrow \text{ — эксперимент}$$

УКАЗАТЕЛЬ ЛИТЕРАТУРЫ

процессе сравнения численного решения НКЭ с экспериментальными данными, полученными для модели, расчетная схема которой приведена на рис. 59. Поперечная нагрузка в виде сосредоточенных сил $P = 98$ Н прикладывалась в двух точках подкрепленной пластины, находящихся на расстоянии a и на разном расстоянии по обе стороны от центра. В одном случае $x = x_0 = \pm L/14$, в другом — $x = x_0 = \pm 3L/14$.

В силу симметрии условий закрепления и действия приложенной нагрузки рассчитывалась четверть часть пластины.

В табл. 12 и на рис. 60, 61 приведены результаты численных исследований напряжений и прогибов (в миллиметрах) в различных точках пластины в ходе сравнения с результатами экспериментальных данных. Анализ проведенных теоретических и экспериментальных исследований позволяет сделать вывод, что увеличение числа конечных элементов обеспечивает сходимость численных результатов к экспериментальным данным. Разница между расчетными значениями перемещений, полученными при дискретизации пластины 174 конечными элементами, и экспериментальными данными не превышает 5%.

1. Абенский Н. И., Гога Н. М. Покрытия оболочек, задерганные ребрами, прямолинейной ортотропии. Уфимск. пособие. ч. 2. Краснодар. Институт Крайштурка политеха, из-во, 1973.
2. Абенский Н. И., Баджинский П. В. Расчет ребристых плит методом сеток. — Пространственные конструкции, 1964, т. 2, с. 168–187.
3. Аргирес Дис. Современные достижения в методах расчета конструкций сплошными мицца. М., Стройиздат, 1968.
4. Бублик Б. И. Численное решение задач конечными пластинами и оболочками. Киев, изда-во КПУ, 1969.
5. Бакберг Д. В., Смирнов А. С., Овчинников Георгий Георгиевич гибкими пластинами и оболочками. — В кн.: Расчет пространственных конструкций. Киев, изд-во Книжного дома строит. ин-та, 1971, вып. 14, с. 33–51.
6. Варан Н. М. Решение в приложении метода сеток к расчету пластин. Некоторые задачи практической теории упругости в конечных различиях. Киев, изда-во АН УССР, ч. 1, 1949, ч. 2, 1952.
7. Бакберг Д. В. Расчет ребристых плит методом конечных элементов. — Труды Ташкентского политеха, из-во, 1970, вып. 187, с. 17–29.
8. Герасим С. Н. Расчет прочности пластины при изгиббе. — Труды ГИИТа, 1973, ч. I, № 104, с. 45–68.
9. Годунов С. Е., Ребинер Я. С. Гибкостные стены. — М., Наука, 1977.
10. Городницкий А. С. Численная реализация метода конечных элементов. — В кн.: Современные материалы и теория сооружений. Киев, Буковина, 1973, с. 31–42.
11. Давыдов Михаил. Сходимость метода конечных элементов в теории упругости. — Прокладка монографии. Сер. II, 1968, № 2, с. 68–72.
12. Зимин О. Метод конечных элементов в механике. Пер. с англ. М., Мир, 1973.
13. Кин С. Н. Прочность, устойчивость и восприятие способность конструктивно-противоводействующими оболочками. — Расчет пространственных конструкций, 1963, вып. 8, с. 83–106.
14. Констант А. Л., Воронко В. П., Бобровская С. Д. Направленно-информационное построение 190 временных. Киев, Наукова думка, 1977.
15. Колаков В. В. Упруго-изотропный слой судовых перегородок и балок из упруго-изотропного материала с учетом деформации сдвига. — Труды ВИТИ Судоремм. 1963, № 42, с. 51–94.
16. Колаков В. С. Расчет пластины, покоренными ребрами. — Труды ГИИТа, 1973, вып. 144, с. 161–146.
17. Коренев В. Г. Совместление метода конечных элементов с вариационно-разностным методом решения задач теории упругости. — Кварталник ВНИИГ, 1967, № 83, с. 287–307.
18. Колаков В. В. Об использовании локальных точек при решении краевых задач конечно-разностными методами. — Труды ВНИИ, 1969, вып. 131, с. 13–18.

- [9]. Курдюков А. А. К вопросу о расчете перекрытий, покрытых пологими гиперболическими синусами. – Труды ИБИИ. 1953, вып. 15, с. 12–29.
- [10]. Лапшинин В. В. Аналитическое решение разностных уравнений статики. – Механика перекрытия. 1972, № 1, с. 71–81.
- [11]. Лапшинин А. З. К расчету пластиинок, подкрепленных жесткими ребрами. – Продолжение цикла. 1963, г. 2, вып. 2, с. 223–240.
- [12]. Назаров А. А. Сокращенные методы расчета золотистых оболочек. Л.–М., штаты Америки по строительству, 1966.
- [13]. Назаров А. В. Основы наливанской теории упругости. Л., Гостиздат, 1948.
- [14]. Назаров А. В. Труды по строительной механике корабля, т. 2, Л., Судостроение, 1962.
- [15]. Назаров Г. И. Численное решение двумерных и трехмерных задач математической физики в функциях дискретного аргумента. Книга, издана ИТУ, 1963.
- [16]. Пастухов В. А. Исследование метода суждения оправдания как алгоритмической системы с учетом сложности. – Труды ИТУ Судостроения, 1963, № 42, с. 143–155.
- [17]. Пастухов В. А. Численные методы расчета судовых конструкций. Л., Судостроение, 1977.
- [18]. Пастухов В. А., Фрунзе А. И. Практические методы конечных элементов для расчета оболочек пространственной формы. – Труды ИПМ (Проблемы судовых конструкций), 1978, с. Т3–82.
- [19]. Пастухов В. А., Жарукова Е. В. Метод конечных элементов в расчетах судовых конструкций. Л., Судостроение, 1974.
- [20]. Расчет корабельных конструкций с использованием ЭВМ, т. 1, Б. Л., Судостроение, 1976.
- [21]. Розин Л. А. Высокий гидродинамический совершенствование ЭВМ. Метод конечных элементов. Л., Энергия, 1971.
- [22]. Ростовцев Г. Г. Расчет тонкой плоской оболочки, подкрепленной ребрами жесткости. – Труды ДНИИГА, 1970, вып. 38, с. 3–39.
- [23]. Сагарин Л. Применение метода конечных элементов. Пер. с англ. Н., Мир, 1979.
- [24]. Соколов Н. Г. К расчету пластины, опираясь на ребра. – Сборник материалов по теории сооружений, 1953, вып. 1, с. 50–63.
- [25]. Тимошенко С. И., Бойковский-Кригер С. Пластинки и оболочки. Пер. с англ. М., Физматлит, 1963.
- [26]. C. I e n g h R. W. The finite element in plane stress analysis. – Proc. 2nd ASCE Conf. on Electronic Computation. Pittsburgh, 1960, Sept.
- [27]. С о в а т с т в . R., F r i e d r i c h s K., Z e w y H. Über die partielle differenzengleich – und am Ber. der mathematischen physik. – Math. Ann., 1928, 100, p. 32–34.
- [28]. С о в а т с т в . R. Variational methods for the solution of problems of equilibrium and vibrations. – Bulletin of American mathematical society, 1943, Vol. 9, № 1, p. 47–64.
- [29]. D o n a l d E., J o n s o n A. Difference – based Variational Method For Shells. – Solids and structures, 1970, Vol. 6, № 6, p. 699–724.
- [30]. H r e n i k o f f A. Solution of problems of elasticity by the frame work method. – Journal of applied Mechanics, 1941, Vol. 8, Dec., p. 169–175.
- [31]. T u r n e r H. J., C l e a n g h R. W., M a r t i n H. C., T o b r o Z. J. Stiffness and deflection analysis of complex structures. – Journal of the Aeronaut., 1956, Vol. 23, Sept., p. 805–823.

ОГЛАВЛЕНИЕ

Предисловие	5
Основные условные обозначения	5
Глава I. Введение	
1.1. Метод конечных разностей и вариационно-разностный метод	7
1.2. Метод конечных элементов	10
1.3. Схемы дискретизации областей. Типы конечных элементов	13
1.4. Особенности аппроксимации при расчете по методу конечных элементов	15
1.5. Условия сходимости	21
1.6. Гипотезы и допущения. Исходные характеристики	23
1.7. Вариационная постановка задачи	28
Глава II. Вторая	
2.1. Элементы функциональной, Особенности аппроксимации	31
2.2. Дискретизация исходного функционала. Элементы функциональной	33
2.3. Особенности аппроксимации элементов исходного функционала	36
2.4. Построение конечных элементов дифференциальных операторов	43
2.5. Аппроксимация компонентов параллельных тензоров Некоррелированных ребер	53
2.6. Критерии сходимости при аппроксимации аппроксимации элементов функционала	58
Глава III. Втретье	
3.1. Простейшие схемы аппроксимации при построении матриц жесткости некоррелированных элементов. Примеры решения задач	58
3.2. Дискретизация математических выражений элементов функционала	58
3.3. Г-координаты. Исключение спиральной математической интегрирования функционала	65
3.4. Минимум алгоритма формирования матрицы производных от якорных функций	69
3.5. Многократный алгоритм формирования матрицы жесткости элементов пластины, работающих на изгиб	71
3.6. Вычисление угла поворота элемента как якорного тела в якорном виде	75
3.7. Построение матриц жесткости элементов пластины	77
3.8. Ряд возможностей смешанных элементов оболочек	79
3.9. Построение матрицы жесткости подкрепленного ребра с учетом эпилептическости подкрепления и узовой совместности	83
3.10. Минимум алгоритм стыковки элементов матрицы жесткости некоррелированных и элементов матрицы жесткости некоррелированных ребер	91
3.11. Оценка точности решения на тестовых задачах	93

§ 23. Примеры решения задач	104
§ 24. Некоторые замечания к рассмотренному алгоритму	112
Г л а в а ч е тв т р е т я я . Вариационно-разностные процедуры в схеме метода конечных элементов	
§ 25. Особенности вариационно-разностного подхода. Построение итераций	114
§ 26. Вариационно-разностный подход в схеме метода конечных элементов	116
§ 27. Конечно-разностные зависимости для частных производных от величин функций в узловых точках	119
§ 28. Построение матриц жесткости элементов пластины на основе вариационно-разностного подхода	126
§ 29. Оценка сходимости и затратность вариационно-разностного подхода в методе конечных элементов	131
§ 30. К аппроксимации поверхности покрывающих пластин на основе вариационно-разностного подхода в схеме метода конечных элементов	144
Рекомендованная литература	151

Коэффициент давления Гербера

**МЕТОД КОНЕЧНЫХ ЭЛЕМЕНТОВ
В РАСЧЕТАХ ПРОЧНОСТИ**

Редактор И. В. Смирнов

Художественный редактор О. П. Аникеев

Технический редактор И. Ю. Балашов

Корректоры Г. Н. Максимова, В. Ю. Самокиш

Оформление художника Е. Н. Олейникова

ИБ № 1032

Подано в печать 21.03.88. № 39588. Формат 84x110. Кузница офсетная № 1. Печать офсетная. Усл.печ.л. 4,06. Усл.изд.н. 0,08. Ул.изд. н. 8,5. Тираж 2000 экз. Изд. № 1032. Заказ 213. Цена 45 коп.

Издательство "Наукастройиздат", 19866, Ленинград, пр. Гоголя, 8.

Тульская ксерография Струменгография при Государственном комитете СССР по делам издательства, полиграфии и книжной торговли, г. Тула, пр. Ленина, 104.